



(12) PATENT

(19) NO

(11) 328129

(13) B1

NORGE

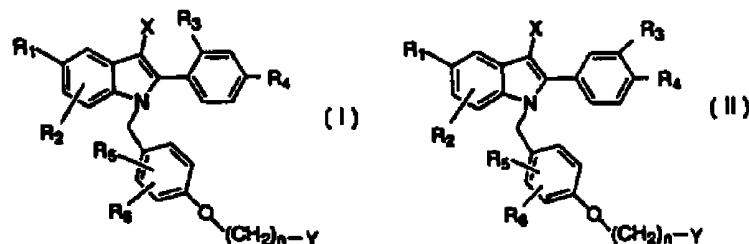
(51) Int.Cl.

A61K 31/565 (2006.01)  
A61K 31/403 (2006.01)  
A61K 31/404 (2006.01)  
A61K 31/435 (2006.01)  
A61K 31/439 (2006.01)  
A61K 31/4427 (2006.01)  
A61K 31/443 (2006.01)  
A61K 31/454 (2006.01)  
A61K 31/496 (2006.01)  
A61K 31/55 (2006.01)  
*m flere*

Patentstyret

(21)	Søknadsnr	20005770	(86)	Int.inng.dag og søknadsnr	1999.05.11 PCT/US99/10217
(22)	Inng.dag	2000.11.14	(85)	Videreføringsdag	2000.11.14
(24)	Løpedag	1999.05.11	(30)	Prioritet	1998.05.15, US, 79561
(41)	Alm.tilgj	2001.01.12			
(45)	Meddelt	2009.12.14			
(73)	Innehaver	Wyeth Holdings Corp, Five Giralda Farms, NJ07940-0874 MADISON, US			
(72)	Oppfinner	James Harrison Pickar, 816 Crum Creek Road, Springfield, PA 19064, US			
(74)	Fullmektig	Barry Samuel Komm, 1122 Cymry Drive, PA19312 BERWYN, US			
		Bryn Aarflot AS, Postboks 449 Sentrum, 0104 OSLO			
(54)	Benevnelse	<b>Farmasøytsk sammensetning samt anvendelse</b>			
(56)	Anførte publikasjoner	EP 802183 A1, B. S. Komm et al.: J. Cell. Biochem. Supp. vol. 30/31, 1998, side 277-283.			
(57)	Sammendrag				

Det er beskrevet nye formuleringer inneholdende en eller flere østrogener og 2-fenyl-1-(4-(2-aminoetoksy)benzyl)-indolforbindelser som er nyttige som østrogenermidler, samt farmasøytske sammensetninger og fremgangsmåter for behandling med anvendelse av disse forbindelsene som har generelle strukturer (I) eller (II).



Foreliggende oppfinnelse vedrører farmasøytisk sammensetning omfattende nye 2-fenyl-1-[4-(2-aminoetyoksy)-benzyl]-indolforbindelser. Disse forbindelsene er nyttige som østrogenmidler i sammenheng med østrogener.

Anvendelse av hormonerstatningsterapi for forhindring av bentap hos postmenopausale kvinner er omfattende beskrevet. Den normale protokollen omfatter østrogensupplementering ved anvendelse av slike formuleringer som inneholder estron, estriol, etynylekstradiol, 17 $\beta$ -estraidol, esterified, østrogener eller konjugerte østrogener isolert fra normale kilder (dvs. Premarin® konjugerte østrogener fra Wyeth-Ayerst) eller fra syntetiske østrogener. I noen pasienter kan terapi være kontraindikert grunnet proliferative effekter ved østrogener gitt uten motstand (østrogener ikke gitt i kombinasjon med progestiner) på livmorvev. Denne proliferasjonen er assosiert med økt risiko for endometriose og/eller endometriecancer. Effekter av østrogener gitt uten motstand på brystvev er mer usikkert, men er betydningsfull. Behovet for østrogener som kan opprettholde bensparende effekt, med minimalisering av de proliferative effektene i livmor og bryst er klare. Visse ikke-steroidale antiøstrogener er blitt vist å opprettholde benmassen i ovariektomisert rottemodell samt i humane kliniske forsøkt, Tamoksifen (solgt som Novadex®) kvalitet tamoskifensitrat av Zeneca Pharmaceuticals, Wilmington, Delaware), for eksempel, er et nyttig palliativt middel for behandling av brystcancer og er blitt demonstrert å utvise en østrogenagonist-lignende effekt på ben i mennesker. Men det er også en delagonist i livmoren, og dette fører til bekymring. Raloksifen, en benzotiofenantiøstrogen, er blitt vist å stimulere utirinveksten i ovarieekstomisert rotte i mindre grad enn tamoksifen, mens even til å spare ben blir opprettholdt. En egnet oversikt angående vevsselektive østrogener er vist i artikkelen "Tissue-Selective Actions Of Estrogen Analogs", *Bone* utg. 17, nr. 4. oktober 1995, 1815-1905).

Anvendelse av indoler som østrogenantagonister er blitt beskrevet av Von Angerer, Chemical Abstracts, utg. 99, nr. 7 (1983), Aabstract nr. 53886u. Se også J. Med. Chem. 1990 (33, 2635-2640; J. Med. Chem. 1987, 30, 131-136. Se også Ger. Offen., DE3821148 A1891228 og WO 96/03375. Disse forbindelsene ifølge teknikkens stand har felles strukturelle likheter med foreliggende forbindelser, men er funksjonelt forskjellige. For forbindelser inneholdende et basisk amin er det ingen 30 fenylgruppe som støtter sidekjeden.

WO A 95 17383 (Karo Bio AB) beskriver indolantiøstrogener med lange lineære kjeder. Et annet beslektet patent WO A 10741 beskriver 5-hydroksyindoler med en rekke sidekjeder. WO 93/23374 (Otsuka Pharmaceuticals, Japan) beskriver forbindelser som har felles strukturelle likheter med de ifølge foreliggende oppfinnelse, med unntakelse av strukturen referert til som R<sub>3</sub> i foreliggende formler I og II, nedenfor, som er definert som tioalkyl, og referansen beskriver ingen slike forbindelser med kjeder fra indolnitrogen med samme struktur som de som er gitt i foreliggende oppfinnelse.

I deres artikkel *Postmenopausal Hormone replacement therapy with estrogen periodically supplemented with antiestrogen*, Am. J. Obstet. Gynecol, utg. 140, nr. 7, 1981, s. 787-792, Kauppila et al. beskrives deres studie av postmenopausal østrogenterapi av syv-uker østrogenregimer etterfulgt av 10 dagers behandling med antiøstrogenet klomifensitrat.

Det beskrives også i artikkel *Comparison of Megestrol Acetate and Clomiphene Citrate as Supplemental Medication in Posmenopausal Oestrogen Replacement Therapy*, Arch. Gynecol. (1983) 234:49-58, Kauppila et. kombinasjons-terapier i postmenopausale kvinner av østrogen med tilfeldig supplementering av megestrolacetat eller klomifensitrat.

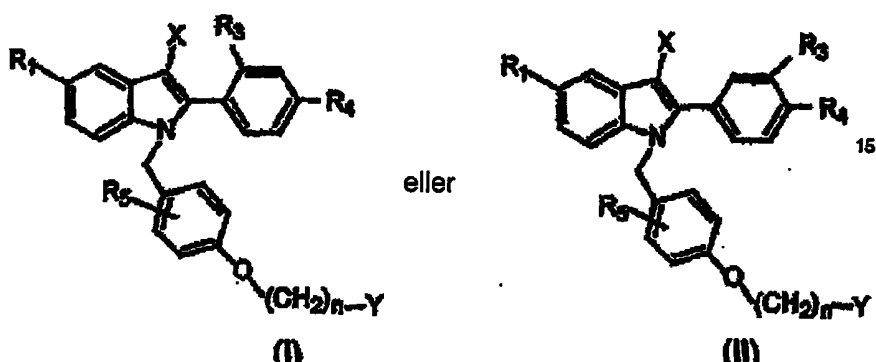
US patent nr. 4,894,373 (Young) beskriver anvendelse av antiøstrogener, inkludert klomifen og isomerer derav, citrater og derivater, i fravær av østrogen for behandling av menopausale symptomer og behandler eller forhindring av osteoporose. US patent nr. 5,552,401 (Cullinan et al.) beskriver benzotiofen-forbindelser som nyttige for behandling av forskjellige medisinske indikasjoner assosiert med post-menopausalt syndrom og livmor fibroidsykdom, endometriose og aorta galt muskelcelle proliferasjon, idet forbindelsene blir anvendt i farmasøytske formuleringer eventuelt inneholdende østrogen eller progestin. US patent nr. 5,646,137 og 5,591,753 (begge utstedt til Black et al.) beskriver metoder for behandling av osteoperose med formuleringer av raloksefintype arylbenzotiofen-forbindelser sammen med et progestin valgt fra medroksyprogesteron, nortindron eller noretnodrel, eller farmasøytsk akseptable salter derav. US patn. nr. 5,550,107 (Labrie) beskriver en oppfinnelse omfattende behandling av bryst- eller endometrial cancer med et antiøstrogen sammen med minst en forbindelse valgt fra gruppen av et androgen, et progestin, minst en inhibitor av kjønnsstereoiddannelse, spesielt 17 $\beta$ -

hydroksysteroiddehydrogenase og aromataseaktivitet, minst en inhibitor av prolaktinsekresjon, en inhibitor av vekstrhormonsekresjon og en inhibitor av ACTH sekresjon. US pat. nr. 5,672,609 (Bryant et al.) beskriver pyridinforbindelser nyttige for behandling av post-menopausalt syndrom og formuleringer derav inneholdende østrogen eller progestin. US pat. nr. 5,534,527 (Black et al.) beskriver også anvendelse av aroylbenzotiofener og østrogener ved inhibisjon av bentap.

Foreliggende oppfinnelse tilveiebringer farmasøytske formuleringer omfattende forbindelsene ifølge formlene (I) og (II) nedenfor, sammen med østrogener, fortrinnsvis sammen med et eller flere farmasøytsk akseptable bærere eller eksipienter. Blant anvendelsene ifølge foreliggende formuleringer er lindring av symptomene på post-menopausalt syndron i kvinner, inkludert peri-menopausale og post-menopausale symptomer. Foreliggende formuleringer kan bli anvendt for å minimalisere uønskete bivirkninger ved østrogenbehandling eller terapi, og kan bli anvendt for å minimalisere mengdene av østrogen(er) nødvendig for et bestemt regime.

Forbindelser med generell strukturtype vist i formlene (I) og (II) er østrogen-antagonister/antagoniser nyttige for behandling av sykdom assosiert med østrogenmangel, og er beskrevet i EP-A-0802183 publisert 22. oktober 1997, og innehodet er inkorporert heri som referanse. Forbindelsene har evne til å antagonisere effektene av 17 $\beta$ -estradiol, men viser liten uterinstimulering når de blir dosert alene.

Foreliggende oppfinnelse innbefatter farmasøytsk sammensetning, kjennetegnet ved at den omfatter en eller flere østrogener og en forbindelse med strukturen:



25 hvor;

$R_1$  er valgt fra H, OH eller  $C_1-C_{12}$  alkylestere (lineære eller forgrenete) derav, halogen, feny-  $C_1-C_4$ -alkoksy og  $C_1-C_6$ -alkoksy;

$R_3$  er valgt fra H, OH, feny- $C_1-C_4$ -alkoksy,  $C_1-C_6$ -alkoksy,  $C_1-C_6$ -alkyl,  $C_3-C_7$ -cykloalkoksy,  $CF_3$ , halogen og  $CF_3O$ ;

5        $R_4$  er valgt fra H, OH eller  $C_1-C_{12}$  alkylestere derav, feny-  $C_1-C_4$ -alkoksy,  $C_1-C_6$ -alkoksy,  $C_1-C_6$ -alkyl,  $C_3-C_7$ -cykloalkoksy,  $CF_3$ , halogen og  $CF_3O$ ; eller

$R_3$  og  $R_4$  danner sammen  $C_1-C_4$ -alkylendioksy;

$R_5$  er H eller  $C_1-C_6$ -alkoksy;

      X er valgt fra  $C_1-C_6$  alkykl, cyano og halogen;

10      n er 2 eller 3; og

      Y er gruppen:



hvor  $R_7$  og  $R_8$  er uavhengig valgt fra H,  $C_1-C_6$  alkyl og  $C_3-C_7$ -cykloalkyl; eller  
 $R_7$  og  $R_8$  danner sammen en nitrogen-inneholdende ring valgt fra piperidin, azepan,  
20       azabicyclo- $C_3-C_{10}$ -alkan, piperazin, pyrrolidine og azocan, hvor nevnte ring er  
eventuelt substituert med en eller flere grupper valgt fra hydroksyl og  $C_1-C_4$ -alkyl eller  
et farmasøytsk akseptabelt salt derav, og en farmasøytsk akseptabel bærer eller  
eksipient.

Ytterligere foretrukne farmasøytske sammensetninger ifølge denne

25      oppfinnelsen er de hvor

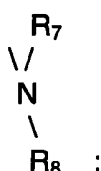
$R_1$  er valgt fra H, OH eller  $C_1-C_4$  alkylestere derav og halogen;

$R_3$  er valgt fra H, OH, halogen,  $C_1-C_6$  alkyl og  $CF_3$ ;

$R_4$  er valgt fra H, OH eller  $C_1-C_4$  alkylestere derav, halogen,  $C_1-C_6$  alkyl og  
 $CF_3$ ; og

30      X er valgt fra  $C_1-C_6$  alkykl, cyano og halogen;

      Y er gruppe



hvor R<sub>7</sub> og R<sub>8</sub> er uavhengig valgt fra H og C<sub>1</sub>-C<sub>6</sub> alkyl eller R<sub>7</sub> og R<sub>8</sub> er koblet sammen som -(CH<sub>2</sub>)<sub>p</sub>-, hvori p er et tall fra 4 til 6, for å danne en ring, idet ringen er eventuelt substituert med en eller flere grupper valgt fra hydroksyl, og C<sub>1</sub>-C<sub>4</sub> alkyl; eller et farmasøytisk akseptabelt salt derav og en farmasøytisk akseptabel bærer  
 5 eller eksipient.

Ytterligere foretrukne farmasøytiske sammensetninger er de hvor

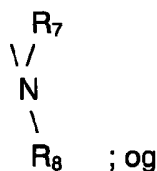
R<sub>1</sub> er OH;

R<sub>3</sub> er valgt fra H, OH, halogen, C<sub>1</sub>-C<sub>6</sub> alkyl og CF<sub>3</sub>;

R<sub>4</sub> er valgt fra H, OH eller C<sub>1</sub>-C<sub>4</sub> alkylestere derav, halogen, C<sub>1</sub>-C<sub>6</sub> alkyl og  
 10 CF<sub>3</sub>;

X er valgt fra gruppen Cl, CN, og CH<sub>3</sub>; og

Y er gruppen



20 hvor R<sub>7</sub> og R<sub>8</sub> er koblet sammen som -(CH<sub>2</sub>)<sub>r</sub>-, hvori r er et tall fra 4 til 6, for å danne en ring eventuelt substituert med en eller flere grupper valgt fra hydroksyl og C<sub>1</sub>-C<sub>4</sub> alkyl; ;

eller et farmasøytisk akseptabelt salt derav, og en farmasøytisk akseptabel bærer  
 25 eller eksipient.

Foreliggende oppfinnelse vedrører videre farmasøytisk sammensetning, kjennetegnet ved at forbindelsen er

30 5-benzyloksy-2-(4-etoksyfenyl)-3-metyl-1-[4-(2-piperidin-1-yl-etoksy)benzyl]-1H-indol;

3-metyl-2-fenyl-1-(4-(2(piperidin-1-yl)etoksy)benzyl)-1H-indol;

4-(5-fluor-3-metyl-1-[4-(2-piperidin-1-yl-etoksy)-benzyl]-1H-indol-2-yl)-fenol;

1-[4-(2-azepan-1-yl-etoksy)-benzyl]-2-(4-hydroksy-fenyl)-3-metyl-1H-indol-5-ol;

2-(4-hydroksyfenyl)-3-metyl-1-[4-(2-dimetyl amino-1-yl-etoksy)benzyl]-1H-indol-5-ol;

35 2-(4-hydroksyfenyl)-3-metyl-1-[4-(2-dietyl amino-1-yl-etoksy)benzyl]-1H-indol-5-ol;

2-(4-cyklopentyloksyfenyl)-3-metyl-1-[4-(2-piperidin-1-yl-etoksy)benzyl]-1H-indol-5-ol;

3-metyl-1-[4-(2-piperidin-1-yl-etoksy)benzyl]-2-(4-trifluormetylfenyl)-1H-indol-5-ol;

5 2-(4-hydroksyfenyl)-1-[3-metoksy-4-(2-piperidin-1-yl-etoksy)benzyl]-3-metyl-1H-indol-5-ol;

2-(4-hydroksyfenyl)-1-[3-metoksy-4-(2-azepan-1-yl-etoksy)benzyl]-3-metyl-1H-indol-5-ol

eller et farmasøytisk akseptabelt salt derav.

10 De farmasøytiske sammensetninger ifølge foreliggende oppfinnelse er videre for samtidig, separat eller sekvensiell administrering.

15 Foreliggende oppfinnelse vedrører videre en farmasøytisk sammensetning ifølge et av kravene 1 til 14, kjennetegnet ved at en eller flere østrogener er valgt fra ekvilienin, østradien, etinyloestradiol, 17 $\beta$ -østradiol, 17alpha-dihydroekvilienin, 17 $\beta$ -dihydroekvilienin, menstranol, konjugerte østrogener, østeron, 17alpha-østradiolsulfat, Delta8,9.dehydroøstron, ekvol og enterolakton eller et farmazsøytisk akseptabelt salt eller ester derav.

Det er videre foretrukket at det farmasøytisk akseptable saltet av en eller flere østrogener er et natriumsalt.

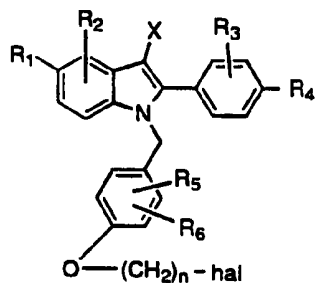
20 Forbindelsene kan inneholde fosfater som fenol, samt diakylfosfater. Fosfater kan bli fremstilt ved omsetning av fenol med hensiktsmessig klorfosfat. Dialkylfosfater kan bli hydrolysert for å tilveiebringe frie fosfater. Videre kan forbindelsene inneholde fosfinater hvor fenol blir omsatt med ønsket diakylfosfinklorid for å tilveiebringe ønsket diakylfosfinat av fenol.

25 Oppfinnelsen innbefatter akseptable saltformer dannet fra addisjonsreaksjonen med enten uorganiske eller organiske syrer. Uorganiske syrer så som saltsyre, hydrobromtsyre, hydrojodtsyre, svovelsyre, fosforsyre, salpetersyre er nyttige som organiske syrer som eddiksyrer, propionsyre, sitronsyre, maleinsyre, eplesyre, vinsyre, pftalsyre, ravsyre, metansulfonsyre, toluensulfonsyre, naftalensulfonsyre, kambersulfonsyre, benzensulfonsyre er nyttige. Det er kjent at forbindelsene som har et basisk nitrogen, kan bli kompleksbundet med mange forskjellige syrer (både protiske og ikke-protiske) og det er vanligvis foretrukket å administrere en forbindelse ifølge denne oppfinnelsen i form av et syreaddisjonssalt. I tillegg innbefattes kvaternære ammoniumsalter av forbindelsene heri. Disse kan bli fremstilt ved

omsetning av nukleofile aminer av sidekjeden med et egnet reaktivt alkyleringsmiddel så som alkylhalid eller benzylhalid.

Forbindelsene som blir anvendt i denne oppfinnelsen, kan bli fremstilt ifølge en fremgangsmåte som omfatter en av følgende:

- 5    a)    omsetning av en forbindelse ifølge formel



hvor i n, R<sub>1</sub>-R<sub>6</sub> og X er som definert ovenfor og hal er klor eller brom med en

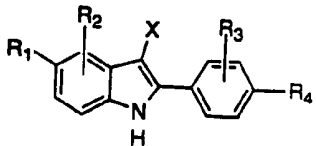
- 15    forbindelse ifølge formel:



hvor R<sub>7</sub> og R<sub>8</sub> er som definert ovenfor for å tilveiebringe en tilsvarende forbindelse ifølge formel I eller II;

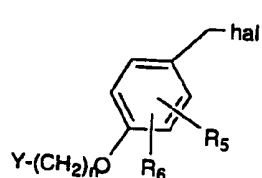
- 20    eller

- b)    omsetning av en forbindelse ifølge formel



hvor R<sub>1</sub>-R<sub>4</sub> og X er som definert ovenfor i nærvær av en base, f.eks. NaH, med en forbindelse ifølge formel

- 30



hvor N, R<sub>5</sub>, R<sub>6</sub> og Y er som definert ovenfor, og hal er et halogen, f.eks. Cl eller Br

for å tilveiebringe en tilsvarende forbindelse ifølge formel I;

om nødvendig beskyttelse av eventuelle reaktive substitutentergrupper i løpet av hver av fremgangsmåtene ovenfor og fjerning av disse; og

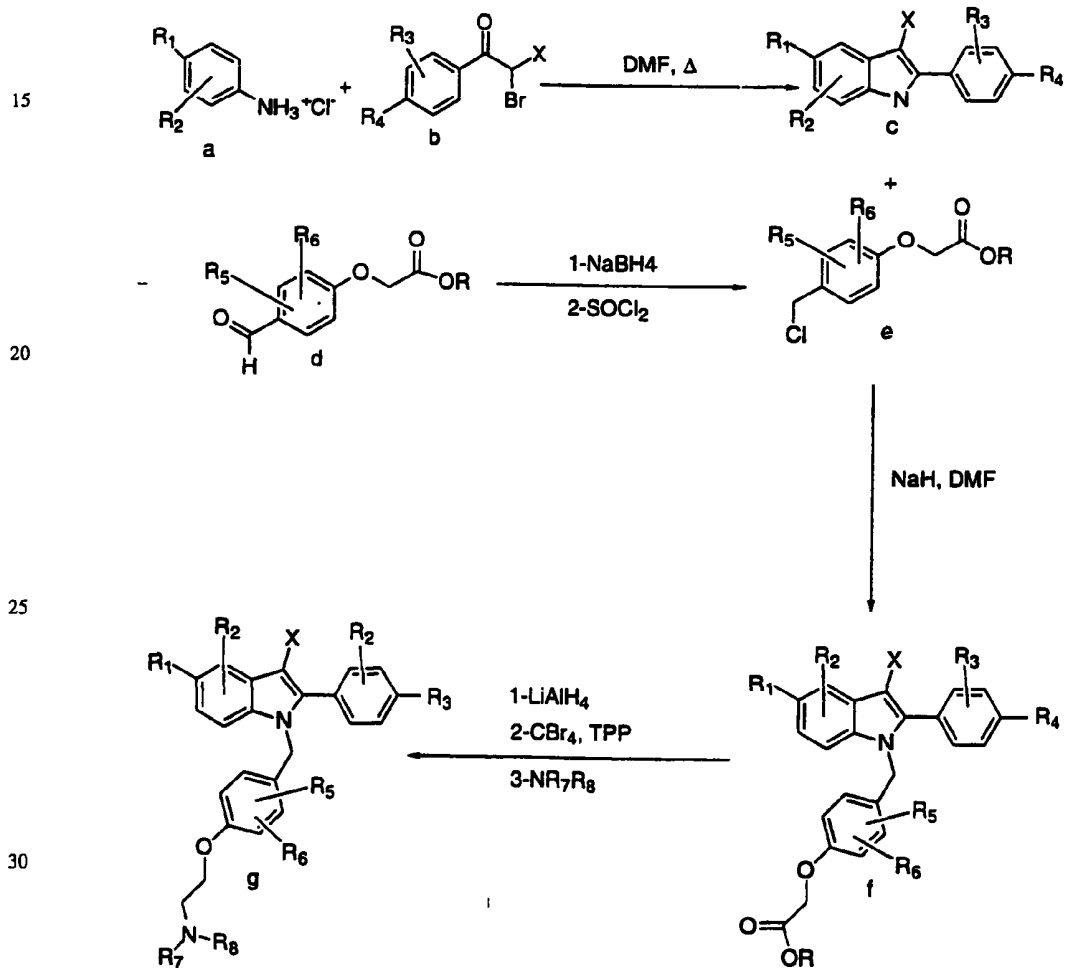
- 5 om ønskelig omdanning av en fenolgruppe til stede til en fosfat, sulfat, sulfanat eller sulfatester; og videre om ønskelig omdanning av forbindelsen ifølge formel I eller II til et farmasøytsk akseptabelt salt.

### Metoder

Forbindelsene ifølge denne oppfinnelsen kan bli syntetisert generelt ifølge

10 skjema 1, nedenfor.

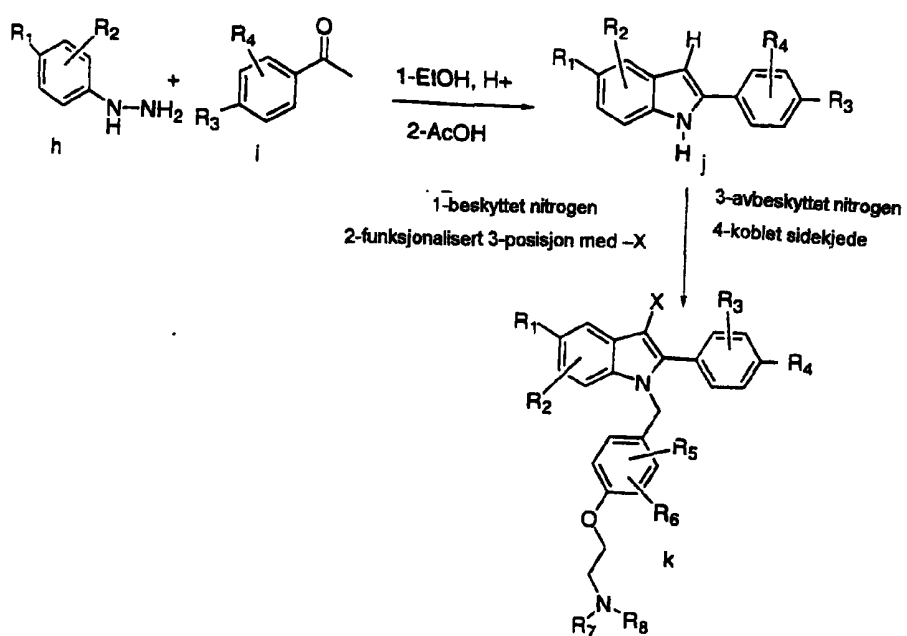
### Skjema 1



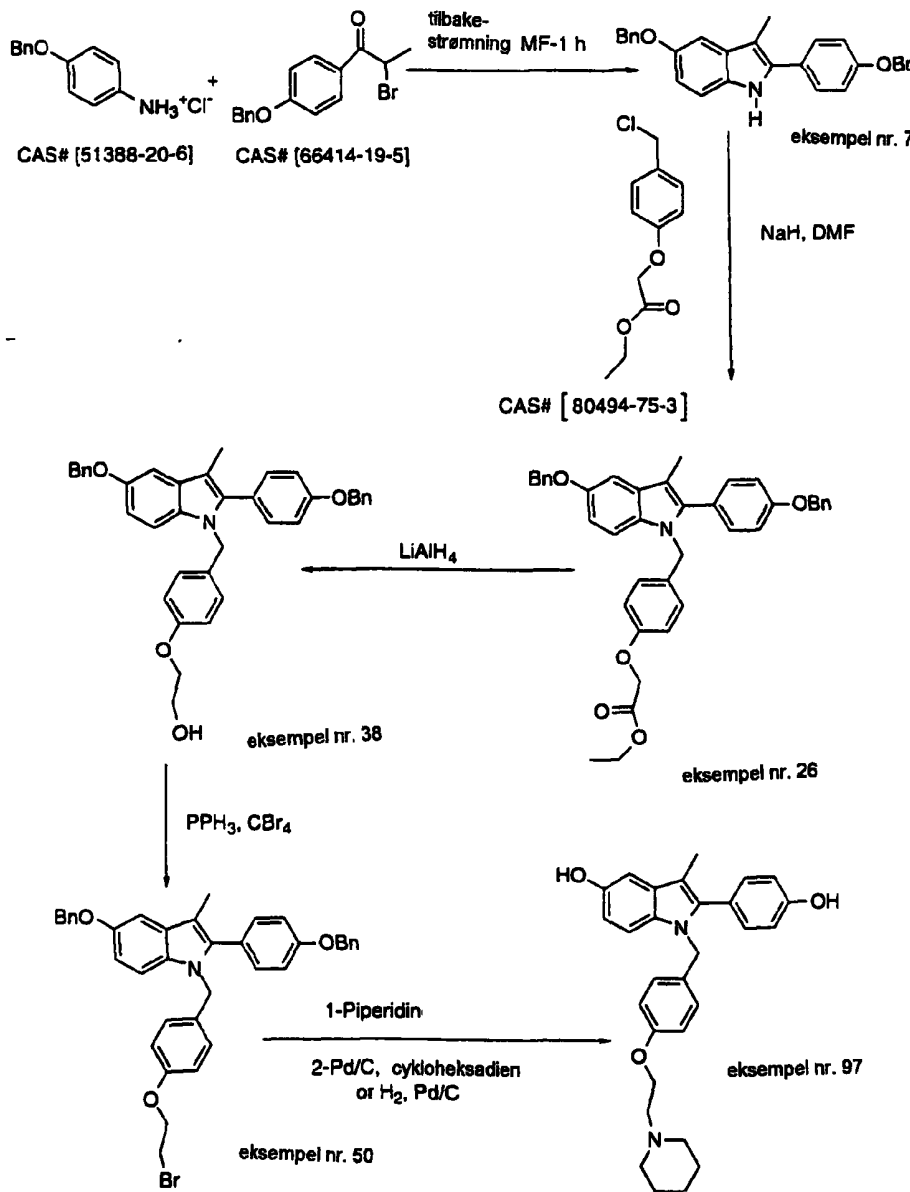
Opprinnelig indolsyntese blir oppnådd ved oppvarming av et hensiktsmessig substituert alfa-brom keton (b) med ønsket anilin (a) i DMF for å danne indolet (c). Produktet blir deretter alkylert med et benzylklorid (e) for å tilveiebringe substituert indol (f). Benzylklorid (e) kan lett bli fremstilt fra aldehyd (d) i 2 trinn som angitt.

- 5    Produktet (g) kan bli fremstilt fra (f) ved reduksjon av esteren, omdanning av alkoholen til et bromid, forflytning av bromid med ønsket amin i et egnert løsningsmiddel så som THF eller DMF, og til slutt, om nødvendig avbeskyttelse. Avbeskyttelse er nødvendig når enten R<sub>2</sub> eller R<sub>2</sub>' eller begge er en beskyttet fenol. Foretrukket beskyttelsesgruppe er en benzylgruppe som kan bli hensiktsmessig fjernet ifølge flere konvensjonelle metoder, spesielt hydrogenolyse.

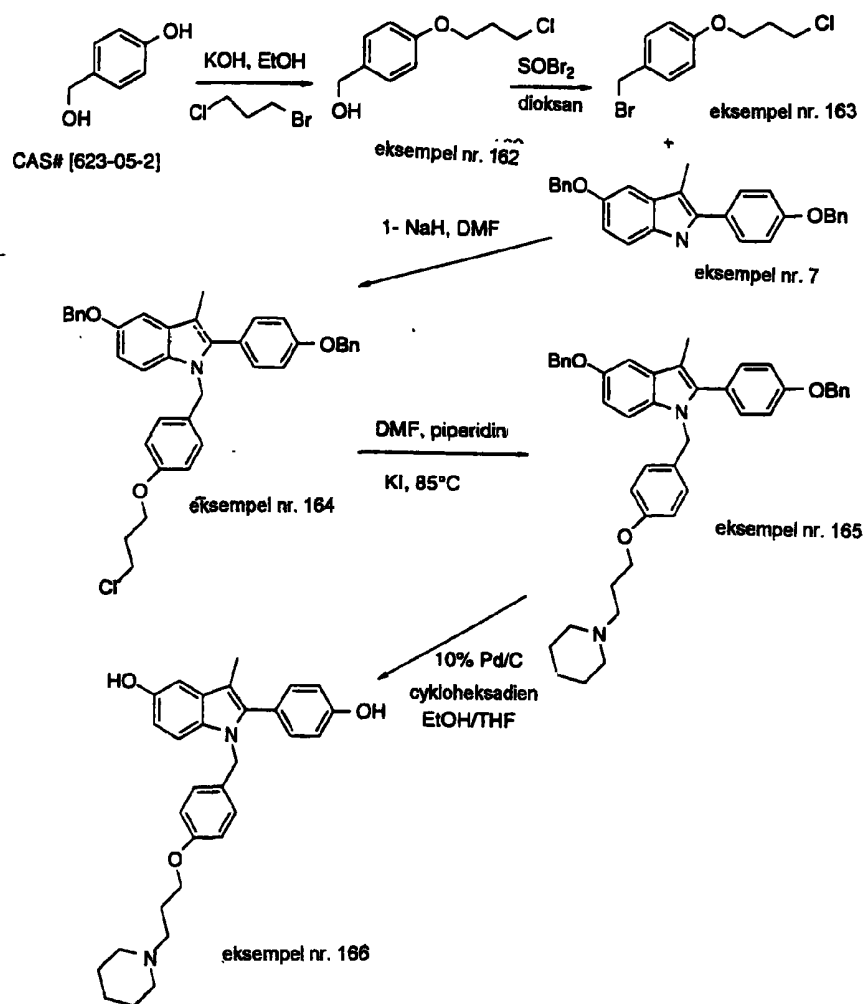
For syntese av forbindelsene hvor X=H, halogen, trifluormetyl, cyano, nitro, en alternativ syntese vist i skjema 2 kan være foretrukket. Dannelse av halogener i 3-posisjonen kan lett bli utført med slike reagenser som N-klorsuksinamid, N-bromsuksinamid eller N-jodsuksinamid. En 3-jodindolforbindelse som blir oppnådd, 15 kan bli anvendt som en forløper til 3-trifluormetylforbindelsen ved en koblingsreaksjon som anvender en palladiumkataysator og bistrifluormetylkvikkølv (II). En forbindelse med en cyanogruppe i 3-posisjonen kan bli fremstilt ved elektrofil cyanering, eller alternativt kan 3-posisjonen bli formulert (med et formyliminiumsalt, for eksempel) og deretter kan formylgruppen bli omdannet til et oksim og deretter 20 dehydrert til et nitril. Alternativ kan 3-cyanoforbindelsen bli syntetisert ved omsetning av 3-usubstituert indol med klorsulfonylisocyanat etterfulgt av trietylamin. En forbindelse med nitrogruppen i 3-posisjonen kan bli fremstilt ved behandling av indol med natriumnitritt og eddiksyre.

**Skjema 2**

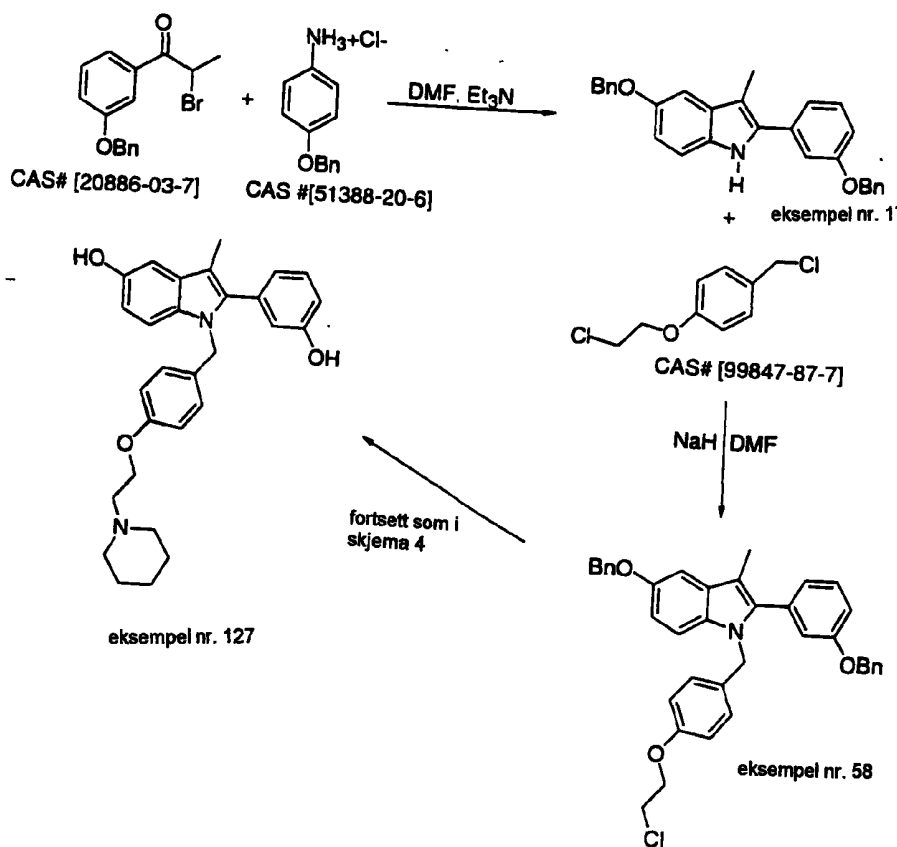
Syntese av selekerte representative eksempler er gitt i følgende skjemaer:

**Skjema 3**

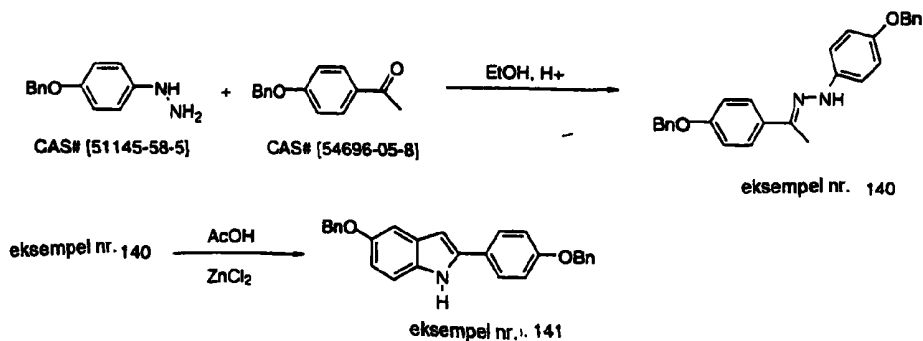
Syntese av analoger med en 3-karbonkjede (eksempel nr. 166) mellom  
oksygen og basisk amin kan bi oppnådd som vist i skjema 4.

**Skjema 4**

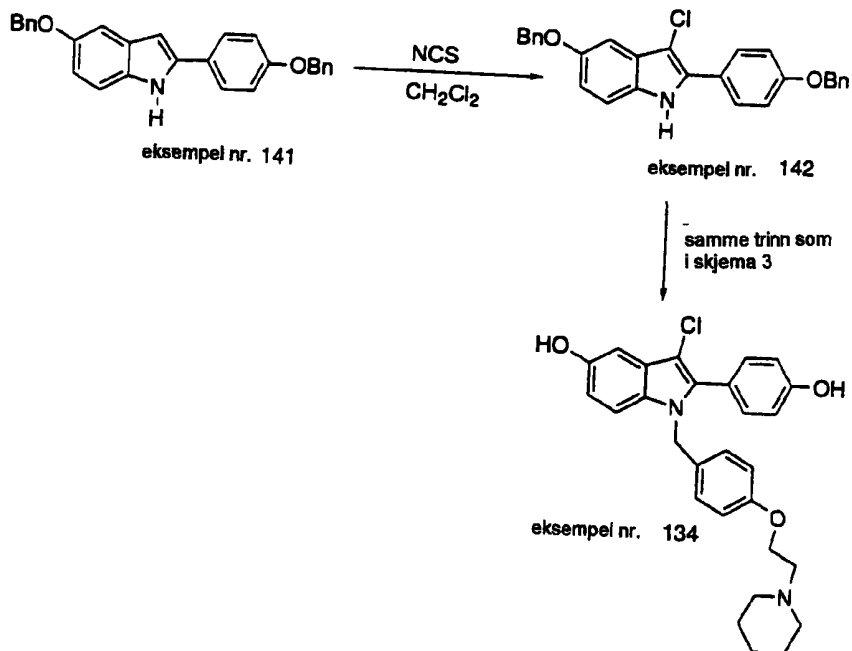
Synteseprosedyren vist i skjema 4 kan bli anvendt for forbindelser med to karbonkjeder analoge med eksempel nr. 97 i skjema 3. Dette er vist i skjema 4a for syntese ifølge eksempel nr. 127.

**Skjema 4a**

Syntese av indoler med alternative substituenter (CN, Cl) i 3-posisjonen til indolet anvender begge 3-usubstituert indol nr. 141 som en forløper. Indolet blir syntetisert ifølge Fisher-metoden som anvender hydrazon avleddet fra kondensasjon av 4-benzyloksyactofenon CAS nr. [54696-5-8] og 4-benzyloksyfenylhydrazin CAS nr. [51145-58-5]. Hydrazon nr. 140 blir deretter cyklisert i eddiksyre ved anvendelse av zinkklorid for å tilveiebringe ønsket indol nr. 141. Denne syntesen fremgår av skjema 5.

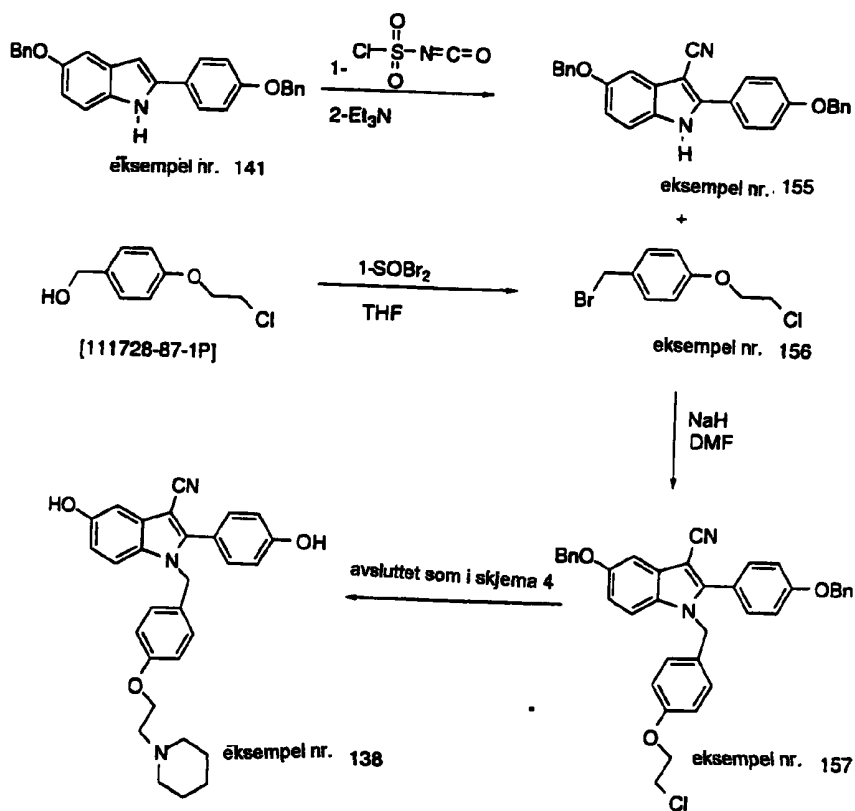
**Skjema 5**

Syntese av 3-klorindolforbindelser er demonstrert for eksempel nr. 134 og vist nedenfor i skjema 6. Indol nr. 141 fra skjema 5 blir klorinert med N-klorsuksinamid. 3-klorindol nr. 142 oppnådd på denne måten blir ført østil det endelige produktet på analog måte som vist i skjema 3.

**Skjema 6**

3-cyanoanaloger blir syntetisert fra forløperen indol nr. 141 som vist i skjema 7. Reaksjonen på forløper indol nr. 141 med klorsulfonylisocyanat etterfulgt av tilsetning av trietylamin tilveiebringer 3-cyanoindol nr. 155. Sidekjeden blir dannet ved omdanning av benzylalkohol ifølge CAS nr. [111728-87-1] til benzylbromid nr. 156 ved anvendelse av tionylbromid i THF. Indol blir alkylert av sidekjeden i DMF ved anvendelse av natriumhydrid for å tilveiebringe mellomprodukt nr. 157. Dette kan deretter bli overført til sluttprodukt nr. 138 på en analog måte som vist i skjema 4.

### Skjema 7



Forbindelsene ifølge formlene (I) og (II) er delvis østrogenagonister og utviser høy affinitet for østrogenreseptoren. Til forskjell fra mange østrogener forårsaker disse forbindelsene ikke økning i våtvekten til livmoren. Disse forbindelsene er antiøstrogene i livmoren og kan fullstendig antagonisere de trofiske effektene til

østrogenagonistene i livmorrev. Disse forbindelsene er nyttige for behandling eller forhindring av sykdomstilstander eller syndromer i pattedyr som blir forårsaket eller er assosiert med en østrogenmangel. Dette vevet muliggjør selektiv anvendelse derav for ønsket østrogenaktivitet i visse vev, så som ben, mens denne aktiviteten  
5 blir begrenset i andre, så som livmorrev.

Østrogener som kan være nyttige i formuleringer omfatter østron, østriol, ekvilin, østradien, ekvilenin, etinyløstradiol, 17 $\beta$ -østradio, 17 $\alpha$ -dihydroekvilinein, 17 $\beta$ -dihydroekvilenin (US patent 2,834,712), 17 $\alpha$ -dihydroekvilin, 17 $\beta$ -dihydroekvilin, menstranol og konjugerte østrogenhormoner, som de i Wyeth-Ayerst Laboratories' 10 Premarin® produktene. Fytoøstrogener, så som equol eller enterolacton, kan også bli anvendt. Konjugerte østrogenhormoner, så som de i Premarin-produktene til Wyeth-Ayerst Laboratories med en eller flere forbindelser ifølge formlene (I) eller (III) oppført heri kan også anvendes. Østerifiserte østrogener, så som de som blir solgt fra Solvay Pharmaceuticals, Inc. under varemerket Estratab® kan også bli anvendt 15 med foreliggende formuleringer. Også foretrukket for anvendelse i foreliggende oppfinnelse er salter av anvendbare østrogener, mest foretrukket er natriumsalter. Eksempler på disse foretrukne saltene er natrium østronsulfat, natrium ekvilinsulfat, natrium 17alfa-dihydroekvilinsulfat, natrium 17alfa-østrodiolsulfat, natrium delta8,9-dehydroestrone-sulfat, natriumekvilieninsulfat, natrium 17beta-dihydroekvilinsulfat, 20 natrium 17alfa-dihydroekvilieninsulfat, natrium 17beta-østradiolsulfat, natrium 17beta-dihydroekvilieninsulfat, østron 3-natriumsulfat, ekvilin 3-natriumsulfat, 17alfa-dihydroekvilin 3-natriumsulfat, 3beta-hydroksyøstra-5(10),7-dien-17-on 3-natriumsulfat, 5alfa-Pregnan-3beta-20R-diol 20-natriumsulfat, 5-alfa-Pregnan-3beta.16alfa-diol-209-on 3-natriumsulfat, delta(8,9)-dehydroøstron, 3-natriumsulfat, 25 østra-3beta, 17alfa-diol 3-natriumsulfat, 3-beta-hydroksy-østr-5(10)-en-17-on 3-natriumsulfat eller 5-alfa-Pregnan-3beta, 16alfa,20R-triol 3-natriumsulfat.

Foreliggende oppfinnelse vedrører videre anvendelse av et østrogen og en forbindelse ifølge Formel I eller II, ifølge et hvilket som helst av kravene 1 til 14, eller et farmasøytsk akseptabelt salt derav, for fremstilling av et medikament for 30 behandling eller forebygging av bentap, menopausale eller postmenopausale lidelser og kardiovaskulær sykdom i et pattedyr.

Et ytterligere aspekt ifølge foreliggende oppfinnelse vedrører videre anvendelse av et østrogen og en forbindelse ifølge Formel I eller II, ifølge et hvilket

som helst av kravene 1 til 14, eller et farmasøytisk akseptabelt salt derav, for fremstilling av et medikament for behandling eller forebygging av sykdom i et pattedyr som et resultat av proliferasjon eller unormal utvikling, virkning eller vekst av endometriose eller endometriose-lignende vev idet sykdommen er endometriose.

- 5        Foreliggende forbindelser ifølge formlene (I) og (II) er følgelig vevsselektive forbindelser med evne til å virke som østrogenagonister, så som ved å redusere kolesterol og forhindre bentap, eller som østrogenantagonister. Disse forbindelsene i foreliggende formuleringer er derfor nyttige for behandling av mange sykdommer som angitt ovenfor. Formuleringene ifølge denne oppfinnelsen kan også bli anvendt  
10 for å behandle bentap som er et resultat av sekundær osteoporose, inkludert det som er kategorisert som endokrin i naturen, inkludert det som er et resultat av glukokortikoidoverskudd, hyperparathyroidisme, hypertyroidisme, hypergonadisme, hyperprolaktinemi og diabetes mellitus. Bentap kan også være medikamentindusert, og kan være et resultat av heparinbehandling, alkoholforbruk, eller anvendelse av  
15 tobakk, barbiturater eller kortikosteroider. Medikament-indusert bentap kan også stamme fra behandling med gonadotropinfrigjørende hormon (GnRH eller LHRH) eller syntetiske GnRH antagonister eller agonister, så som leuproliacetatinjiseringer solgt av TAP Pharmaceuticals Inc. under varemerket LUPRON® eller goserelinacetatimplantat solgt av Zeneca Pharmaceuticals under varemerket  
20 Zoladex®. Slikt bentap kan også være et resultat av immobilisering av individet, kronisk nyresvikt, perabsorpsjonssyndrom, lever-sykdom, kronisk obstruktiv lungesykdom, leddgikt eller sarkoidose.

- I tillegg kan disse formuleringene bli anvendt for hormonerstatningsterapi i post-menopausale kvinner eller ved andre østrogenreduserte tilstander hvor  
25 østrogensupplementering vil være fordelaktig. Den symbiotiske aktiviteten til forbindelsene og østrogen(ene) ifølge foreliggende behandlingsmetode er spesielt av interesse for å løse de uønskete konsekvensene ved østrogenterapi, så som gjennombruddsblødning og/eller altomfattende endometriestimulering, som kan føre til endometrihyperplasi eller endometriose. Disse formuleringene kan derfor bli  
30 anvendt i metoder for behandling eller forhindring av omfattende østrogenuterin-stimulering i et pattedyr.

Formuleringene ifølge denne oppfinnelsen kan også bli anvendt i metoder for behandling av bentap, som kan være et resultat av en feilbalanse i individets

dannelse av nytt benvev og resorpsjon av et eldre vev som fører til netto bentap. Slike bentappingsresultater i en mengde individer, spesielt i post-menopausale kvinner, kvinner som har gjennomgått hysterektomi/ooforektomi, de som mottar eller har mottatt omfattende korikosteroidterapier, individer som har gonadal dysgenes 5 og de som lider av Cushings syndrom. Spesielle behov for benerstatning kan også oppnås ved anvendelse av disse formuleringene i individer med benbrudd, defekte benstrukturer og de som mottar ben-relaterte kirurgier og/eller implantering av proteser. I tillegg til problemene beskrevet ovenfor, kan disse formuleringene bli anvendt for behandling av osteoartritt, Pagets sykdom, osteomalasi, osteohalisteris, 10 endometrial cancer, myliple melom og andre former for cancer som har skadelige effekter på benvev. Ovennevnte sykdommer kan behandles ved administrering til et individid som trenger slik behandling, en farmasøytisk effektiv mengde av en eller flere av forbindelsene ifølge formlene (I) og (II), eller et farmasøytisk akseptabelt salt derav, sammen med en terapeutisk ønsket mengde av et østrogen.

15 Østrogener regulerer et antall fysiologiske prosesser. Primært målev for østrogener innbefatter formeringskanalen (ovarie; livmor; vagina), brystvev, skjelett, kardiovaskulært system og sentralnervesystemet (CNS). Reduksjon i sirkulerende østrogener resulterer i et antall forandringer. Det er opphør av formeringsfunksjonen ved assosiert amenorrhea, uterinatrofi og økning i vaginal tørrhet (mangel på 20 keratinisering). Brystvev blir relativt inaktivt. Det er en økning i rate av benmassetap (2-7%) sammenlignet med det normale 0,1-1,0%/år som finnes i alle individer over 35 år. En forandring i lipidprofilen oppstår ved økninger i lav tetthet lipoprotein (LDL) og reduseres i høy tetthet lipoprotein (HDL) som vanligvis blir målt, og en tilhørende øket risiko for en kardiovaskulær hendelse (hjerteattakk, slag). Forandringer i 25 sentralnervesystemet innbefatter en økning i vasomotorsymptomer (hot flush) og potensielle forandringer i oppfattelse og hukommelse.

Østrogenerstatningsterapi (ERT) normaliserer noen av disse forandringene, spesielt de som er assosiert med kardiovaskulært system (redusert LDL, øket HDL, redusert risiko for hjerteinfarkt), skjelett (opprettholdelse av benmasse, redusert 30 bruddrisiko) og sentralnervesystem (reduksjon i frekvens og alvor ved hot flush). Formeringskanalresponsene er derimot ikke alle positive. På den positive siden omfattes at vaginaltørrheten blir lindret. Negative livmorresponser innbefatter derimot hypertrofi og hyperplasi, sammen med en viss menstruell-lignende blødning. Brystet

blir også påvirket, og det eksisterer data som korrollerer eksogen østogenterapi med en øket risiko for brystkreft.

Kvinner med intakt livmor blir generelt ikke foreskrevet kun østogener, men østogener i kombinasjon med et progestin for å redusere stimulering av livmoren.

- 5 Risikoen for endometriecancer blir redusert til ikke-hormonbehandlete nivåer, og andre bivirkninger av progestiner reduserer egnetheten i kvinner på hormorerstatning.

Vevsselektive østrogen (TSE) forbindelser ifølge oppfinnelsen tilveiebringer positive skjelt og karovaskulære virkninger som ligner østogener uten de negative effektene assosiert med livmor og bryst. Kombinasjoner av TSE og østogener tilveiebringer de positive effektene av østogener på CNS, ben og kardiovaskulær, idet kombinasjonen tilveiebringer komplimentære eller additive effekter på ben og kardiovaskulære systemer. Hovedvariabelen er TSEs evne til å blokkere østrogen innvirkning på livmor og bryst, som er de to hovednegative effektene.

- 15 Det er underforstått at dosering, regime og administreringsmåten til disse forbindelsene ifølge formlene (I) og (II) vil variere ifølge sykdommen og individitet som blir behandlet, og vil være underkastet vurderingen av behandelende lege. Det er foretrukket at administrering av en eller flere av forbindelsene heri begynner ved en lav dose og blir øket helt til de ønskete effektene blir oppnådd. Likeledes er det 20 underforstått at doseringen(e) av østrogen(er) anvendt i foreliggende formuleringer vil bli valgt ifølge konvensjonelle metoder. Det er mest foretrukket at doseringen blir registrert for å oppnå ønsket resultat før et minimum av østrogen(er) er nødvendig.

- Effektiv administrering av disse forbindelsene ifølge formlene (I) og (II) kan bli 25 gitt i en dose på fra omtrent 0,01 mg/dag til omtrent 1,00 mg/dag. Det er foretrukket at administreringen vil være fra omtrent 1 mg/dag til omtrent 600 mg/dag i en enkeltdose eller i to eller flere oppdelte doser. Det er mest foretrukket at en daglig dose på mellom omtrent 1 mg/dag og omtrent 150 mg/dag vil bli administrert. Slike doser kan bli administrert på en hvilken som helst måte som er nyttig for å lede de aktive forbindelsene heri til mottakeren, inkludert oralt, parenteralt (inkludert 30 intravenøst, intraperitonealt og subkutane injeksjoner, implanteringer osv.), intravaginalt og transdervalt. I foreliggende beskrivelse skal transdermale administrering innbefatte alle administreringer over kroppsoverflaten og kroppens indre innbefattende epitel og slimhinnevev. Slike administreringer kan bli utført ved anvendelse av foreliggende forbindelser eller farmasøytsk akseptable salter derav, i

losjoner, kremer, skum, plastere, suspensjoner, løsninger og suppositorier (rektalt og vaginalt).

- Orale formuleringer inneholdende de aktive forbindelsene ifølge formlene (I) og (II) kan omfatte hvilke som helst konvensjonelt anvendte orale former, inkludert
- 5 tabletter, kapsler, bukkale former, trocheer, piller og orale væsker, suspensjoner eller løsninger. Kapsler kan inneholde blandinger av de aktive forbindelsene med inerte fyllstoff og/eller fortynningsmidler så som farmasøytsk akseptable stivelser (f.eks. mais, potet eller tapiokastivelse), sukkere, kunstige søtningsmidler, pulverformig cellulose, så som krystallinsk og mikrokristallinsk cellulose, mel, gelatin, gummi osv.
  - 10 Nyttige tabletformuleringer kan bli dannet ved konvensjonell kompresjon, våtgranulering eller tørrgranuelring metoder og ved anvendelse av farmasøytsk akseptable fortynningsmidler, bindemidler, smøremidler, oppløsningsmidler, suspenderings- og stabiliseringssmidler, inkludert, men ikke begrenset til, magnesiumstearat, stearinsyre, talk, natriumlaurylsulfat, mikrokristallinsk cellulose, karboksymetyl-
  - 15 cellulosekalsium, polyvinylpyrrolidon, gelatin, alginsyre, akasigummi, zantangummi, natriumsitrat, komplekse silikater, kalsiumkarbonat, gycin, dekstrin, sukrose, sorbitol, dikalsiumfosfat, kalsiumsulfat, laktose, kaolin,mannitol, natriumklorid, talk, tørre stivelser og pulverformig sukker. Orale formuleringer heri kan anvende formuleringer med standardforsinkelse eller tidsfrigjøring for å endre absorpsjonen av den aktive
  - 20 forbindelsen(e). Suppositorieformuleringer kan bli dannet fra tradisjonelle materialer, inkludert kakaosmør, med eller uten tilsetning av voks for å endre suppositoriets smeltepunkt og glycerin. Vannoppløselige suppositoriebaser, så som polyetylen-glykoler med forskjellige molekylvekter, kan også bli anvendt.

- Det er å bemerke at østrogen vil bli administrert i doseringer ifølge
- 25 konvensjonelle regimer, ifølge mottakerens toleranse og spesiell behandlings- eller opprettholdelsesskjema som er ventet. Forbindelser ifølge formel (I) og (II) heri vil bli administrert i en mengde som er nødvendig for å agonisere eller antagonisere østrogen(er) formuleringsaktivitet til ønsket nivå. Når konjugerte østrogener, USP, blir anvendt, er det foretrukket at den daglige doseringen er fra 0,1 mg til 5,0 mg, mer
  - 30 foretrukket mellom omtrent 0,3 mg og 2,5 mg, mest foretrukket mellom omtrent 0,3 og 1,25 mg/dag. For mestranol eller etynyløstradiol kan en daglig dosering omfatte fra omtrent 1 µg til omtrent 0,15 mg/dag og en dosering på fra omtrent 1 µg til

omtrent 0,3 mg/dag kan bli anvendt for etynyløstradiol, fortrinnsvis mellom omtrent 2 µg til omtrent 0,1t mg/dag etynyløstradiol.

Forbindelsene heri kan bli formulert alene eller med en farmasøytisk bærer for administrering, og proporsjonen derav blir bestemt ved oppløseligheten og den kjemiske naturen til forbindelsen, valgt administrasjonsvei og standard farmakologisk praksis. Den farmasøytiske bæreren kan være fast eller flytende.

En fast bærer kan innbefatte en eller flere forbindelser som også kan virke som smaksmidler, smøremidler, oppløsningsmidler, suspenderingsmidler, fyllstoff, glidemidler, kompresjonshjelpe midler, bindemidler eller tabletts-oppløsningsmidler.

Det kan også være et omkapslingsmateriale. I pulvere er bæreren et finfordelt faststoff som er blandet sammen med finfordelt aktivt ingrediens. I tabletene blir det aktive ingredienset blandet med en bærer som har nødvendige kompresjonsegenskaper i egnede proporsjoner og komprimert i form og størrelse etter behov. Pulvere og tabletter inneholder fortrinnsvis opp til 99% aktivt ingrediens. Egnete faste bærere innbefatter for eksempel kalsiumfosfat, magnesiumstearat, talk, sukkere, laktose, dektrin, stivelse, gelativ, cellulose, metylcellulose, natriumkarboksymetylcellulose, polyvinylpyrrolidin, lavtsmeltende voks og ionbytteharpikser.

Flytende bærere blir anvendt for fremstilling av løsninger, suspensjoner, emulsjoner, siruper, eliksirer og trykksbelastete sammensetninger. Det aktive ingredienset kan bli løst opp eller suspendert i en farmasøytisk akseptabel flytende bærer så som vann, et organisk løsningsmiddel, en blanding av begge eller farmasøytisk akseptable oljer eller fettstoffer. Den flytende bæreren kan inneholde andre egnete farmasøytisk additiver så som solubiliseringsmidler, emulgeringsmidler, buffere, konserveringsmidler, søtningsmidler, smaksmidler, suspenderingsmidler, fortykningsmidler, farvestoffer, viskositetsregulerende midler, stabiliserende midler eller osmo-regulatorer. Egnete eksempler på flytende bærere for oral og parenteral administrering innbefatter vann (delvis inneholdende additiver som ovenfor, f.eks. cellulosederivater, fortrinnsvis natriumkarboksymetylcelluloseløsning), alkoholer (inkludert monohydriske alkoholer og polyhydriske alkoholer, f.eks. glykoler) og derivater derav, letisiner og oljer (f.eks. fraksjonert kokosolje og arakisolje). For parenteral administrering kan bæreren også være en oljeholdig ester så som etyoleat og isopropylmyristat. Steriel flytende bærere er nyttige i sterile sammensetninger i flytende form for parenteral administrering. Den flytende bæreren

for trykkelastete sammensetninger kan være halogenert hydrokarbon eller annet farmasøytsk akseptabelt drivmiddel.

Flytende farmasøytske sammensetninger som er sterile løsninger eller suspensjoner, kan for eksempel bli anvendt for intramuskulær, intraperitoneal eller 5 subkutant injeksjon. Sterile løsninger kan også bli administrert intravenøst.

Forbindelsene ifølge denne oppfinneren kan også bli administrert oralt enten i flytende eller fast sammensetningsform.

Forbindelsene ifølge denne oppfinneren kan bli administrert rektalt eller vaginalt i form av en konvensjonell suppositorie, kremer, geler osv. For 10 administrering ved intranasal eller intrabronkial inhalering eller innånding kan forbindelsene ifølge denne oppfinneren bli administrert i en veldig eller delvis veldig løsning, som deretter kan bli anvendt i form av en aerosol. Forbindelsene ifølge denne oppfinneren kan også bli administrert som transdermalt ved anvendelse 15 av et transdermalt plaster inneholdende den aktive forbindelsen, og en bærer som er inert for den aktive forbindelsen, er ikke toksisk for huden, og muliggjør levering av midlet for systemisk absorpsjon i blodstrømmen via huden. Bæreren kan ha forskjellige former så som kremer og salver, pastaer, geler og okklusjonsinnretninger. Kremer og salver kan være diskøst flytende eller halvfaste emulsjoner av enten olje-is-vann eller vann-is-olje type. Pastaer bestående av absorberende pulvere 20 dispergert i petroleum eller hydrofil petroleum inneholdende aktivt ingrediens kan også være egnet. Forskjellige okklusjonsinnretninger kan bli anvendt for å frigjøre det aktive ingredienset inn i blodstrømmen så som en semipermeabel membran omfattende et reservoir inneholdende det aktive ingredienset med eller uten en bærer, eller en matriks inneholdende det aktive ingredienset. Andre okklusive 25 innretninger er kjent i litteraturen.

Doseringsskravene varierer med de bestemte sammensetningene som blir anvendt, administrasjonsvei, hvor alvorlig symptomene er og det bestemte individet som blir behandlet. Behandlingen vil generelt bli initiert i små doseringer mindre enn den optimale dosen av forbindelsen. Deretter blir doseringen øket helt til optimal 30 effekt blir nådd under de gitte betingelsene; nøyaktige doseringer for orale, parenterale, transdermale, rektale eller vaginale suppositorier, nasale eller intra-bronkiale og andre administreringer vil bli bestemt av behandelende lege basert på erfaringen til det individuelle individet som blir behandlet. Det er foretrukket at den farmasøytske sammensetningen er i enhetsdoseringssform, f.eks. som tabletter eller

kapsler. I en slik form er sammensetningen delt inn i enhetsdose inneholdende hensiktsmessige mengder av det aktive ingredienset; enhetsdoseringssformer kan være forpakket sammensetninger, for eksempel, pakkete pulvere, beholdere, ampuller, på forhånd fylte sprøyter eller puter inneholdende væsker. Enhets-

- 5 doseringsform kan for eksempel være en kapsel eller selve tabletten, eller kan være hensiktsmessig antall av hvilke som helst slike sammensetninger i pakkeform.

Forbindelsen(e) ifølge formlene (I) og (II) og østrogen(er) ifølge foreliggende formuelringer kan bli administrert i separate doseringsenheter, så som separate piller, pulvere osv. eller kombinert i en formulering. Når optimale doseringer for 10 forbindelsene ifølge formlene (I) og (II) og østrogener av disse formuleringene er blitt bestemt, kan det være foretrukket å inkorporere disse både i en enkelt formulering for å lette administreringen. Det er også kjent at formuleringene heri kan ellers behøver ikke å innbefatte andre farmasøytsiske aktive komponenter.

Løsningsmidler anvendt i reaksjonene beskrevet heri var vannfri Aldrich Sure 15 Seal™ uten ytterligere rensing. Reagensene var typisk Aldrich og anvendt uten ytterligere rensing. Alle reaksjonene ble utført under en nitrogenatmosfære.

Kromatografi ble utført ved anvendelse av 230-400 mest silika gel (Merck Grade 60, Aldrich Chemical Company). Tynnsjøtskromatografi ble utført med Silica Gel 60 F<sub>254</sub> skåler fra EM Science. <sup>1</sup>H NMR spekteret ble oppnådd på et Bruker AM-400

- 20 instrument i DMSO og kjemisk skift rapportert i ppm. Smeltepunkter ble bestemt på en Thomas-Hoover apparatur og er ukorrigerte. IR spektere ble registrert på en Perkin-Elmer diffraksjonsgitter eller Perkin-Elmer 784 spektrofotometere. Masse- spektere ble registrert på en Kratos MS 50 eller Finnigan 8230 massespektrometere. Elementanalyser ble oppnådd med en Perkin-Elmer 2400 elementanalysator.  
25 Rapporterte analyseverdier for forbindelse med CHN analyser var innenfor 0,4% av teoretiske verdier.

### Syntese av α-bromketoner

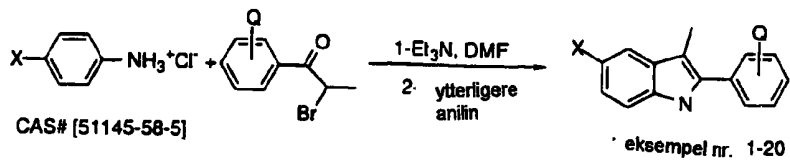
#### Metode a

- 30 Syntese av alfabromketoner blir konvensjonelt oppnådd ved å oppløse utgangsfenylketon i etyleter (0,05-0,10 M) og ved romtemperatur, blir 1,1 ekvivalenter brom dråpevis tilslatt. Reaksjonen kan bli registrert ved TLC for forbruk av utgangsmaterialer. Reaksjonen blir opparbeidet ved vasking med en vandig

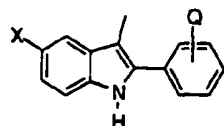
natrium-dikarbonatløsning etterfulgt av en 10% vandig natriumsulfittløsning. Eterlaget blir vasket med saltvann og tørket over magnesiumsulfat. Konsentreringen av reaksjonsblandingen tilveiebringer typisk bromketoner i høyt utbytte og renhet. Bromketoner ble oppført som de er (uten rensing eller karakterisering) til neste trinn.

5

### 3-metylindoler

**Skjema 8**

10



15

**Tabell 1**

	Eksempel nr.	X	Q
	Nr. 1	H	H
	Nr. 1a	F	OBn
20	Nr. 2	H	4'-OBn
	Nr. 6	OBn	4'-OEt
	Nr. 7	OBn	4'-OBn
	Nr. 8	OBn	4'-F
	Nr. 9	OBn	3'-OMe,4'-OBn
25	Nr. 10	OBn	3',4'-OCH <sub>2</sub> O-
	Nr. 11	OBn	4'-O-iPr
	Nr. 12	OBn	4'-O-Cp
	Nr. 13	OBn	4'-CF <sub>3</sub>
	Nr. 14	OBn	4'-CH <sub>3</sub>
30	Nr. 15	OBn	4'-Cl
	Nr. 16	OBn	2'-OMe,4'-OMe
	Nr. 17	OBn	3'-OBn
	Nr. 18	OBn	4'-OBn,3'-F
	Nr. 19	OBn	3'-OMe
35	Nr. 20	OBn	4'-OCF <sub>3</sub>

### Metode 1

#### Illustrert for eksempel nr. 7

### **5-benzyloksy-2-(4-benzyloksyfenyl)-3-metyl-1H-indol**

En flaske ble tilført 4-benzyloksyanilinhydroklorid CAS Nr. [51145-58-5], (45 g, 0,23 mol), 4'-benztloksy-2-bromfenylpropiofenon CAS nr. [66414-19-5] (21 g, 0,066 mol) og 50 ml DMF. Reaksjonen ble oppvarmet ved tilbakeløp i 30 minutter og deretter avkjølt til rt og deretter fordelt mellom 250 ml EtOAc og 100 ml 1N HCl (aq). EtOAc ble vasket med NaHCO<sub>3</sub> (aq) og saltvann, deretter over MgSO<sub>4</sub>. Løsningen ble konsentrert og resten tatt opp i CH<sub>2</sub>Cl<sub>2</sub>, og heksaner ble tilsatt for å presipitere ut 25 g av et rått faststoff. Faststoffet ble oppløst i CH<sub>2</sub>Cl<sub>2</sub> og avdampet på silica gel og chromatografert ved anvendelse av CH<sub>2</sub>Cl<sub>2</sub>/heksan (1:5) for å tilveiebringe 9,2 g av et brunt faststoff (33%); Smp = 150-152°C; <sup>1</sup>H NMR (DMSO) 10,88 (s, 1 H), 7,56 (d, 2 H, J = 8,8 Hz), 7,48 (d, 4 H, J = 7,9 Hz), 7,42-7,29 (m, 6 H), 7,21 (d, 1 H, J = 7,0 Hz), 7,13 (d, 2 H, J = 8,8 Hz), 7,08 (d, 1 H, J = 2,2 Hz), 6,95 (dd, 1 H, J = 8,8, 2,4 Hz), 5,16 (s, 2 H), 5,11 (s, 2 H), 2,33 (s, 3 H); IR (KBr) 3470, 2880, 2820, 1620 cm<sup>-1</sup>; MS el m/z 419.

15

### **Metode 2 (vist i skjema 8)**

#### **også illustrert for eksempel nr. 7**

Reagenser som ble anvendt, var de samme som i metode 1 med unntakelse av at ytterligere trietylamin ble anvendt i denne metoden. Bromketon CAS nr.

[66414-19-5] (50,0 g, 0,16 mol) i 200 ml DMF ble behandlet med anilinhydroklorid CAS nr. [51145-58-51] (44 g, 0,22 mol), og reaksjonen ble spylt med nitrogen i omrent 10 minutter. Trietylamin (54,6 ml) ble tilsatt, og reaksjonen ble oppvarmet ved 120°C i 2 timer. TLC analyse (EtOAc/heksaner) viser at utgangsmaterialet er blitt borte ved dannelse av en mer polar flekk. Reaksjonsblandingene ble latt nedkjøle og ytterligere 48 g anilinhydroklorid ble tilsatt. Reaksjonen ble oppvarmet til 150°C i 2 timer. Ytterligere 5 gram anilinhydroklorid ble tislatt og reaksjonen ble oppvarmet ved 150°C i ytterligere 30 minutter. Reaksjonsblandingene blir latt avkjøle til romtemperatur og deretter helt inn i omrent 1,5 liter vann og ekstrahert med 2 liter etylacetat. Faststoffene ble oppløst med ytterligere etylacetat etter behov. Etylacetatlaget blir vasket med 1 liter 1 N NaOH løsning aq, 1 liter vann, saltvann og deretter tørket over magnesiumsulfat og filtrert. De organiske lagene ble konsentrert ned for å tilveiebringe et rått faststoff som blir omrørt med 500 ml metanol og filtrert. Dette faststoffet blir deretter omrørt med 500 ml etyleter og filtrert. Fastsotffet blir omrørtø

alternativt med metanol og eter helt til det har en hvitaktig farve og har et smeltepunkt som ligner det som er beskrevet for nr. 7 i metode 1. Reaksjonen tilveiebringer 36 gram produkt.

5

### Fysiske data for indoler

Følgende 3-metylindoler (nr. 1 - nr. 20) ble syntetisert ifølge prosedyren beskrevet i skjema 2 ved anvendelse av metode 2 ved anvendelse av hensiktsmessige substituerte bromketoner (fremstilt som angitt ovenfor) og aniliner (kommer-  
sielt tilgjengelig: Aldrich) som utgangsmaterialer.

**Eksempel nr. 1    2-fenyl-3-metyl-1H-indol**

Smp = 90-94°C;  $^1\text{H}$  NMR (DMSO) 11,13 (s, 1 H), 7,68 – 7,64 (m, 2 H), 7,54 – 7,46

(m, 3 H), 7,37 – 7,32 (m, 2 H), 7,12 – 7,06 (m, 1 H), 7,03 – 6,97 (m, 1 H), 2,40 (s,

15 3 H); MS el m/z 207 (M+).

**Eksempel nr. 1a    5-fluor-2-(4-benzyloksyfenyl)-3-metyl-1H-indol**

Smp = 143 - 146°C.

**Eksempel nr. 2    2-(4-benzyloksyfenyl)-3-metyl-1H-indol**

Smp = 118 - 120°C;  $^1\text{H}$  NMR (DMSO) 11,03 (s, 1 H), 7,57 (dd, 2 H, J = 2,0 Hz),

7,48 – 7,46 (m, 3 H), 7,44 – 7,28 (m, 4 H), 7,18 – 7,11 (m, 2 H), 7,08 – 6,95 (s, 2

H), 5,16 (s, 2 H), 2,36 (s, 3 H); MS el m/z 313 (M+).

**Eksempel nr. 3    5-benzyloksy-2-fenyl-3-metyl-1H-Indol**

Smp = 141 - 144°C;  $^1\text{H}$  NMR (DMSO) 10,98 (s, 1 H), 7,65 – 7,61 (m, 2 H), 7,51 –

7,44 (m, 4 H), 7,42 – 7,28 (m, 4 H), 7,23 (3, 1 H, J = 8,7 Hz), 7,10 (d, 1 H, J = 2,5

Hz), 6,80 (d, 1 H, J = 6,0 Hz), 5,10 (s, 2 H), 2,36 (s, 3H); MS el m/z 313 (M+).

30

**Eksempel nr. 4    5-benzyloksy-2-(4-metyoksyfenyl)-3-metyl-1H-indol**

Smp = 158°C;  $^1\text{H}$  NMR 10,85 (brs, 1 H), 7,56 (d, 2 H, J = 8,8 Hz), 7,48 (d, 2 H, J =

8,3 Hz), 7,45 – 7,36 (m, 2 H), 7,34 – 7,28 (m, 1 H), 7,21 (d, 1 H, J = 8,6 Hz), 7,09

– 7,04 (m, 3 H) 6,79 (dd, 1H, J = 8,8 Hz), 5,11 (s, 2H), 3,80 (s, 3 H), 2,33 (s, 3 H);  
 MS el m/z 343 (M+): CHN beregnet for C<sub>23</sub>H<sub>21</sub>NO<sub>2</sub> + 0,25 H<sub>2</sub>O.

**Eksempel nr. 5    5-metoksy-2-(4-metoksyfenyl)-3-metyl-1H-indol**

5    Smp = 139 - 142°C; <sup>1</sup>H NMR (DMSO) 10,85 (s, 1 H), 7,57 (d, 2 H, J = 8,8 Hz), 7,19  
 (d, 1 H, J = 8,6 Hz), 7,04 (d, 2 H, J = 6,8 Hz), 6,95 (d, 1 H, J = 2,2 Hz), 6,71 (dd,  
 1H, J = 8,5 Hz, J = 2,4 Hz), 3,80 (s, 3 H) 3,76 (s, 3H), 2,33 (s, 3H); MS el m/z 267  
 (M+): CHN beregnet for C<sub>17</sub>H<sub>17</sub>NO<sub>2</sub>.

10    **Eksempel nr. 6    5-benzyloksy-2-(4-etoxyfenyl)-3-metyl-1H-indol**

Smp = 143 - 145°C; <sup>1</sup>H NMR (DMSO) 10,86 (s, 1 H), 7,54 (d, 2 H, J = 8,5 Hz), 7,46  
 (d, 2 H, J = 7,3 Hz), 7,41 – 7,37 (m, 2 H), 7,32 – 7,30 (m, 1 H), 7,20 (d, 1H, J = 8,6  
 Hz), 7,05 (d, 1 H) 7,03 (d, 2H, J = 8,8 Hz), 6,79 (dd, 1 H, J = 8,6 Hz, J = 2,4 Hz),  
 5,10 (s, 2 H), 4,07 (q, 2 H, J = 6,8 Hz), 2,32 (s, 3 H), 1,34 (t, 3 H, J = 7,0 Hz); MS el  
 15    m/z 357 (M+).

**Eksempel nr. 8    5-benzyloksy-2-(4-fluorfenyl)-3-metyl-1H-indol**

Smp = 132°C; <sup>1</sup>H NMR (DMSO) 11,0 (s, 1 H), 7,68 – 7,64 (m, 2 H), 7,49 – 7,47 (m,  
 2 H), 7,41 – 7,31 (m, 5 H), 7,23 (d, 1 H, J = 8,8 Hz), 7,10 (d, 1H, J = 2,4 Hz), 6,82  
 20    (dd, 1 H, J = 8,8, 2,4 Hz), 5,11 (s, 2H), 2,34 (s, 3 H); MS El m/z 331; CHN beregnet  
 for C<sub>22</sub>H<sub>18</sub>FNO.

**Eksempel nr. 9    5-benzyloksy-2-(4-benzyloksy-3-metoksyfenyl)-3-metyl-1H-indol**

25    Smp = 155 - 158°C; <sup>1</sup>H NMR (DMSO) 10,88 (s, 1 H), 7,50 – 7,45 (m, 4 H), 7,41 –  
 7,35 (m, 6 H), 7,22 – 7,20 (m, 2 H), 7,14 (s, 2 H), 7,08 (d, 1H, J = 2,2 Hz), 6,78  
 (dd, 1 H, J = 8,5 Hz, J = 2,4 Hz), 5,13 (s, 2H), 5,11 (s, 2 H), 3,85 (s, 3 H), 2,35 (s,  
 3 H); MS el m/z 449 (M+).

30    **Eksempel nr. 10    2-benzyl[1,3]dioksol-5-yl-5-benzyloksy-3-metyl-1H-indol**

Smp = 142 - 145°C; <sup>1</sup>H NMR (DMSO) 10,86 (s, 1 H), 7,48 (d, 2 H, J = 7,0 Hz), 7,40  
 – 7,30 (m, 3 H), 7,20 (m, 2 H), 7,10 – 7,05 (m, 3 H), 6,78 (dd, 1H, J = 8,8 Hz, J =

2,4 Hz), 6,06 (s, 2 H) 5,10 (s, 2H), 2,31 (s, 3 H); MS el m/z 357 (M+); CHN beregnet for C<sub>23</sub>H<sub>19</sub>NO<sub>3</sub>.

**Eksempel nr. 11 5-benzyloksy-2-(4-isopropoksyfenyl)-3-metyl-1H-indol**

5 Smp = 136 - 138°C; <sup>1</sup>H NMR (DMSO) 10,86 (s, 1 H), 7,55 – 7,51 (m, 2 H), 7,50 – 7,47 (d, 2 H, J = 7,3 Hz), 7,40 – 7,34 (m, 2 H), 7,39 – 7,28 (m, 1 H), 7,20 (d, 1H, J = 8,7 Hz, J = 2,4 Hz), 5,10 (s, 2 H), 4,68 – 4,62 (m, 1H), 2,32 (s, 3 H), 1,28 (d, 6H, J = 6,0 Hz); MS el m/z 371 (M+).

10 **Eksempel nr. 12 5-benzyloksy-2-(4-cyklopenyloksyfenyl)-3-metyl-1H-indol**

Smp = 161 - 167°C; <sup>1</sup>H NMR (DMSO) 10,85 (s, 1 H), 7,53 (d, 2 H, J = 8,8 Hz), 7,47 (d, 2 H, J = 8,4 Hz), 7,40 – 7,36 (m, 2 H), 7,33 – 7,28 (m, 1 H), 7,20 (d, 1H, J = 8,6 Hz), 7,07 (d, 1 H, J = 2,4 Hz), 7,01 (d, 2 H, J = 8,8 Hz), 6,78 dd, 1 H, J = 8,6 Hz, 2,2 Hz), 5,10 (s, 2H), 4,88 – 4,84 (m, 1 H), 2,32 (s, 3H), 1,99 – 1,88 (m, 2H), 1,78 – 1,69 (m, 4H), 1,64 – 1,52 (m, 2H); IR (KBr) 3400, 2920, 1600 cm<sup>-1</sup>; MS el m/z 397 (M+); CHN kalkulert for C<sub>27</sub>H<sub>27</sub>NO<sub>2</sub> + 0,25 H<sub>2</sub>O.

**Eksempel nr. 13 5-benzyloksy-2-(4-trifluormetylfenyl)-3-metyl-1H-indol**

20 Smp = 161 - 167°C; <sup>1</sup>H NMR (DMSO) 11,0 (br s, 1 H), 7,87 – 7,82 (m, 4 H), 7,48 (d, 2 H, J = 8,8 Hz), 7,44 – 7,35 (m, 2 H), 7,34 – 7,26 (m, 2 H), 7,15 (d, 1H, J = 2,2 Hz), 6,87 (dd, 1 H, J = 8,6 Hz), 5,12 (s, 2 H), 2,41 (s, 3 H); CHN kalkulert for C<sub>23</sub>H<sub>18</sub>F<sub>3</sub>NO.

**Eksempel nr. 14 5-benzyloksy-2-(4-metylfenyl)-3-metyl-1H-indol**

25 Smp = 144 - 146°C; <sup>1</sup>H NMR (DMSO) 10,91 (s, 1 H), 7,56 – 7,20 (m, 10 H), 7,08 (d, 1 H, J = 2,4 Hz), 6,80 (dd, 1 H, J = 2,4 Hz, 8,6 Hz), 5,11 (s, 2 H), 2,34 (s, 3H); MS el m/z 327 (M+).

**Eksempel nr. 15 5-benzyloksy-2-(4-klorfenyl)-3-metyl-1H-indol**

30 Smp = 134 - 136°C; <sup>1</sup>H NMR (DMSO) 11,04 (s, 1 H), 7,65 (d, 2 H, J = 8,3 Hz), 7,53 (d, 2 H, J = 8,5 Hz), 7,47 (d, 2 H, J = 6,8 Hz), 7,41 – 7,37 (m, 2 H), 7,31 – 7,28 (m, 1H) 7,25 (d, 1 H, J = 8,5 Hz), 7,11 (d, 1 H, J = 2,4 Hz), 6,82 (dd, 1H, J = 8,8 Hz, J =

2,4 Hz), 5,11 (s, 2 H), 2,35 (s, 3H); IR (KBr) 3380, 1210 cm<sup>-1</sup>. MS el m/z 347 (M+); CHN akulert for C<sub>22</sub>H<sub>18</sub>CINO<sub>2</sub>.

**Eksempel nr. 16 5-benzyloksy-2,4-dimetoksyfenyl)-3-metyl-1H-indol**

5 Olje; <sup>1</sup>H NMR (DMSO) 10,58 (s, 1 H), 7,50 – 7,18 (m, 7 H), 7,04 (d, 1 H, J = 2,4 Hz), 6,76 (dd, 1 H, J = 2,3 Hz, 8,6 Hz), 6,69 – 6,62 (m, 2 H), 5,11 (s, 2H) 3,82 (s, 3 H), 3,78 (s, 3 H), 2,12 (s, 3H).

**Eksekmpel nr. 17 5-benzyloksy-2-(3-benzyloksyfenyl)-e-metyl-1H-indol**

10 Smp = 83 – 86°C.

**Eksempel nr. 18 5-benzyloksy-2-(4-benzyloksy-3-fluorfenyl)-3-metyl-1H-indol**

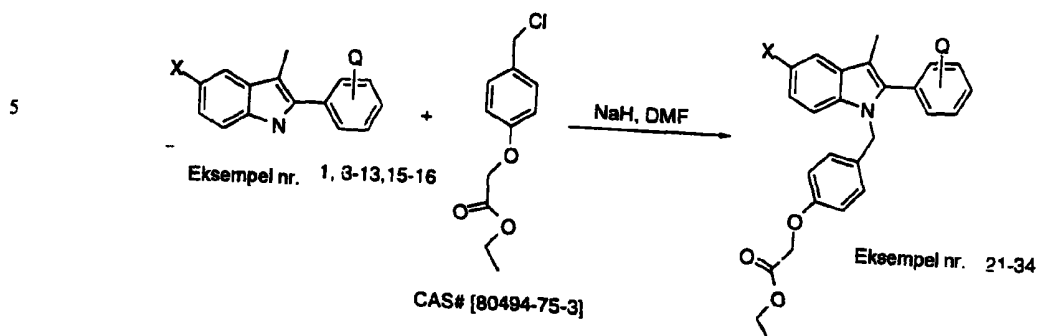
Smp = 135 - 137°C; <sup>1</sup>H NMR (DMSO) 10,94 (s, 1 H), 7,50 – 7,31 (m, 13 H), 7,22 (d, 1 H, J = 8,6 Hz), 7,10 (d, 1 H, J = 2,2 Hz), 6,81 (dd, 1 H, J = 8,6 Hz, 2,2 Hz), 15 5,23 (s, 2H) 5,11 (s, 2 H), 2,34 (s, 3 H); MS el m/Z 437 (M+); CHN kalkulert for C<sub>29</sub>H<sub>24</sub>FNO<sub>2</sub>.

**Eksempel nr. 19 5-benzyloksy-2-(3-metoksyfenyl)-3-metyl-1H-indol**

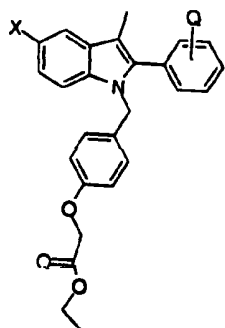
Smp = 107 - 109°C; <sup>1</sup>H NMR (DMSO) 11,00 (s, 1 H), 7,51 – 7,48 (m, 2 H), 7,43 – 20 7,20 (m, 7 H), 7,13 – 7,12 (d, 1 H, J = 2,12 Hz), 6,93 – 6,90 (dd, 1 H, J = 2,3 Hz, 6,3 Hz), 5,12 (s, 2H) 3,83 (s, 3 H), 2,38 (s, 3 H); IR (KBr) 3400, 2900, 1600 cm<sup>-1</sup>; MS el m/z 343 (M+); CHN kalkulert for C<sub>23</sub>H<sub>21</sub>NO<sub>2</sub>.

**Eksempel nr. 20 5-benzyloksy-3-metyl-2-(4-trifluormetoksyfenyl)-1H-indol**

25 Smp = 127 - 128°C; <sup>1</sup>H NMR (DMSO) 11,07 (s, 1 H), 7,77 – 7,74 (dd, 2 H, J = 1,8 Hz, J = 5,0 Hz), 7,50 – 7,48 (d, 4 H, J = 8,3 Hz), 7,42 – 7,25 (m, 4 H), 7,14 – 7,13 (d, 1 H, J = 2,2 Hz), 6,87 – 6,83 (dd, 1H, J = 2,3 Hz, J = 6,3 Hz), 5,13 (s, 2 H), 2,37 (s, 3 H); IR (KBr) 3360, 1600 cm<sup>-1</sup>; MS el m/z 396 (M+); CHN kalkulert for C<sub>23</sub>H<sub>18</sub>F<sub>3</sub>NO<sub>2</sub>.

**3-metylindoeddiksreetylestere****Skjema 9**

15



20

**Tabell 2**

	<b>Eksempel nr.</b>	<b>X</b>	<b>Q</b>
25	Nr. 21	H	H
	Nr. 22	OBn	H
	Nr. 23	OBn	4'-OMe
	Nr. 24	OMe	4'-OMe
	Nr. 25	OBn	4'-OEt
	Nr. 26	OBn	4'-OBn
30	Nr. 27	OBn	4'-F
	Nr. 28	OBn	3'-OMe, 4'-OBn
	Nr. 29	OBn	4'-O-iPr
	Nr. 30	OBn	3',4'-OCH <sub>2</sub> O-
	Nr. 31	OBn	4'-OCp
	Nr. 32	OBn	4'-CF <sub>3</sub>
35	Nr. 33	OBn	4'-Cl
	Nr. 34	OBn	2'-OMe, 4'-OMe

## **Eksperimentell prosedyre for 3-metylindoleddiksyreetylestere**

### **syntesemetode 3**

#### **illustert for eksemkpel nr. 26**

5      **{4-[5-benzyloksy-2-(4-benzyloksyfenyl)-3-metylindol-1-ylmetyl]-**  
**fenoksy}eddiksyreetyester**

En løsning av 5-benzyloksy-2-(4-benzyloksyfenyl)-3-metyl-1H-indol (indol eksempel nr. 7) (32 g, 77 mmol) i DMF (0,15 l) ble avkjølt til 0°C og behandlet med natriumhydrid (2,2 g, 89 mmol). Reaksjonen ble omrørt i 20 minutter, og deretter ble 10 benzylkorid CAS nr. [80494-74-3] (20 g, 127 mmol) tilsatt og reaksjonen omrørt i 18 timer ved romtemperatur. Reaksjonsblandingen ble helt i vann og ekstrahert med etylacetat. Etylacetat ble vasket med saltvann og tørket over magnesiumsulfat. Etylacetat ble konsentrert og tritureret med eter for å oppnå 21 g av et hvitt faststoff. Filtratet ble konsentrert og tritureret med eter for å tilveiebringe ytterligere 7 g hvitt 15 faststoff i et totalt utbytte på 28 g: Smp = 129-131°C;  $^1\text{H}$  NMR (DMSO) 7,47 (d, 4 H, J = 7,2 Hz), 7,39 (1, 4 H, J = 7,9 Hz), 7,36 – 7,32 (m, 1 H), 7,29 (d, 2 H, J = 8,8 Hz), 7,19 (d, 1 H, J = 9,0 Hz), 7,13 – 7,09 (m, 4 H), 6,80 (dd, 1 H, J = 8,8, 2,4 Hz), 6,73 (s, 4H), 5,16 (s, 2 H), 5,13 (s, 2H), 5,11 (s, 2 H), 4,66 (s, 2 H), 4,11 (q, 2 H, J = 7,2 Hz), 2,15 (s, 3 H), 1,16 (t, 3 H, J = 7,2 Hz); MS el m/z 612.

20

#### **Fysiske data for indoletyestere**

Følgende indolalkyleringsprodukter ble fremstilt ifølge skjema 9 ved anvendelse av metode 3 med hensiktsmessig substituert 3-metylindol valgt fra (nr. 1 – nr. 16) som utgangsmateriale.

25

**Eksempel nr. 21 {4-[2-fenyl-3-metylindol-1-ylmetyl]-fenoksy}eddiksyre-etyester**

Olje;  $^1\text{H}$  NMR (DMSO= 7,57 – 7,30 (m, 7 H), 7,13 – 7,02 (m, 2H), 6,77 – 6,70 (m, 4 H, 5,22 (s, 2 H), 4,65 (s, 2 H), 4,09 (q, 2 H, J = 7,2 Hz), 2,20 (s, 3 H), 1,15 (t, 3 H, J = 7,0 Hz); MS el m/z 399 (M+).

**Eksempel nr. 22 {4-[5-benzyloksy-2-fenyl-3-metylindol-1-ylmetyl]-fenoksy}-eddiksyreester**

Olje;  $^1\text{H}$  NMR ('DMSO= 7,50 – 7,40 (m, 10 H), 7,22 (d, 1 H, J = 8,4 Hz), 7,14 (d, 1 H, J = 2,5 Hz), 6,83 (d, 1 H, J = 2,5 Hz), 6,72 (s, 4 H), 5,18 (s, 2 H), 5,11 (s, 2 H), 4,65 (s, 2 H), 4,10 (q, 2 H, J = 7,2 Hz), 2,16 (s, (d H), 1,14 (t, 3 H, J = 7,0 Hz); MS el m/z 505 (M+).

**Eksempel nr. 23 {4-[5-benzyloksy-2-(4-metoksyfenyl)-3-metylindol-1-ylmetyl]-fenoksy}-eddiksyreester**

Smp = 90 - 96°C;  $^1\text{H}$  NMR (DMSO) 7,47 (d, 2 H, J = 6,8 Hz), 7,41 – 7,37 (m, 2 H), 7,33 – 7,27 (m, 3 H), 7,19 (d, 1 H, J = 8,8 Hz), 7,12 (d, 1 H, J = 2,4 Hz), 7,03 (d, 2 H, J = 8,8 Hz), 6,80 (dd, 1 H, J = 8,8 Hz, 2,4 Hz), 6,75 (s, 4 H), 5,16 (s, 2 H), 5,11 (s, 2 H), 4,65 (s, 2 H), 4,11 (q, 2 H, J = 7,0 Hz), 3,79 (s, 3 H), 2,15 (s, 3 H), 1,16 (t, 3 H), 1,16 (t, 3 H, J = 7,0 Hz); IR (KBr) 2990, 2900, 1760, 1610 cm<sup>-1</sup>; MS FAB m/z 536 (M+H+).

**Eksempel nr. 24 {4-[5-metoksy-2-(4-metoksyfenyl)-3-metylindol-1-ylmetyl]-fenoksy}-eddiksyreester**

Smp= 109 - 113°C;  $^1\text{H}$  NMR (DMSO= 7,27 (d, 2 H, J = 8,8 Hz), 7,17 (d, 1 H, J = 8,8 Hz), 7,03 (d, 2 H, J = 8,6 Hz), 6,99 (d, 1 H, J = 2,5 Hz), 6,78 - 6,70 (m, 5 H), 5,15 (s, 2 H), 4,65 (s, 2 H), 4,11 (q, 2 H, J = 7,0 Hz), 3,78 (s, 3 H), 3,76 (s, 3 H), 2,15 (s, 3 H), 1,15 (t, 3 H, J = 7,1 Hz); MS el m/z 459 (M+).

**Eksempel nr. 25 {4-[5-benzyloksy-2-(4-etoksyfenyl)-3-metylindol-1-ylmetyl]-fenoksy}-eddiksyreester**

Smp = 113 - 115°C;  $^1\text{H}$  NMR (DMSO) 7,45 (d, 2 H, J = 7,3 Hz), 7,40 – 7,25 (m, 5 H), 7,17 (d, 1 H, J = 8,8 Hz), 7,11 (d, 1 H, J = 2,2 Hz), 7,01 (d, 2H, J = 6,8 Hz), 6,78 (dd, 1 H, J = 8,8 Hz, J = 2,4 Hz), 6,73 (s, 4 H), 5,15 (s, 2 H), 5,10 (s, 2 H), 4,65 (s, 2 H), 4,15 – 4,01 (m, 4 H), 2,14 (s, 3 H), 1,33 (5, 3 H, J = 5,7 Hz), 1,16 (t, 3 H, J = 5,7 Hz), 1,16 (t, 3 H, J = 7,1 Hz); MS el m/z 549 (M+).

**Eksempel nr. 27 {4-[6-benzyloksy-2-(4-fluorfenyl)-3-metylindol-1-ylmetyl]-fenoksy}-eddksyreetylester**

<sup>1</sup>H NMR (DMSO) 7,50 – 7,15 (m, 16 H), 5,20 (s, 2 H), 5,12 (s, 2 H), 4,62 (s, 2 H),  
<sup>5</sup> 4,13 (q, 2 H, J = 7,1 Hz), 2,18 (s, 3 H), 1,20 (t, 3 H, J = 7,1 Hz).

**Eksempel nr. 28 {4-[5-benzyloksy-2-(3-metoksy-4-benzyloksy)-3-metylindol-1-ylmetyl]-fenoksy}-eddksyreetylester**

<sup>10</sup> Skum; <sup>1</sup>H NMR (DMSO) 7,50 – 7,30 (m, 10 H), 7,22 (d, 2 H, J = 9,1 Hz), 7,13 (d, 2 H, J = 8,6 Hz), 6,85 – 6,70 (m, 6 H), 5,17 (s, 2 H), 5,13 (s, 2 H), 5,11 (s, 2 H), 4,66 (s, 2 H), 4,14 (m, 2 H), 3,61 (s, 3 H), 2,17 (s, 3 H), 1,16 (t, 3 H, J = 7,0 Hz).

<sup>15</sup> **Eksempel nr. 29 {4-[5-benzyloksy-2-(4-isopropoksyfenyl)-3-metylindol-1-ylmetyl]-fenoksy}-eddksyreetylester**

Olje; <sup>1</sup>H NMR (DMSO) 7,46 (d, 2 H, J = 7,7 Hz), 7,42 – 7,28 (m, 3 H), 7,25 (d, 2 H, J = 8,7 Hz), 7,17 (d, 1 H, J = 8,7 Hz), 7,11 (d, 1 H, J = 2,4 Hz), 6,99 (d, 2 H, J = 8,6 Hz), 6,79 (dd, 1 H, J = 2,4 Hz, 8,8 Hz), 6,73 (s, 4 H), 5,15 (s, 2 H), 5,10 (s, 2 H),  
<sup>20</sup> 4,70 – 4,60 (m, 3 H), 4,10 (q, 2 H, J = 7,0 Hz), 2,15 (s, 3 H), 1,27 (d, 6 H, J = 5,9 Hz), 1,16 (t, 3 H, J = 7,1 Hz); MS el m/z 563 (M+).

<sup>25</sup> **Eksempel nr. 30 {4-[5-benzyloksy-2-(3,4-metylendioksibenzyloksy)-3-metylindol-1-ylmetyl]-fenoksy}-eddksyreetylester**

Olje; <sup>1</sup>H NMR (DMSO) 7,45 (d, 2 H, J = 7,0 Hz), 7,37 (m, 2 H), 7,32 (m, 1 H), 7,19 (d, 1 H, J = 8,8 Hz), 7,11 (d, 1 H, J = 2,2 Hz), 7,00 (d, 1 H, J = 7,9 Hz), 6,90 (d, 1 H, 5,0 Hz), 6,82 – 6,75 (m, 6 H), 6,07 (s, 2 H), 5,16 (s, 2 H), 5,10 (s, 2 H), 4,65 (s, 2 H), 4,10 (m, 2 H), 2,15 (s, 3 H), 1,15 (t, 3 H, J = 7,0 Hz); MS el m/z 549  
<sup>30</sup> (M+).

**Eksempel nr. 31 {4-[5-benzyloksy-2-(4-cyklopentyloksyfenyl)-3-metylindol-1-ylmetyl]-fenoksy}-eddiksyreetylester**

Smp = 96 - 98°C;  $^1\text{H}$  NMR (DMSO) 7,47 (d, 1 H, J = 7,2 Hz), 7,40 – 7,36 (m, 2 H), 7,33 – 7,30 (m, 1 H), 7,26 (m, 2 H), 7,18 (d, 1 H, J = 8,8 Hz), 7,11 (d, 1 H, J = 2,4 Hz), 6,98 (d, 2 H, J = 8,8 Hz), 6,79 (dd, 1 H, J = 8,8 Hz, 2,4 Hz), 6,74 (s, 5 H), 5,15 (s, 2 H), 5,11 (s, 2 H), 4,86 – 4,80 (m, 1 H), 4,66 (s, 2 H), 4,13 (q, 2 H, J = 7,2 Hz), 2,15 (s, 3 H), 1,98 – 1,85 (m, 2 H), 1,79 – 1,65 (m, 4H), 1,62 – 1,55 (m, 2 H), 1,16 (t, 3 H, J = 7,0 Hz); IR (KBr) 2950, 2910, 2890, 1760, 1610  $\text{cm}^{-1}$ ; MS el m/z 589 (M+); CHN beregnet for C:77,39 H:6,67 N:2,38 Funnet: C:76,76 H:6,63 N:2,27.

10

**Eksempel nr. 32 {4-[5-benzyloksy-3-metyl-2-(4-trifluormetylfenyl)-indol-1-ylmetyl]-fenoksy}-eddiksyreetylester**

Smp = 221°C;  $^1\text{H}$  NMR (DMSO= 7,83 (d, 2 H, J = 8,1 Hz), 7,60 (d, 2 H, J = 7,9 Hz), 7,48 (d, 2 H, J = 8,4 Hz), 7,40 – 7,36 (m, 4 H), 7,18 (d, 1 H, J = 2,4 Hz), 6,86 (dd, 1 H, J = 8,8 Hz, 2,4 Hz), 6,72 (s, 4 H), 5,21 (s, 2 H), 5,12 (s, 2 H), 4,65 (s, 2 H), 4,11 (q, 2 H, J = 7,2 Hz), 2,20 (s, 3 H), 1,16 (t, 3 H, J = 7,0 Hz); IR (KBr) 2920, 1730  $\text{cm}^{-1}$ ; MS el m/z 573 (M+); CHN beregnet for  $\text{C}_{34}\text{H}_{30}\text{F}_3\text{NO}_4 + 0,25 \text{ H}_2\text{O}$ .

15

**Eksempel nr. 33 {4-[5-benzyloksy-2-(4-klorfenyl)-3-metylindol-1-ylmetyl]-fenoksy}-eddiksyreetylester**

Smp = 99 - 101°C;  $^1\text{H}$  NMR (DMSO= 7,52 (d, 2 H, J = 8,6 Hz), 7,46 (d, 2 H, J = 6,8 Hz), 7,42 – 7,38 (m, 4 H), 7,36 (m, 2 H), 7,25 (d, 1 H, J = 9,0 Hz), 7,14 (d, 1 H, J = 2,4 Hz), 6,83 (dd, 1 H, J = 8,8 Hz, J = 2,5 Hz), 6,72 (s, 4 H), 5,18 (s, 2 H), 5,11 (s, 2 H), 4,65 (s, 2 H), 4,11 (q, 2 H, J = 7,2 Hz), 2,16 (s, 3 H), 1,15 (t, 3 H, J = 7,2 Hz); MS el m/z 539 (M+); CHN beregnet for  $\text{C}_{33}\text{H}_{30}\text{ClNO}_4$ .

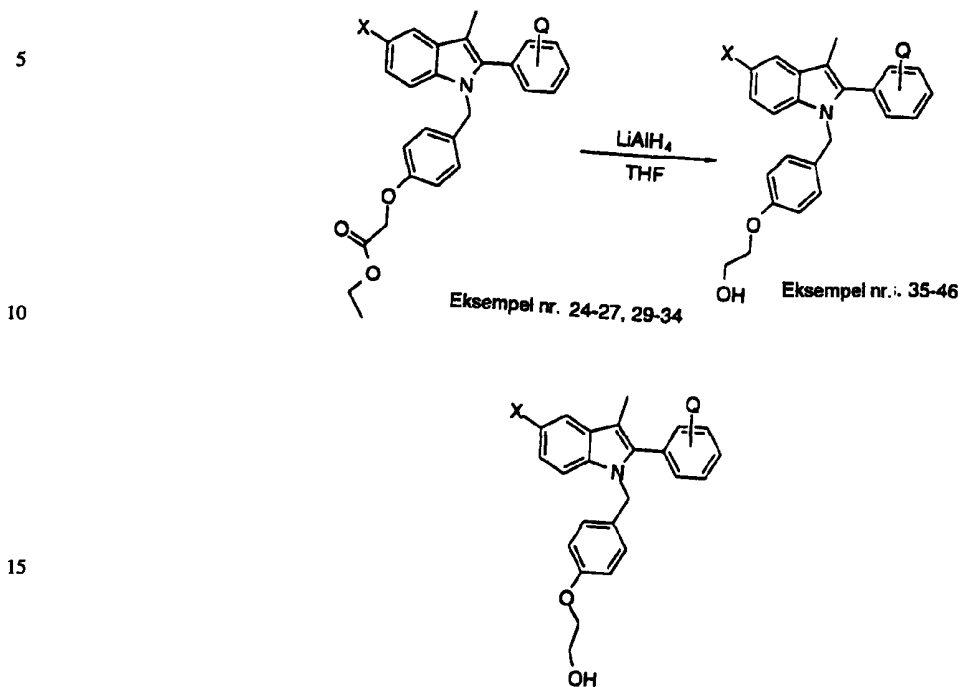
20

25

**Eksempel nr. 34 {4-[5-benzyloksy-2-(2,4-dimetoksy)-3-metylindol-1-ylmetyl]-fenoksy}-eddiksyreetylester**

Olje;  $^1\text{H}$  NMR (DMSO= 7,30 – 6,45 (m, 15 H), 4,95 (s, 2 H), 4,75 – 4,65 (m, 2 H), 4,50 (s, 2 H), 3,97 (q, 2 H, J = 7,1 Hz), 3,65 (s, 3 H), 3,51 (s, 3 H), 1,87 (3 H), 1,01 (t, 3H, J = 7,1 Hz).

30

3-metylindolfenyletanoler**Skjema 10****Tabell 3**

	<b>Eksempel nr.</b>	<b>X</b>	<b>Q</b>
25	Nr. 35	H	H
	Nr. 36	OMe	4'-OMe
	Nr. 37	OBn	4'-OEt
	Nr. 38	OBn	4'-OBn
	Nr. 39	OBn	4'-F
30	Nr. 40	OBn	3',4'-OCH <sub>2</sub> O-
	Nr. 41	OBn	4'-O-iPr
	Nr. 42	OBn	4'-OCp
	Nr. 43	OBn	4'-CF <sub>3</sub>
	Nr. 44	OBn	4'-CH <sub>3</sub>
35	Nr. 45	OBn	4'-Cl
	Nr. 46	OBn	2'-OMe, 4'-OMe

## Eksperimentell prosedyre for 3-metylindolfenetanolsyntese

### Metode 4

#### Illustrert for eksempel nr. 38

5      **2-{4-[5-benzyloksy-2-(4-benzyloksyfenyl)-3-metylindol-1-ylmetyl]-fenoksy}-etanol**

En løsning ifølge nr. 26 fra tidligere trinn (5,5 g, 8,8 mmol) i THF (50 ml) ble avkjølt til 0°C, og en løsning av LiAlH<sub>4</sub> (10 ml, 1 M), i THF ble dråpevis tilsatt. Etter 30 minutter ved 0°C ble reaksjonen forsiktig stoppet med vann og fordelt mellom EtOAc og 1 N HCl. EtOAc ble tørket med MgSO<sub>4</sub>, konsentrert og kromatografert på silika gel EtOAc/heksan (2:3) for å tilveiebringe 4,0 g av nr. 38 som et hvitt skum: <sup>1</sup>H NMR (DMSO= 7,48 – 7,46 (m, 4 H), 7,42 – 7,27 (m, 8 H), 7,20 (d, 1 H, J = 8,8 Hz), 7,12 – 7,10 (m, 3 H), 6,80 (dd, 1 H, J = 8,8, 2,4 Hz), 6,73 (s, 4 H), 5,15 (s, 2 H), 5,13 (s, 2 H), 5,11 (s, 2 H), 4,80 (5, 1 H, J = 5,5 Hz), 3,86 (5, 2 H, J = 4,8 Hz), 3,63 (q, 2 H, J = 5,3 Hz), 2,15 (s, 3 H).

#### Fysiske data for indolfenetanoler

Følgende forbindelser ble fremstilt ifølge skjema 10 med metode 4 ved 20 anvendelse av hensiktsmessig substituert indoletylester valgt fra nr. 21 – nr. 34.

**Eksempel nr. 35 2-{4-[2-fenyl-3-metylindol-1-ylmetyl]-fenoksy}-etanol**

Olje; <sup>1</sup>H NMR (DMSO) 7,57 – 7,32 (m, 7 H), 7,13 – 7,02 (m, 2 H), 6,74 (s, 4 H), 5,21 (s, 2 H), 4,80 (s, 1 H), 3,86 – 3,83 (m, 2 H), 3,62 (s, 2 H), 2,20 (s, 3 H); MS el 25 m/z 356 (M+).

**Eksekmpel nr. 36 2-{4-[5-metoksy-2-(4-metoksyfenyl)-3-metylindol-1-ylmetyl]-fenoksy}-etanol**

Olje; <sup>1</sup>H NMR (DMSO= 7,27 (d, 2 H, J = 8,8 Hz), 7,17 (d, 1 H, J = 8,8 Hz), 7,03 (d, 30 2 H, J = 8,6 Hz), 6,99 (d, 1 H, J = 2,5 Hz), 6,78 – 6,70 (m, 5 H), 5,14 (s, 2 H), 4,80 (brs, 1 H), 3,85 (t, 2 H, J = 5,0 Hz), 3,78 (s, 3 H), 3,76 (s, 3 H), 3,63 (t, 2 H, J = 5,0 Hz), 2,16 (s, 3H); MS el m/z (M+).

**Eksempel nr. 37 2-[4-[5-benzyloksy-2-(4-etoksyfenyl)-3-metyl-indol-1-ylmetyl]-fenoksy]-etanol**

Skum;  $^1\text{H}$  NMR (DMSO) 7,45 (d, 2H, J = 7,3 Hz), 7,40 – 7,25 (m, 5 H), 7,17 (d, 1 H, J = 8,8 Hz), 7,11 (d, 1 H, J = 2,2 Hz), 7,01 (d, 2 H, J = 6,8 Hz), 6,78 (dd, 1 H, J = 8,8 Hz, J = 2,4 Hz), 6,73 (s, 4 H), 5,15 (s, 2 H), 5,10 (s, 2 H), 4,80 (brs, 1 H), 4,06 (q, 2 H, J = 6,8 Hz), 3,85 (t, 2 H, J = 5,0 Hz), 3,63 (t, 2 H, J = 4,8 Hz), 2,14 (s, 3 H), 1,33 (t, 3 H, J = 6,9 Hz); MS el m/z 507 (M+).

**Eksempel nr. 39 2-[4-[5-benzyloksy-2-(4-fluorfenyl)-3-metylindol-1-ylmetyl]-fenoksy]-etanol**

$^1\text{H}$  NMR (DMSO) 7,40 – 6,60 (m, 16 H), 5,10 (s, 1 H), 5,07 /s, 2 H), 5,02 (s, 2 H), 3,76 (t, 2 H, J = 4,9 Hz), 3,53 (t, 2 H, J = 5,0 Hz), 2,06 (s, 3 H).

**Eksempel nr. 40 2-[4-[5-benzyloksy-2-(3,4-metylenedioksyfenyl)-3-metylindol-1-ylmetyl]-fenoksy]-etanol**

Olje;  $^1\text{H}$  NMR (DMSO) 7,45 (d, 2 H, J = 7,0 Hz), 7,37 (m, 2 H), 7,32 (m, 1 H), 7,19 (d, 1 H, J = 8,8 Hz), 7,11 (d, 1 H, J = 2,2 Hz), 7,00 (d, 1 H, J = 7,9 Hz), 6,90 (d, 1 H, 5,0 Hz), 6,82 – 6,75 (m, 6 H), 6,07 (s, 2 H), 5,16 (s, 2 H), 5,10 (s, 2 H), 3,86 (t, 2 H, J = 5,0 Hz), 3,63 (t, 2 H, J = 5,0 Hz), 2,15 (s, 3 H); MS el m/z 507 (M+).

**Eksempel nr. 41 2-[4-[5-benzyloksy-2-(4-isopropoxyfenyl)-3-metylindol-1-ylmetyl]-fenoksy]-etanol**

Skum;  $^1\text{H}$  NMR (DMSO) 7,46 (d, 2H, J = 7,7 Hz), 7,42 – 7,28 (m, 3 H), 7,25 (d, 2 H, J = 8,7 Hz), 7,17 (d, 1 H, J = 8,7 Hz), 7,11 (d, 1 H, J = 2,4 Hz), 6,99 (d, 2 H, J = 8,6 Hz), 6,79 (dd, 1 H, J = 2,4 Hz, 8,8 Hz), 6,73 (s, 4 H), 5,14 (s, 2 H), 5,10 (s, 2 H), 4,80 (bs, 1 H), 4,70 – 4,60 (m, 1 H), 3,85 (t, 2 H, J = 4,8 Hz), 3,63 (t, 2 H, J = 5,1 Hz), 2,13 (s, 3 H), 1,30 (d, 6 H, J = 5,9 Hz); MS el m/z 521 (M+).

**Eksemkpel nr. 42 2-[4-[5-benzyloksy-2-(4-cyklopentyloksyfenyl)-3-metylindol-1-ylmetyl]-fenoksy]-etanol**

Smp = 129 - 131°C;  $^1\text{H}$  NMR (DMSO) 7,47 (d, 2 H, J = 7,2 Hz), 7,38 (t, 2 H, J = 7,2 Hz), 7,33 – 7,28 (m, 1 H), 7,25 (d, 2 H, J = 8,8 Hz), 7,18 (d, 1 H, J = 8,8 Hz), 7,11 (d, 1 H, J = 2,4 Hz), 6,98 (d, 2 H, J = 8,8 Hz), 6,79 (dd, 1 H, J = 8,8 Hz, 2,4 Hz),

6,74 (s, 4 H), 5,15 (s, 2 H), 56,11 (s, 2 H), 4,84 – 4,80 (m, 1 H), 4,79 (t, 1 H, J = 5,7 Hz), 3,86 (t, 2 H, J = 4,8 Hz), 3,63 (q, 2 H, J = 5,1 Hz), 2,15 (s, 3 H), 1,96 – 1,87 (m, 2 H), 1,77 – 1,65 (m, 4 H), 1,62 – 1,53 (, 2 H); IR (KBr) 3490 br, 2920, 1620 cm<sup>-1</sup>; MS el m/Z 547 (M+).

5

**Eksempel nr. 43 2-[4-[5-benzyloksy-2-(4-trifluormetylfenyl)-3-metylindol-1-ylmetyl]-fenoksy]-etanol**

Skum; <sup>1</sup>H NMR (DMSO) 7,83 (d, 2 H, J ? 8,1 Hz), 7,59 (d, 2 H, J = 7,9 Hz), 7,47 (d, 2 H, J = 8,3 Hz), 7,42 – 7,36 (m, 2 H), 7,35 – 7,29 (m, 2 H), 7,18 (d, 1 H, J =

10 2,4 Hz), 6,87 (dd, 1 H, J = 8,1 Hz, 2,4 Hz), 6,77 – 6,68 (m, 4 H), 5,21 (s, 2 H), 5,12 (s, 2H), 4,81 (br s, 1 H), 3,85 (t, 2 H, J = 5,1 Hz), 3,63 (t, 2H, J = 5,1 Hz), 2,19 (s, 3 H); MS el m/z 531.

**Eksempel nr. 44 2-[4-[5-benzyloksy-2-(4-metylfenyl)-3-metylindol-1-ylmetyl]-fenoksy]-etanol**

Olje; <sup>1</sup>H NMR (DMSO) 7,46 (d, 2 H, J = 7,2 Hz), 7,45 – 7,18 (m, 8 H), 7,12 (d, 1 H, J = 2,4 Hz), 6,81 (dd, 1 H, J = 2,4 Hz, 8,6 Hz), 6,73 (s, 4 H), 5,15 (s, 2 H), 5,10 (s, 2 H), 4,80 (bs, 1 H), 3,85 (t, 2 H, J = 4,8 Hz), 3,63 (t, 2 H, J = 4,9 Hz), 2,34 (s, 3 H), 2,15 (s, 3 H); MS el m/z 477 (M+).

20

**Eksempel nr. 45 2-[4-[5-benzyloksy-2-(4-klorfenyl)-3-metylindol-1-ylmetyl]-fenoksy]-etanol**

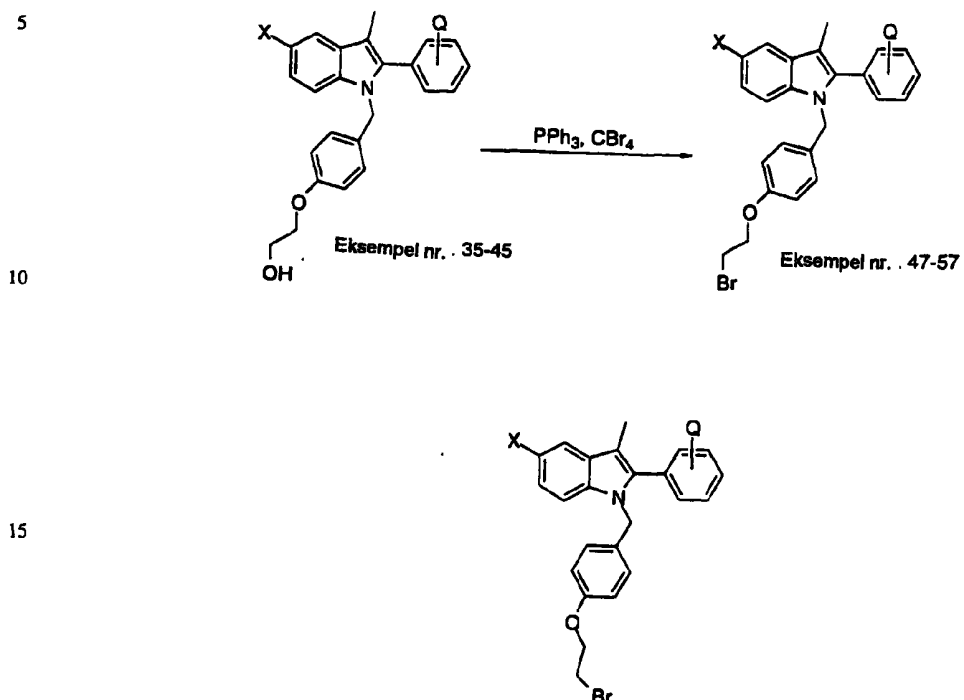
Smp = 110 - 113°C; <sup>1</sup>H NMR (DMSO) 7,52 (d, 2 H, J = 8,6 Hz), 7,46 (d, 2 H, J = 6,8 Hz), 7,38 (m, 4 H), 7,42 – 7,37 (m, 1 H), 7,25 (d, 1 H, J = 9,0 Hz), 7,14 (d, 1 H, J = 2,4 Hz), 6,83 (dd, 1 H, J = 8,8 Hz, J = 2,5 Hz), 6,76 – 6,70 (m, 4 H), 5,17 (s, 2 H), 5,11 (s, 2 H), 3,85 (t, 2 H, J = 5,2 Hz), 3,63 (t, 2 H, J = 5,0 Hz), 2,16 (s, 3 H); MS el m/z 497 (M+).

**Eksempel nr. 46 2-[4-[5-benzyloksy-2-(2,4-dimetyoksyfenyl)-3-metylindol-1-ylmetyl]-fenoksy]-etanol**

Olje; <sup>1</sup>H NMR (DMSO) 7,46 (d, 2 H, J = 7,5 Hz), 7,39 – 7,35 (m, 2 H), 7,31 – 7,28 (m, 1 H), 7,16 - 7,06 (m, 3 H), 6,82 – 6,72 (m, 5 H), 6,68 (d, 1 H, J = 2,2 Hz), 6,61 (dd, 1 H, J = 2,4 Hz, 8,3 Hz), 5,0 (s, 1 H), 4,88 (s, 2 H), 4,85 (d, 1 H, J = 6,3 Hz), 4,69 (d, 1 H, J = 6,3 Hz), 3,63 (t, 2 H, J = 6,9 Hz), 3,58 (s, 3H), 3,46 (s, 3 H), 3,46 (s, 3H), 3,40 (t, 2 H, J = 6,9 Hz), 1,80 (s, 3 H).

**Data for 3-metylindolfenyletylbromider**

**Skjema 11**



**Tabell 4**

	<b>Eksempel nr.</b>	<b>X</b>	<b>Q</b>
25	Nr. 47	H	H
	Nr. 48	OMe	4'-OMe
	Nr. 49	OBN	4'-OEt
	Nr. 50	OBN	4'-OBN
	Nr. 51	OBN	4'-F
30	Nr. 52	OBN	3',4'-OCH <sub>2</sub> O-
	Nr. 52a	OBN	3'-OMe.4'-OBN
	Nr. 53	OBN	4'-O-iPr
	Nr. 54	OBN	4'-OCp
	Nr. 55	OBN	4'-CF <sub>3</sub>
	Nr. 56	OBN	4'-CH <sub>3</sub>
35	Nr. 57	OBN	4'-Cl

**Eksperimentell prosedyre for 3-metylindolfenetyl**bromidsyntese******Metode 5****Illustrert for eksempel nr. 50**

5

**Eksempel nr. 50****5-benzyloksy-2-(4-benzyloksyfenyl)-1-[4-(2-brometoksy)-benzyl-3-metyl-1H-indol**

Til en løsning av eksemkpel nr. 38 (3,3 g, 5,8 mmol) i THF (50 ml) ble det  
 tilsatt CBr<sub>4</sub> (2,9 g, 8,7 mmol) og PPH<sub>3</sub> (2,3 g, 8,7 mmol). Reaksjonen ble omrørt ved  
 10 rt i 3 t. og deretter konsentrert og kromatografert på silika gel ved anvendelse av en  
 gradient eluering fra EtOAc/heksan (1:4) til EtOAc for å tilveiebringe 3,2 g av hvitt  
 faststoff; Smp = 131 - 134°C; <sup>1</sup>H NMR (DMSO) 7,64 – 7,30 (m, 10 H), 7,29 (d, 2 H,  
 J = 8,8 Hz), 7,20 (d, 1 H, J = 8,8 Hz), 7,12 – 7,09 (m, 3 H), 6,80 (dd, 1 H, J = 8,8,  
 2,4 Hz), 6,77 – 6,73 (m, 4 H), 5,16 (s, 2 H), 5,13 (s, 2 H), 5,11 (s, 2 H), 4,20 (5, 2  
 15 H, J = 5,3 Hz), 3,73 (t, 2 H, J = 5,5 Hz), 2,15 (s, 3 H); MS FAB 631/633 (M+H<sup>+</sup>, Br til  
 stede).

**Fysiske data for indolfenetyl**bromider****

Følgende forbindelser ble fremstilt ifølge skjema 11 som beskrevet i metode 5  
 20 ved anvendelse av hensiktsmessig substituert indol valgt fra nr. 35 – nr. 45.

**Eksempel nr. 47 1-[4-(2-brometoksy)-benzyl]-2-fenyl-3-metyl-1H-indol**

Olje; <sup>1</sup>H NMR (DMSO) 7,57 – 7,32 (m, 7 H), 7,13 – 7,02 (m, 2 H), 6,74 (s, 4 H),  
 5,21 (s, 2 H), 4,19 (t, 2 H, J = 5,2 Hz), 3,71 (t, 2 H, J = 5,5 Hz), 2,20 (s, 3 H); MS el  
 25 m/z 419 (M+).

**Eksempel nr. 48 5-metoksy-2-(4-metoksyfenyl)-1-[4-(2-brometoksy)-benzyl]-3-metyl-1H-indol**

Olje; <sup>1</sup>H NMR (DMSO) 7,27 (d, 2 H, J = 8,8 Hz), 7,17 (d, 1 H, J = 8,8 Hz), 7,03 (3,  
 30 2 H, J = 8,6 Hz), 6,99 (d, 1 H, J = 2,5 Hz), 6,80 – 6,69 (m, 5 H), 5,14 (s, 2 H), 4,19  
 (t, 2 H, J = 5,4 Hz), 3,78 (s, 3 H), 3,76 (s, 3 H), 3,72 (t, 2 H, J = 5,5 Hz), 2,16 (s, 3  
 H); MS el m/z 479 (M+).

**Eksempel nr. 49 5-benzyloksy-2-(4-etoksyfenyl)-1-[4-(2-brometoksy)-benzyl]-3-metyl-1H-indol**

Smp = 118 - 120°C;  $^1\text{H}$  NMR (DMSO) 7,45 (d, 2 H, J = 7,3 Hz), 7,41 – 7,26 (m, 5 H), 7,17 (d, 1 H, J = 8,8 Hz), 7,11 (d, 1 H, J = 2,2 Hz), 7,01 (d, 2 H, J = 6,8 Hz), 6,78 (dd, 1 H, J = 8,8 Hz, J = 2,4 Hz), 6,78 – 6,74 (m, 4 H), 5,15 (s, 2 H), 5,19 (s, 2 H), 4,22 – 4,18 (m, 2 H), 4,04 (q, 2 H, J = 6,8 Hz), 3,72 (t, 2 H, J = 5,5 Hz), 2,14 (s, 3 H), 1,33 (t, 3 H, J = 7,0 Hz), MS el m/z 669 (M+).

**Eksempel nr. 51 5-benzyloksy-1-[4-(2-brometoksy)-benzyl]-2-(4-fluorfenyl)-3-metyl-1H-indol**

Smp = 114 – 116°C;  $^1\text{H}$  NMR (DMSO) 7,47 (m, 2 H), 7,45 – 7,20 (m, 8 H), 7,14 (d, 1 H, J = 2,4 Hz), 6,83 (dd, 1 H, J = 2,7 Hz, 9,0 Hz), 6,80 – 6,70 (m, 4 H), 5,16 (s, 2 H), 5,11 (s, 2 H), 4,19 (t, 2 H, J = 5,27 Hz), 3,72 (t, 2 H, J = 6,4 Hz), 2,15 (s, 3 H); MS el m/z 543 (M+); CHN beregnet for C<sub>31</sub>H<sub>27</sub>BrFNO<sub>2</sub>.

**Eksempel nr. 52 2-benzyl[1,3]dioksyl-5-yl-5-benzyloksy-1-[4-(2-brometoksy)-benzyl]-3-metyl-1H-indol**

Smp = 133 - 136°C;  $^1\text{H}$  NMR (DMSO) 7,45 (d, 2 H, J = 7,0 Hz), 7,41 – 7,38 (m, 2 H), 7,35 – 7,30 (m, 1 H), 7,19 (d, 1 H, J = 8,8 Hz), 7,11 (d, 1 H, J = 2,2 Hz), 7,00 (d, 1 H, J = 7,9 Hz), 6,90 (d, 1 H, 1,4 Hz), 6,82 – 6,78 (m, 2 H), 6,77 (s, 4 H), 6,07 (s, 2 H), 5,16 (s, 2 H), 5,10 (s, 2 H), 4,20 (t, 2 H, J = 5,5 Hz), 3,73 (s, 2 H, J = 5,2 Hz), 2,15 (s, 3 H); MS el m/z 569 (M+).

**Eksempel nr. 52a 5-benzyloksy-1-[4-(2-brometoksy)-benzyl]-2-(3-metoksy-4-benzyloksyfenyl)-3-metyl-1H-indol**

Skum;  $^1\text{H}$  NMR (DMSO) 7,47 – 7,42 (m, 4 H), 7,40 – 7,30 (m, 6 H), 7,20 (d, 1 H, J = 8,8 Hz), 7,12 – 7,10 (m, 2 H), 6,86 – 6,84 (m, 2 H), 6,81 (dd, 1 H, J = 8,8 Hz, 2,4 Hz), 6,78 (s, 4 H), 5,17 (s, 2 H), 5,11 (s, 2 H), 5,10 (s, 2 H), 4,20 (t, 2 H, J = 5,0 Hz), 3,72 (t, 2 H, J = 5,4 Hz), 3,63 (s, 3 H), 2,17 (s, 3 H); MS FAB m/z 662 (M+H+).

**Eksempel nr. 53 5-benzyloksy-1-[4-(2-brometoksy)-benzyl]-2-(4-isopropoksifenvyl)-3-metyl-1H-indol**

Smp = 125 - 128°C;  $^1\text{H}$  NMR (DMSO) 7,46 (d, 2 H, J = 7,7 Hz), 7,42 – 7,28 (m, 3

H), 7,25 (d, 2 H, J = 8,7 Hz), 7,17 (d, 1 H, J = 8,7 Hz), 7,11 (d, 1 H, J = 2,4 Hz),

5 6,99 (d, 2 H, J = 8,6 Hz), 6,79 (dd, 1 H, J = 2,4 Hz, 8,8 Hz), 6,73 (s, 4 H), 5,14 (s, 2 H), 5,10 (s, 2 H), 4,70 – 4,60 (m, 1 H), 4,19 (t, 2 H, J = 53, Hz), 3,72 (t, 2 H, J = 4,4 Hz), 2,13 (s, 3 H), 1,30 (d, 6 H, J = 5,9 Hz); MS el m/z 583 (M+).

**Eksempel nr. 54 5-benzyloksy-1-[4-(2-brometoksy)-benzyl]-2-(4-cyklopentyloksifenvyl)-3-metyl-1H-indol**

10 Smp = 110 – 112°C; 7,47 (d, 2 H, J = 7,0 Hz), 7,38 (t, 2 H, J = 7,0 Hz), 7,35 – 7,28

(m, 1 H), 7,25 (d, 2 H, J = 8,8 Hz), 7,18 (d, 1 H, J = 8,8 Hz), 7,11 (d, 1 H, J = 2,4

Hz), 6,98 (d, 2 H, J = 8,6 Hz), 6,79 (dd, 1 H, J = 8,6 Hz, 2,4 Hz), 6,78 – 6,74 (m, 4

H), 5,16 (s, 2 H), 5,11 (s, 2 H), 4,86 – 4,83 (m, 1 H), 4,20 (t, 2 H, J = 5,3 Hz), 3,73

15 (t, 2 H, J = 5,5 Hz), 2,15 (s, 3 H), 2,00 – 1,87 (m, 2 H), 1,79 – 1,65 (m, 4H), 1,63 –  
1,56 (m, 2 H); IR (KBr) 2950, 2910, 1610 cm-1; MS el m/z 609, 611 (M+, Br til  
stede).

**Eksempel nr. 55 5-benzyloksy-1-[4-(2-brometoksy)-benzyl]-3-metyl-2-(4-trifluormetylfenyl)-1H-indol**

20 Smp = 106 - 109°C;  $^1\text{H}$  NMR (DMSO) 7,83 (d, 2 H, J = 8,1 Hz), 7,60 (d, 2 H, J =

7,9 Hz), 7,35 – 7,29 (m, 2 H), 7,48 (d, 2 H, J = 8,6 Hz), 7,39 (t, 2 H, J = 7,0 Hz),

7,18 (d, 1 H, J = 2,2 Hz), 6,87 (dd, 1 H, J = 9,0 Hz), 2,6 Hz), 6,77 – 6,71 (m, 4 H),

5,22 (s, 2 H), 5,12 (s, 2 H), 4,20 (t, 2 H, J = 5,3 Hz), 3,72 (t, 2 H, J = 5,3 Hz), 2,20

25 (s, 3 H); IR (KBr) 2910, 2850, 1620 cm-1; MS el m/z 594. 593 (M+).

**Eksempel nr. 56 5-benzyloksy-1-[4-(2-brometoksy)-benzyl]-3-metyl-2-(4-metylfenyl)-1H-indol**

Smp = 82 - 95°C;  $^1\text{H}$  NMR (DMSO) 7,46 (d, 2 H, J = 7,2 Hz), 7,45 – 7,18 (m, 8 H),

30 7,12 (d, 1 H, J = 2,4 Hz), 6,81 (dd, 1 H, J = 2,4 Hz, 8,6 Hz), 6,73 (s, 4 H), 5,15 (s, 2 H), 5,10 (s, 2 H), 4,19 (t, 2 H, J = 5,3 Hz), 3,72 (t, 2 H, J = 4,4 Hz), 2,34 (s, 3 H),

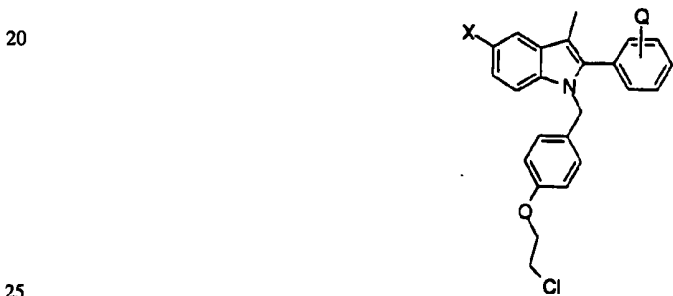
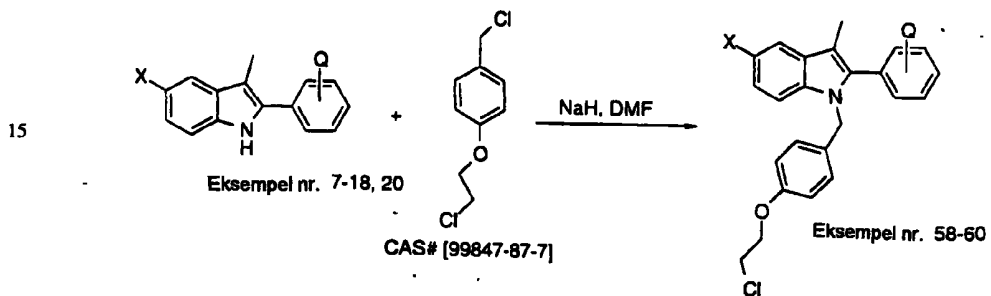
215 (s, 3 H); MS el m/z 539 (M+).

**Eksempel nr. 57 5-benzyloksy-1-[4-(2-brometoksy)-benzyl]-3-metyl-2-(4-klorbenyl)-1H-indol**

<sup>1</sup>H NMR (DMSO) 7,52 (d, 2 H, J = 8,6 Hz), 7,46 (d, 2 H, J = 6,8 Hz), 7,38 (m, 4 H),  
 7,36 (m, 1 H), 7,25 (d, 1 H, J = 9,0 Hz), 7,14 (d, 1 H, J = 2,4 Hz), 6,83 (dd, 1 H, J =  
 8,8 Hz, J = 2,5 Hz), 6,72 (m, 4 H), 5,17 (s, 2 H), 5,11 (s, 2 H), 4,19 (t, 2 H, J = 5,5  
 Hz), 3,72 (t, 2 H, J = 5,5 Hz), 2,16 (s, 3 H); MS el m/z 559 (M+).

**Data for noen 3-metylindolfenyletylklorider anvendt som mellomprodukter**

10 **Skjema 12**



**Tabell 5**

30	Eksempel nr.	X	Q
Nr. 58	OBn		3'-OBn
Nr. 59	OBn		3'-F, 4'-OBn
Nr. 60	OBn		4'-OCF <sub>3</sub>

## **Eksperimentell prosedyre for 3-metylindolfentehikloridsysntese**

### **Metode 5a**

#### **Illustrert for eksempel nr. 58**

##### **5-benzyloksy-2-(3-benzyloksyfenyl)-1-[4-(2-kloretoksy)-benzyl]-3-metyl-1H-indol**

5 Til en løsning av 0,7 g (0,0231 mol) 5-benzyloksyk-3-metyl-2-(3-benzyloksyfenyl)-1H-indol (indol eksempel nr. 17) i 80 ml tørr DMF ble det tilslatt 0,85 g natriumhydrid (60% i mineralolje). Etter å la denne blandingen bli omrørt i 30 minutter (helt til det ikke var noen gjenværende bobling), ble 4,8 g 1-klormetyl-4-(2-kloretoksy)-benzen CAS nr. [9847-87-7] tilslatt. Reaksjonsblandingen ble omsatt ved romtemperatur over natt. 200 ml etylacetat ble tilslatt til reaksjonsblandingene og deretter vasket med vann (3 x 100 ml). Den organiske løsningen ble samlet, vasket med mettet saltvann, fjernet, tørket over magnesiumsulfat, filtrert og avdampet til tørrhet i en roterende fordampningsinnretning. Produktet ble omkristallisert i etylacetat.

10 15 Smp = 125 - 127°C;  $^1\text{H}$  NMR (DMSO) 7,48 – 7,46 /d, 2 H, J = 6,8 Hz), 7,40 – 7,35 (m, 7 H), 7,33 – 7,28 (m, 2 H), 7,23 – 7,21 (d, 1 H, J = 8,8 Hz), 7,13 – 7,12 (d, 1 H, J = 2,2 Hz), 7,07 – 7,04 (m, 1 H), 6,94 – 6,92 (d, 2 H, J = 6,1 Hz), 6,83 – 6,80 (dd, 1 H, J = 2,5 Hz), 6,78 – 6,72 (m, 4 H), 5,14 (s, 2 H), 5,11 (t, 2 H, J = 5,1 Hz), 2,14 (s, 3 H); IR 3420, 2900  $\text{cm}^{-1}$ ; MS el m/z (M+); CHN beregnet for  $\text{C}_{38}\text{H}_{34}\text{ClNO}_3$ .

20

#### **Fysiske data for indolenetylklorider**

Følgende forbindelser ble fremstilt ifølge skjema 12 som beskrevet i metode 5a ved anvendelse av hensiktsmessige substituerte indoler nr. 18, nr. 20.

25

#### **Eksempel nr. 59 5-benzyloksy-2-(4-benzyloksy-3-fluorfenyl)-1-[4-(2-kloretoksy)-benzyl]-3-metyl-1H-Indol**

Smp = 88 - 91°C;  $^1\text{H}$  NMR (DMSO) 7,49 – 7,43 (m, 4 H), 7,43 – 7,28 (m, 7 H), 7,26 – 7,21 (m, 2 H), 7,13 – 7,09 (m, 2 H), 6,88 – 6,72 (m, 5 H), 5,21 (s, 2 H), 5,18 (s, 2 H), 5,11 (s, 2 H), 4,13 (t, 2 H, J = 5,2 Hz), 3,87 (t, 2 H, J = 5,2 Hz), 2,16 (s, 3 H); MS el m/Z 605 (M+); CHN beregnet for  $\text{C}_{38}\text{H}_{33}\text{ClFNO}_3$ .

**Eksempel nr. 60 5-benzyloksy-1-[4-(2-kloretoksy)-benzyl]-3-metyl-2-(4-trifluormetyoksyfenyl)-1H-Indol**

Smp = 108 - 110°C;  $^1\text{H}$  NMR (DMSO) 7,49 – 7,48 (m, 6 H), 7,40 – 7,25 (m, 4 H),

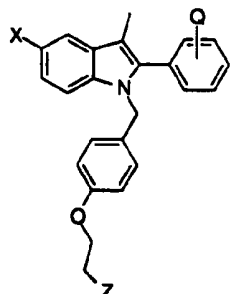
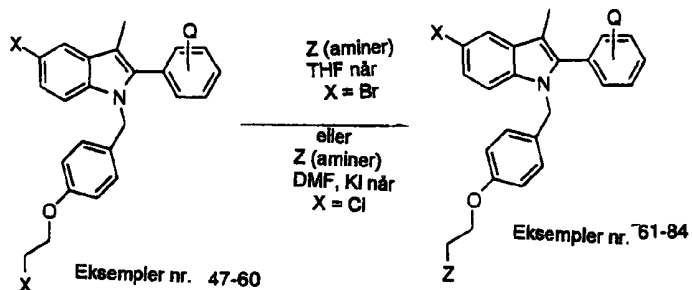
5 7,17 – 7,16 (d, 1 H, J = 2,9 Hz), 6,88 – 6,84 (m, 1 H), 6,77 – 6,72 (m, 4 H), 5,20 (s, 2 H), 5,14 – 5,13 (d, 2 H, J = 2,3 Hz), 4,16 – 4,11 (m, 2 H), 3,89 – 3,84 (m, 2 H), 2,19 – 2,17 (m, 3 H); IR 3400, 2900, 1600  $\text{cm}^{-1}$ ; MS el m/z 566 (M+); CHN beregnet for  $\text{C}_{32}\text{H}_{27}\text{ClF}_3\text{NO}_3 + 0,25 \text{ H}_2\text{O}$ .

10

**Aminoetyoksyindoler**

**Skjema 13**

15

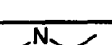
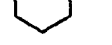
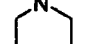
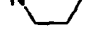
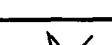


**Tabell 6**

	Eksempel nr.	X	Ω	Z
5	Nr. 61	OBn	4'-OEt	
10	Nr. 62	OBn	H	
15	- Nr. 63	OBn	4'-OBn	
20	Nr. 64	OBn	4'-OBn	
25	Nr. 65	OBn	4'-OBn	

**Tabell 6 fortsettelse**

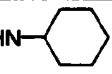
5

	Eksempel nr.	X	Q	Z
10	Nr. 66	OBn	4'-OBn	
15	Nr. 66a	OBn	4'-OBn	
20	Nr. 67	OBn	4'-OBn	
25	Nr. 68	OBn	4'-OBn	
	Nr. 69	OBn	4'-OBn	
	Nr. 70	OBn	4'-OBn	
	Nr. 71	OBn	4'-OBn	
	Nr. 71a	OBn	4'-OBn	
	Nr. 72	OBn	4'-F	

Tabell 6 fortsettelse

	Eksempel nr.	X	Q	Z
5	Nr. 72a	OBn	4'-F	
10	Nr. 72b	OBn	4'-Cl	
15	Nr. 73	OBn	3',4'-OCH <sub>2</sub> O-	
20	Nr. 74	OBn	4'-O-iPr	
25	Nr. 75	OBn	4'-CH <sub>3</sub>	
	Nr. 76	OBn	3'-OBn	
	Nr. 77	OBn	3'-OBn	
	Nr. 78	OBn	4'-OBn,3'-F	
	Nr. 79	OBn	4'-OBn,3'-F	

**Tabell 6 fortsettelse**

Eksempel nr.	X	Q	Z
5	Nr. 80 OBn	3'-OMe	
10	] Nr. 81 OBn	4'-OCF <sub>3</sub>	
15	Nr. 82 OBn	4'-OBn	
	Nr. 83 OBn	4'-OBn	
	Nr. 84 OBn	3'-OMe	

**Eksperimentell prosedyre for 3-metylaminocetoksyindolsyntese****Metode 6****Illustrert for eksempel nr. 63****substitusjon av bromid****5-(benzyløksy-2-(4-benzyløksyfenyl)-3-metyl-1-[4-(2-piperidin-1-yl-etyoksy)-benzyl]-1H-indol**

En løsning ifølge eksempel nr. 50 (3,2 g, 5,0 mmol) i THF (50 ml) ble behandlet med piperidin (5,0 ml, 50 mmol) og oppvarmet til tilbakeløp. Etter 5 timer ble reaksjonsblandingen konsentrert og tatt opp i EtOAc, vasket med mettet NaHCO<sub>3</sub>, tørket over MgSO<sub>4</sub>, og kolonnen ble kromatografert på silika gel ved anvendelse av en gradienteluering med EtOAc/heksan til EtOAc. Produktet (2,7 g) var et hvitt faststoff med en Smp = 93 - 95°C; <sup>1</sup>H NMR (DMSO) 7,48 – 7,46 (m, 4 H), 7,42 – 7,38 (m, 4 H), 7,38 – 7,32 (m, 2 H), 7,29 (d, 2 H, J = 8,8 Hz), 7,19 (d, 1 H, J = 9,0 Hz) 7,12 – 7,10 (m, 3 H), 6,80 (dd, 1 H, J = 8,8, 2,4 Hz), 6,73 (s, 4 H), 5,15 (s, 2 H), 5,13 (s, 2 H), 5,11 (s, 2 H), 3,93 (t, 2 H, J = 5,7 Hz), 2,60 – 3,50 (m, 2 H), 2,41 – 2,30 (m, 4 H), 2,15 (s, 3 H), 1,47 – 1,43 (m, 4 H), 1,36 – 1,32 (m, 2 H); MS FAB 637 (M+H<sup>+</sup>).

**Alternativ prosedyre****Metode 6a****substitusjon av klorider****syntese illustrert for produkt nr. 76**

5

**Eksempel nr. 76 5-benzyloksy-2-(3-benzyloksyfenyl)-3-metyl-1-[4-(2-piperidin-1-yletoksy)-benzyl]-1H-indol**

Til en løsning av 1,1 g (0,00953 mol) 5-benzyloksy-2-(3-benzyloksyfenyl)-1-[4-(2-kloretoksy)-benzyl]-3-metyl-1H-indol (eksekmpel nr. 58 i 10 ml DMF ble det tilsatt

10 1,1 ml (0,0112 mol) piperidin og 0,93 g (00561 mol) kaliumjodid. Reaksjonsblandingen ble oppvarmet til -40-50°C i 4 timer. Etter avkjøling av reaksjonsblanding til romtemperatur ble 150ml etylacetat tilsatt, og blandingen ble vasket med vann (3 x 100 ml). Den organiske løsningen ble samlet, vasket med mettet saltvann, fjernet, tørket over magnesiumsulfat, filtrert og avdampet for å tilveiebringe 1,0 g av produktet etter renningen.

15 Smp = 125 - 126°C;  $^1\text{H}$  NMR (DMSO) 7,48 – 7,45 (d, 2 H, J = 7,2 Hz), 7,41 – 7,35 (m, 7 H), 7,33 – 7,28 (m, 2 H), 7,23 – 7,21 (d, 1 H, J = 9,0 Hz), 7,13 – 7,12 (d, 1 H, J = 2,4 Hz), 7,06 – 7,03 (m, 1 H), 6,95 – 6,91 (m, 2 H), 6,83 – 6,89 (dd, 1 H, J = 2,4 Hz, J = 6,3 Hz), 6,75 – 6,70 (m, 4 H), 5,13 (s, 2 H), 5,11 (s, 2 H), 5,02 (s, 2 H),  
20 3,93 – 3,90 (t, 2 H, J = 6,0 Hz), 2,56 – 2,53 (t, 2 H, J = 5,9 Hz), 2,49 – 2,48 (m, 4 H), 2,14 (s, 3 H), 1,46 – 1,40 (m, 4 H), 1,35 – 1,31 (m, 2 H); IR (KBr) 3400, 2900  
cm<sup>-1</sup>; MS el m/z 636 (M+); CHN beregnet for C<sub>43</sub>H<sub>34</sub>N<sub>2</sub>O<sub>3</sub> + 0,25 H<sub>2</sub>O.

25

**Fysiske data for aminsubstituerte forbindelser**

Følgende forbindelser ble fremstilt ifølge skjema 13 ved anvendelse av metode 6. Med unntakelse av nr. 76 – nr. 84 som var blitt fremstilt ved anvendelse av metode 6a.

**Eksempel nr. 61 5-benzyloksy-2-(4-etoksyfenyl)-3-metyl-1-[4-(2-piperidin-1-yletoksy)-hensyl]-1H-indol**

Smp = 188 - 191°C;  $^1\text{H}$  NMR (DMSO) 7,45 (d, 2 H, J = 7,3 Hz), 7,40 – 7,25 (m, 5 H), 7,17 (d, 1 H, J = 8,8 Hz), 7,11 (d, 1 H, J = 2,2 Hz), 7,01 (d, (2 H, J = 6,8 Hz), 5 6,78 (dd, 1 H, J = 8,8 Hz, J = 2,4 Hz), 6,73 (s, 4 H), 5,15 (s, 2 H), 5,10 (s, 2 H), 4,05 (q, 2 H, J = 6,8 Hz), 3,93 (t, 2 H, J = 6,0 Hz), 2,55 (t, 2 H, J = 5,7 Hz), 2,41 – 2,35 (m, 4 H), 2,14 (s, 3 H), 1,46 – 1,40 (m, 4 H), 1,38 – 1,30 (m, 5 H); MS el m/z 574 (M $^+$ ).

10 **Ekskempel nr. 62 5-benzyloksy-2-fenyl-3-metyl-1-[4-(2-azepan-1-yletoksy)-benzyl]-1H-indol**

Olje;  $^1\text{H}$  NMR (DMSO) 7,50 – 7,43 (m, 4 H), 7,42 – 7,37 (m, 5H(, 7,33 – 7,30 (m, 1 H), 7,22 (d, 1 H, J = 8,8 Hz), 7,14 (d, 1 H, J = 2,4 Hz), 6,81 (d, 1 H, J = 6,6 Hz), 6,72 (s, 4 H), 5,18 (s, 2 H), 5,11 (s, 2 H), 3,90 (t, 2 H, J = 6,1 Hz), 2,81 – 2,75 (m, 2 H), 2,68 – 2,59 (m, 4 H), 2,16 (s, 3 H), 1,58 – 1,43 (m, 8H); MS el m/z 544 (M $^+$ ).

**Eksempel nr. 64 5-benzyloksy-2-(4-benzyloksyfenyl)-3-metyl-1-[4-(2-azepan-1-yletoksy)-benzyl]-1H-indol**

Smp = 106 - 107°C;  $^1\text{H}$  NMR (DMSO) 7,47 (d, 4 H, J = 8,3 Hz), 7,41 – 7,36 (m, 4 H), 7,36 – 7,30 (m, 2 H), 7,29 (d, 2 H, J = 8,8 Hz), 7,19 (d, 1 H, J = 8,8 Hz), 7,14 – 7,10 (m, 3 H), 6,80 (dd, 1 H, J = 8,8 Hz), 6,73 (s, 4 H), 5,15 (s, 2 H), 5,13 (s, 2 H), 5,11 (s, 2 H), 3,90 (t, 2 H, J = 5,9 Hz), 2,76 (t, 2 H, J = 5,9 Hz), 2,64 – 2,56 (m, 4 H), 2,15 (s, 3 H), 1,58 – 1,44 (m, 8 H); MS FAB m/z 561 (M $+H^+$ ).

25 **Eksempel nr. 65 5-benzyloksy-2-(4-benzyloksyfenyl)-3-metyl-1-[4-(2-diisopropylamino-1-yletoksy)-benzyl]-1H-indol**

Smp = 148 - 150°C;  $^1\text{H}$  NMR (DMSO) 7,47 (d, 4 H, J = 8,3 Hz), 7,36 (m, 4 H), 7,36 – 7,32 (m, 2 H), 7,28 (d, 2 H, J = 8,8 Hz), 7,19 (d, 1 H, J = 9,0 Hz), 7,13 – 7,08 (m, 3 H), 6,80 (dd, 1 H, J = 8,8 Hz, 2,4 Hz), 6,76 – 6,68 (m, 4 H), 5,14 (s, 2 H), 5,13 (s, 2 H), 5,11 (s, 2 H), 3,75 (t, 2 H, J = 7,9 Hz), 2,95 (m, 2 H), 2,67 (t, 2H, J = 7,0 Hz), 2,15 (s, 3 H), 0,93 (d, 12 H, J = 6,4 Hz); MS FAB m/z 563 (M $+H^+$ ).

**Eksempek尔 nr. 66 5-benzyloksy-2-(4-benzyloksyfenyl)-3-metyl-1-[4-(2-butylimethylamino-1-yletoksy)-benzyl]-1H-indol**

Smp = 101 - 104°C;  $^1\text{H}$  NMR (DMSO) 7,45 (d, 4 H,  $J$  = 7,5 Hz), 7,40 – 7,25 (m, 8

H), 7,19 (d, 1 H,  $J$  = 8,8 Hz), 7,12 – 7,08 (m, 3 H); 6,80 (dd, 1 H,  $J$  0 6,5 Hz,  $J$  = 2,4

5 Hz), 6,72 (s, 4 H), 5,14 (s, 2 H), 5,13 (s, 2 H), 5,10 (s, 2 H), 3,91 (t, 2 H,  $J$  = 5,9

Hz), 2,64 – 1,59 (m, 2 H), 2,35 – 2,29 (m, 2 H), 2,17 (s, 3 H), 2,14 (s, 3 H), 1,40 –

1,31 (m, 2 H), 1,25 – 1,19 (m, 2 H), 0,83 (t, 3 H, 7,2 Hz); MS ei m/z 638 (M $^+$ ).

**Eksempek尔 nr. 66a 5-benzyloksy-2-(4-benzyloksyfenyl)-3-metyl-1-[4-**

**dimethylamino)-etoksy]-benzyl]-1H-indol**

Smp = 123 - 124°

**Eksempek尔 nr. 67 5-benzyloksy-2-(4-benzyloksyfenyl)-3-metyl-1-[4-[2-(2-**

**metyl(piperidin-1-yl)-etoksy]-benzyl]-1H-indol**

Smp = 121°C

**Eksempek尔 nr. 68 5-benzyloksy-2-(4-benzyloksyfenyl)-3-metyl-1-[4-[2-(3-**

**metyl(piperidin-1-yl)-etoksy]-benzyl]-1H-indol**

Smp = 90°C

20

**Eksempek尔 nr. 68 5-benzyloksy-2-(4-benzyloksyfenyl)-3-metyl-1-[4-[2-(4-**

**metyl(piperidin-1-yl)-etoksy]-benzyl]-1H-indol**

Smp = 98°C;  $^1\text{H}$  NMR (DMSO) 7,46 (d, 4 H,  $J$  = 7,2 Hz), 7,42 – 7,36 (m, 4 H), 7,36

– 7,31 (m, 2 H), 7,28 (d, 2 H,  $J$  = 8,6 Hz), 7,19 (d, 1 H,  $J$  = 9,9 Hz), 7,12 – 7,10 (m,

25 3 H), 6,80 (dd, 1 H,  $J$  = 8,8 Hz), 6,73 (s, 4 H), 5,15 (s, 2 H), 5,13 (s, 2 H), 5,11 (s,

2 H), 3,93 (t, 2 H,  $J$  = 5,9 Hz), 2,85 – 2,78 (m, 2 H), 2,62 – 2,56 (m, 2 H), 2,15 (s, 3

H), 1,97 – 1,87 (m, 2 H), 1,55 – 1,47 (m, 2 H), 1,30 – 1,20 (m, 1 H), 1,15 – 1,02

(m, 2 H), 0,85 (d, 3 H,  $J$  = 6,6 Hz); MS esl m/z 651 8M $^+$ I $^+$ .

**Eksempel nr. 70 5-benzyloksy-2-(4-benzyloksyfenyl)-3-metyl-1-[4-[2-((cis)-2,6-dimetylpiridin-1-yl)-etoksy]benzyl]-1H-indol**

Smp = 106 - 107°C;  $^1\text{H}$  NMR (DMSO) 7,46 (d, 4 H, J = 8,1 Hz), 7,42 – 7,36 (m, 4 H), 7,37 – 7,31 (m, 2 H), 7,29 (d, 2 H, J = 8,8 Hz), 7,18 (d, 1 H, J = 8,8 Hz), 7,14 – 7,09 (m, 3 H), 6,80 (dd, 1 H, J = 8,8 Hz, 2,4 Hz), 6,72 (s, 4 H), 5,14 (s, 2 H), 5,13 (s, 2 H), 5,11 (s, 2 H), 3,84 (t, 2 H, J = 7,0 Hz), 2,84 (t, 2 H, J = 6,6 Hz), 2,44 – 2,37 (m, 2 H), 2,15 (s, 3 H), 1,60 – 1,43 (m, 3 H), 1,32 – 1,18 (m, 1 H), 1,16 – 1,06 (m, 2 H), 1,01 (d, 6 H, J = 6,2 Hz).

**Eksempel 71 5-benzyloksy-2-(4-benzyloksyfenyl)-3-metyl-[4-[2-(1,3,3-trimetyl-6-azabicyklo[3,2,1]okt-6-yl)-etoksy]benzyl]-1H-indol**

Smp = 107°C; MS ESI m/z 705 (M+I)+

**Eksempel nr. 71a (1S,4F)-5-benzyloksy-2-(4-benzyloksyfenyl)-3-metyl-[4-[2-(2-azabikcyklo[2,2,1]hept-2-yl)-etoksy]benzyl]-1H-indol**

(1S,2R)-2-azabicykl[2,2,1]heptan anvendt for å substituere bromid, ble fremstilt ifølge fremgangsmåten beskrevet i Syn. Comm. 26/3), 577-584 (1996).

Smp = 95 - 100°C;  $^1\text{H}$  NMR (DMSO) 7,32 – 6,55 (m, 21 H), 5,10 – 4,90 (m, 6 H), 3,69 (t, 2 H, J ? 5,9 Hz), 2,65 – 2,5 (m, 3 H), 2,10 (s, 2 H), 2,0(s, 3 H), 1,50 – 1,0 (m, 7 H),

**Eksempel nr. 72 5-benzyloksy-2-(4-fluorfenyl)-3-metyl-1-[4-(2-azepan-1-yletoksy)benzyl]-1H-indol**

Olje;  $^1\text{H}$  NMR (DMSO) 7,50 – 7,43 (m, 2 H), 7,42 – 7,33 (m, 4 H), 7,32 – 7,20 (m, 4 H), 7,13 (d, 1 H, J = 2,4 Hz), 6,83 (dd, 1 H, J = 2,4 Hz, 6,7 Hz), 6,71 (s, 4 H), 5,14 (s, 2 H), 5,11 (s, 2 H), 3,89 (t, 2 H, J = 5,9 Hz), 3,20 (m, 4 H), 2,74 (t, 2 H, J = 6,0 Hz), 2,15 (s, 3 H), 1,60 – 1,40 (m, 8 H); MS el m/z 562 (M+).

**Eksempel nr. 72a 5-benzyloksy-2-(4-fluorfenyl)-3-metyl-1-[4-(2-piperIdin-1-yletoksy)benzyl]-1H-indol**

Olje;  $^1\text{H}$  NMR (DMSO) 7,32 – 6,53 (m, 16 H), 5,00 (s, 2 H), 4,96 (s, 2 H), 3,77 (t, 2 H, J = 5,8 Hz), 3,22 – 3,14 (m, 4 H), 2,40 (t, 2 H, J = 5,8 Hz), 2,0 (s, 3 H), 1,29 – 1,17 (m, 6 H).

**Eksempel nr. 72 b 5-benzyloksy-2-(4-klorfenyl)-3-metyl-1-[4-(2-piperidin-1-yletoksy)-benzyl]-1H-indol**

Olje;  $^1\text{H}$  NMR (DMSO) 7,52 (m, 2 H, J = 8,6 Hz), 7,46 (d, 2 H, J = 6,8 Hz), 7,41 – 7,37 (m, 4 H), 7,35 – 7,29 (m, 1 H), 7,25 (d, 1 H, J = 9,0 Hz), 7,14 (d, 1 H, J = 2,4 Hz), 6,83 (/dd, 1 H, J = 8,8 Hz, 2,5 Hz), 6,72 – 6,65 (m, 4 H), 5,16 (s, 2 H), 5,11 (s, 2 H), 3,90 (s, 2 H, J = 5,9 Hz), 2,55 (t, 2 H, J = 6,0 Hz), 2,41 – 2,26 (m, 4 H), 2,16 (s, 3 H), 1,44 – 1,39 (m, 4 H), 1,38 – 1,29 (m, 2 H); MS el m/z 564 (M+).

**Eksempel nr. 73 5-benzyloksy-2-[3,4-metylendioksyfenyl]-3-metyl-1-[4-(2-piperidin-1-yletoksy)-benzyl]-1H-indol**

Skum;  $^1\text{H}$  NMR (DMSO) 7,45 (d, 2 H, J = 7,9 Hz), 7,41 – 7,37 (m, 2 H), 7,33 – 7,29 (m, 1 H), 7,19 (d, 1 H, J = 8,8 Hz), 7,11 (d, 1 H, J = 2,2 Hz), 7,00 (d, 1 H, J = 7,9 Hz), 6,90 (d, 1 H, 1,4 Hz), 6,82 – 6,78 (m, 2 H), 6,74 (s, 4 H), 6,07 (s, 2 H), 5,16 (s, 2 H), 5,10 (s, 2 H), 3,93 (s, 2 H, J = 76,0 Hz), 2,56 (t, 2 H, J = 6,0 Hz), 2,41 – 2,35 (m, 4 H), 2,15 (s, 3 H), 1,48 – 1,41 (m, 4 H), 1,38 – 1,28 (m, 2 H); MS el m/z 574 (M+).

**Eksempel nr. 74 5-benzyloksy-2-[4-isopropoksyfenyl]-3-metyl-1-[4-(2-piperidin-1-yletoksy)-benzyl]-1H-indol**

Skum;  $^1\text{H}$  NMR (DMSO) 7,46 (d, 2 H, J = 7,7 Hz), 7,42 – 7,28 (m, 3 H), 7,25 (d, 2 H, J = 8,7 Hz), 7,17 (d, 1 H, J = 8,7 Hz), 7,11 (d, 1 H, J = 2,4 Hz), 6,99 (d, 2 H, J = 8,6 Hz), 6,79 (dd, 1 H, J = 2,4 Hz, 8,8 Hz), 6,73 (s, 4 H), 5,14 (s, 2 H), 5,10 (s, 2 H), 4,70 – 4,60 (m, 1 H), 3,92 (t, 2 H, J = 5,7 Hz), 2,55 (t, 2 H, 5,7 Hz), 2,40 – 2,30 (bs, 4 H), 2,15 (s, 3 H), 1,50 – 1,40 (m, 4 H), 1,40 – 1,30 (m, 2 H), 1,28 (d, 6 H, J = 6,2 Hz); MS el m/z 588 (M+).

**Eksempel nr. 75 5-benzyloksy-2-[4-metylfenyl]-3-metyl-1-[4-(2-piperidin-1-yletoksy)-benzyl]-1H-indol**

Olje;  $^1\text{H}$  NMR (DMSO) 7,46 (d, 2 H, J = 7,2 Hz), 7,45 – 7,18 (m, 8 H), 7,12 (d, 1 H, J = 2,4 Hz), 6,81 (dd, 1 H, J = 2,4 Hz, 8,6 Hz), 6,73 (s, 4 H), 5,15 (s, 2 H), 5,10 (s, 2 H), 3,92 (t, 2 H, J = 5,9 Hz), 2,55 (t, 2 H, J = 5,9 Hz), 2,45 – 2,30 (, 7 H), 2,10 (s, 3 H), 1,50 – 1,40 (m, 4 H), 1,48 – 1,35 (m, 2 H); MS el m/z 544 (M+).

**Eksempel nr. 77 1-[4-(2-azepan-1-yletoksy)-benzyl]-5-benzyloksy-2-(3-benzyloksyfenyl)-3-metyl-1H-Indol**

Smp = 103 - 105°C;  $^1\text{H}$  NMR (DMSO) 7,47 – 7,45 (d, 2 H, J = 8,1 Hz), 7,41 – 7,35  
 5 (m, 7 H), 7,32 – 7,29 (t, 2 H, 7,0 Hz), 7,23 – 7,21 (d, 1 H, J = 8,7 Hz), 7,13 – 7,12  
 (d, 1 H, J = 2,1 Hz), 7,06 – 7,03 (m, 1 H), 6,95 – 6,91 (m, 2 H), 6,83 – 6,80 (m, 1 H),  
 6,75 – 6,73 (m, 4 H), 5,13 (s, 2 H), 5,11 (s, 2 H), 5,02 (s, 2 H), 3,90 – 3,87 (t, 2 H,  
 J = 6,0 Hz), 2,76 – 2,73 (t, 2 H, J = 6,0 Hz), 2,49 – 2,48 (m, 4 H), 2,13 (s, 3 H),  
 1,51 (s, 8 H); IR 3400, 2900  $\text{cm}^{-1}$ ; MS el m/z 650 (M+); CHN beregnet for  
 10  $\text{C}_{44}\text{H}_{46}\text{N}_2\text{O}_3$ .

**Eksempel nr. 78 5-benzyloksy-2-(4-benzyloksy-3-fluorfenyl)-3-metyl-1-[4-(2-piperidin-1-yletoksy)-enzyl]-1H-indol**

Smp = 125 - 128°C;  $^1\text{H}$  NMR (DMSO) 7,50 – 7,45 (m, 4 H), 7,43 – 7,28 (m, 7 H),  
 15 7,26 – 7,20 (m, 2 H), 7,14 – 7,09 (m, 2 H), 6,82 (dd, 1 H, J = 2,4 Hz, 8,8 Hz), 6,72  
 (s, 4 H), 5,21 (s, 2 H), 5,16 (s, 2 H), 5,11 (s, 2 H), 3,94 (t, 2 H, J = 5,8 Hz), 2,62 –  
 2,56 (m, 2 H), 2,41 – 2,36 (m, 4 H), 2,15 (s, 3 H), 1,45 – 1,40 (m, 4 H), 1,40 –  
 1,31 (m, 2 H); MS el m/Z 654 (M+); CHN beregnet for  $\text{C}_{43}\text{H}_{43}\text{FN}_2\text{O}_3$ .

20 **Eksempel nr. 79 5-benzyloksy-2-(4-benzyloksy-3-fluorfenyl)-3-metyl-1-[4-(2-azepan-1-yletoksy)-benzyl]-1H-indol**

Smp = 122 - 124°C;  $^1\text{H}$  NMR (DMSO) 7,50 – 7,28 (m, 10 H), 7,26 – 7,20 (m, 2 H),  
 7,15 – 7,10 (m, 2 H), 6,88 – 6,76 (m, 2 H), 6,70 (s, 4 H), 5,22 (s, 2 H), 5,16 (s, 2 H),  
 5,11 (s, 2 H), 3,92 – 3,86 (m, w H), 2,82 – 2,65 (m, 2 H), 2,65 – 2,55 (m, 4 H),  
 25 2,15 (s, 3 H), 1,60 – 1,4 (m, 8 H); MS el m/Z 668 (M+); CHN beregnet for  
 $\text{C}_{44}\text{H}_{45}\text{FN}_2\text{O}_3$ .

**Eksempel nr. 80 5-benzyloksy-2-(3-metoksyfenyl)-1-[4-(2-piperidin-1-yletoksy)-benzyl]-3-metyl-1H-indol**

30 Smp 86 - 87°C;  $^1\text{H}$  NMR (DMSO) 7,50 – 7,49 (m, 2 H), 7,46 – 7,31 (m, 4 H), 7,24  
 – 7,21 (d, 1 H, J = 8,8 Hz), 7,15 – 7,14 (d, 1 H, J = 2,3 Hz), 7,00 – 6,93 (m, 2 H),  
 6,88 – 6,81 (m, 2 H), 6,75 (s, 4 H), 5,18 (s, 2 H), 5,12 (s, 2 H), 3,96 – 3,92 (5, 2 H,  
 J = 5,9 Hz), 3,71 (s, 3 H), 2,59 – 2,55 (t, 2 H, J = 5,8 Hz), 2,37 (s, 4 H), 2,18 (s, 3

H), 1,49 – 1,42 (m, 4 H), 1,37 – 1,34 (m, 2 H); MS el m/z 561 (M+); CHN beregnet for C<sub>17</sub>H<sub>40</sub>N<sub>2</sub>O<sub>3</sub> + 0,25 H<sub>2</sub>O.

**Eksempel nr. 81 5-benzyloksy-3-metyl-1-[4-(2-piperidin-1-yl-etoksy)-benzyl]-2-(4-trifluormetoksyfenyl)-1H-indol**

Smp = 107 - 108°C; <sup>1</sup>H NMR (DMSO) 7,52 – 7,45 (m, 6 H), 7,41 – 7,26 (m, 4 H), 7,17 – 7,16 (d, 1 H, J = 2,3 Hz), 6,87 – 6,84 (dd, 1 H, J = 2,3 Hz, J = 6,4 Hz), 6,75 – 6,68 (m, 4 H), 5,18 (s, 2 H), 5,13 (s, 2 H), 3,95 – 3,91 (t, 2H, J = 5,9 Hz), 2,58 – 2,54 (t, 2 H, J = 5,9 Hz), 2,38 – 2,34 (m, 4 H), 2,17 – 2,15 (s, 3 H), 1,49 – 1,42 (m, 4 H), 1,35 – 1,34 (d, 2 H, J = 4,9 Hz); IR 3400, 2900, 1600 cm<sup>-1</sup>; MS el m/z 615 (M+); CHN beregnet for C<sub>37</sub>H<sub>37</sub>F<sub>3</sub>N<sub>2</sub>O<sub>3</sub>.

**Eksempel nr. 82 (2-[4-[5-benzyloksy-2-(4-benzyloksyfenyl)-3-metylindol-1-yl]metyl]-fenoksy}-etyl)-cykloheksylamin**

Smp = 87 - 90°C; <sup>1</sup>H NMR (DMSO) 7,46 (dd, 4 H, J = 6,9 Hz, 0,6 Hz), 7,42 – 7,27 (m, 9 H), 7,19 (d, 1 H, J = 9 Hz), 7,14 – 7,08 (m, 3 H), 6,80 (dd, 1 H, J = 6,4 Hz, 2,4 Hz), 6,75 – 6,17 (m, 4 H), 5,15 (s, 2 H), 5,13 (s, 2 H), 5,13 (s, 2 H), 3,89 (t, 2 H, J = 5,6), 2,84 (m, 1 H), 2,48 (m, 1 H), 2,14 (s, 3 H), 1,80 (m, 2 H), 1,65 (m, 2 H), 1,61 (m, 1 H), 0,96 – 1,19 (m, 5 H); MS el m/Z 650 (M+); CHN beregnet for C<sub>34</sub>F<sub>46</sub>N<sub>2</sub>O<sub>4</sub>.

**Eksempel nr. 83 5-benzyloksy-2-(4-benzyloksyfenyl)-3-metyl-1-[4-metyl(piperain-1yl)-etoksy]-benzyl]-1H-indol**

Smp = 88 - 91 °C; <sup>1</sup>H NMR (DMSO) 7,47 (m, 4 H), 7,26 – 7,42 (m, 8 H), 7,19 (d, 1 H, J = 8,8), 7,19 – 1,12 (m, 3 H), 6,80 (q, 1 H, J = 6,3 Hz, 2,4 Hz), 6,73 (m, 4 H), 5,15 (s, 2 H), 5,13 (s, 2 H), 5,11 (s, 2 H), 3,94 (t, 2 H, J = 5,9 Hz), 2,59 (5, 2 H), 2,42 (m, 4 H), 2,29 (m, 4 H), 2,15 (s, 3 H), 2,12 (s, 3 H); MS el m/Z 652 (M+); CHN beregnet for C<sub>43</sub>H<sub>45</sub>N<sub>3</sub>O<sub>3</sub>.

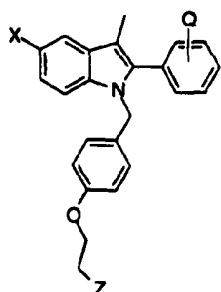
**Eksempel nr. 84 1-[4-(2-azepan-1-yletoksy)-benzyl]-5-benzyloksy-2-(3-metoksyfenyl)-3-metyl-1H-indol**

Smp = 103 - 105°C; <sup>1</sup>H NMR (DMSO) 7,47 – 7,45 (d, 2 H, J = 8,1 Hz), 7,41 – 7,35 (m, 7 H), 7,32 – 7,29 (t, 2 H, 7,0 Hz), 7,23 – 7,21 (d, 1 H, J = 8,7 Hz), 7,13 – 7,12

(d, 1 H, J = 2,1 Hz), 7,06 – 7,03 (m, 1 H), 6,95 – 6,91 (m, 2 H), 6,83 – 6,80 (m, 1 H), 6,75 – 6,73 (m, 4 H), 5,13 (s, 2 H), 5,11 (s, 2 H), 5,02 (s, 2 H), 3,90 – 3,87 (t, 2 H, J = 6,0 Hz), 2,76 – 2,73 (t, 2 H, J = 6,0 Hz), 2,49 – 2,48 (m, 4H), 2,13 (s, 3 H), 1,51 (s, 8 H); IR 3400, 2900 cm<sup>-1</sup>; MS el m/z 650 (M+); CHN beregnet for  
 5 C<sub>44</sub>H<sub>46</sub>N<sub>2</sub>O<sub>3</sub>.

**Data og prosedyrer for forbindelsene fra tabell 11 (ER Reseptor Data  
 Tabell, *infra*) av teksten**

10



15

20

**Tabell 7**

25

Eksempel	X	Q	Z
Nr. 85	H	H	N
Nr. 86	H	4'-OH	N

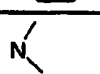
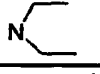
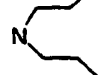
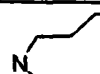
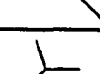
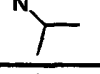
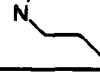
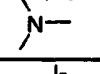
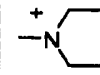
30

35

**Tabell 7 fortsettelse**

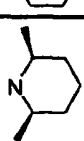
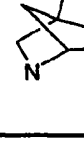
	Eksempel nr.	X	Q	Z
5	Nr. 87	OH	H	
	Nr. 88	OMe	4'-OH	
10	Nr. 89	OH	4'-OMe	
	Nr. 90	OMe	4'-OMe	
15	Nr. 91	OMe	4'-OMe	
	Nr. 92	OH	4'-OEt	
20	Nr. 93	OH	4'-OEt	
	Nr. 94	F	4'-OH	
25	Nr. 95	OH	H	
	Nr. 96	OH	4'-OH	
	Nr. 97	OH	4'-OH	
	Nr. 98	OH	4'-OH	

Tabel 7 fortsettelse

	Eksempel nr.	X	Ω	Z
5	Nr. 99	OH	4'-OH	
10	Nr. 100	OH	4'-OH	
15	Nr. 101	OH	4'-OH	
20	Nr. 102	OH	4'-OH	
25	Nr. 103	OH	4'-OH	
	Nr. 104	OH	4'-OH	
	Nr. 105	OH	4'-OH	
	Nr. 106	OH	4'-OH	
	Nr. 107	OH	4'-OH	
	Nr. 108	OH	4'-OH	

**Tabell 7 fortsettelse**

5

	Eksempel nr.	X	Q	Z
10	Nr. 109	OH	4'-OH	
	Nr. 110	OH	4'-OH	
15	Nr. 111	OH	4'-OH	
	Nr. 112	OH	4'-OH	
20	Nr. 113	OH	4'-OH	
	Nr. 114	OH	4'-OH	
25	Nr. 115	OH	4'-OH	
	Nr. 116	OH	4'-F	
30	Nr. 117	OH	4'-F	
	Nr. 118	OH	3'-OMe,4'-OH	
	Nr. 119	OH	3',4'-OCH <sub>2</sub> O-	

**Tabell 7 fortsettelse**

5

	Eksempel nr.	X	Q	Z
10	Nr. 120	OH	4'-O-iPr	
15	Nr. 121	OH	4'-O-iPr	
20	Nr. 122	OH	4'-O-Cp	
25	Nr. 123	OH	4'-CF <sub>3</sub>	
30	Nr. 124	OH	4'-CH <sub>3</sub>	
35	Nr. 125	OH	4'-Cl	
40	Nr. 126	OH	2',4',-Dimethoxy	
45	Nr. 127	OH	3'-OH	
	Nr. 128	OH	3'-OH	
	Nr. 130	OH	4'-OH,3'-F	
	No. 130	OH	4'-OH, 3'-F	
	Nr. 131	OH	3'-OMe	
	Nr. 132	OH	4'-OCF <sub>3</sub>	

## Hydrogenering av indoler inneholdende benzyleter(e)

### Metode 7

#### Illustrert for eksempel nr. 97

5    **2-(4-hydroksyfenyl)-3-metyl-1-[4-(2-piperidin-1-yl-etoksy)-benzyl]-1H-indol-5-ol**

En suspensjon av 10% Pd/C (1,1 g) i EtOH ble behandlet med en løsnign ifølge nr. 63 (2,2 g, 3,4 mmol) i THF/EtOH. Cykloheksadien (6,0 ml, 63 mmol) ble tilsat, og reaksjonen ble omrørt i 48 timer. Katalysatoren ble filtrert gjennom celitt og reaksjonsblandingene ble konsentrert og kromatografert på silika gel ved anvendelse av en gradienteluering av MeOH/CH<sub>2</sub>Cl<sub>2</sub> (1:19 til 1:10) for å tilveiebringe 0,8 g av produktet som et hvitt faststoff.

Smp = 109 - 113°C; CHN beregnet for C<sub>29</sub>H<sub>32</sub>N<sub>2</sub>O<sub>3</sub> + H<sub>2</sub>O; <sup>1</sup>H NMR 9,64 (s, 1 H), 8,67 (s, 1 H), 7,14 (d, 2 H, J = 8,6 Hz), 7,05 (d, 1 H, J = 8,6 Hz), 6,84 (d, 2 H, J = 8,8 Hz), 6,79 (d, 1 H, J = 2,2 Hz), 6,74 (s, 4 H), 6,56 (dd, 1 H, J = 8,8, 2,4 Hz), 5,09 (s, 2 H), 3,95 – 3,93 (m, 2 H), 2,60 – 2,51 (m, 2 H); IR (KBr) 3350 (br), 2920, 1620, 1510 cm<sup>-1</sup>; MS (EI) m/z 456.

Alternativt kan forbindelsene bli opplost i en THF(EtOH løsning (eller annet hensiktsmessig løsningsmiddel) og hydrogenert med H<sub>2</sub> og 10% Pd/C ved anvendelse av enten en ballong eller Parr hydrogenator. Hvilken som helst prosedyre er effektiv. I mange av eksemplene ble forbindelsene dannet til syreaddisjonssalter. Prosedyren for fremstilling av et HCl salt er gitt nedenfor (metode 8).

### **Metode 8**

1,0 g av eksempel nr. 97 fri base fra hydrogeneringsprosedyren ovenfor i et stor testrør ble løst opp i 20 ml MeOH. Dette ble behandlet med sakte tilsetning av 2,6 ml 1,0 N HCl og deretter 4,0 ml deionisert vann. Røret ble delvis åpnet for atmosfæren for å frembringe sakte avdampning av løsningsmidlene. Etter omtrent 10 minutter fremkom krystaller, og etter 4 timer ble løsningen filtrert, og faste krystaller ble vasket med vann. Produktet var til stede som 0,42 g av hvite krystallinske plater med et smeltepunkt på 184-185°C. Morvæsken ta en ytterligere mengde 0,30 g hvitt faststoff med et smeltepunkt på 177-182°C. CNH beregnet for C<sub>29</sub>H<sub>32</sub>N<sub>2</sub>O<sub>3</sub> + 1 H<sub>2</sub>O.

Alternativt kan forbindelsene bli dannet til kvaternære ammoniumsalter. Et eksempel på en prosedyre ifølge eksempel nr. 107 er gitt nedenfor (metode 9).

## Metode 9

### **Eksempel nr. 107 2-(4-hydroksyfenyl)-3-metyl-1-[4-(2-piperidin-1-yletoksy)-benzyl]-1H-indol-5-ol metijodid**

5 0,8 g av eksempel nr. 97 ble løst opp i 18 ml THF og ble behandlet med 2 ml metyljodid. Løsningen ble oppvarmet til tilbakeløp i en time. Reaksjonen ble brakt til romtemperatur og faststoffene filtrert for å tilveiebringe 0,72 g som et krystallinsk faststoff.

Smp = 214 - 217°C, CHN beregnet for  $C_{29}H_{32}N_2O_3 + CH_3I + 0,5 H_2O$ .

10 **Eksempel nr. 106 2-(4-hydroksyfenyl)-3-metyl-1-[4-(2-dimetyl-1-yletoksy)-benzyl]-1H-indol-5-ol metjo** ble fremstilt som nr. 106 med unntak av anvendelse av nr. 100 for utgangsmaterial: Smp = 245 - 250°C;  $^1H$  NMR (DMSO) 9,66 (s, 1 H), 8,69 (s, 1 H), 7,16 (d, 2 H, J = 8,4 Hz), 7,05 (d, 1 H, J = 8,8 Hz), 6,85 (d, 1 H, J = 8,6 Hz), 6,81 – 6,75 (m, 6 H), 6,56 (dd, 1 H, J = 2,4 Hz, 8,7 Hz), 5,12 (s, 2 H), 4,34 (m, 2 H), 3,70 (t, 2 H, J = 4,6 Hz), 3,11 (s, 9 H), 2,09 (s, 3 H); IR (KBr) 3250, 1500, 1250; MS el m/z 416 ( $M^+$ ); CHN beregnet for  $C_{26}H_{28}N_2O_3 + 1,09 CH_3I + 0,8 H_2O$ .

### **Fysiske data for endelige, avbeskyttede forbindelser**

20 Følgende forbindelser er enten frie baser, HCl salter eller acetatsalter. De ble fremstilt ifølge prosedyren beskrevet i metode 7 ved anvendelse av hensiktsmessig benzyleter for forløper. Når en forbindelse fra tabell 1 ikke inneholder len fri fenol-funksjonalitet, var det unødvendig å debenzylere den, og metode 7 ble ikke anvendt. Fysiske data for disse forbindelsene (nr. 85, nr. 90 – nr. 91) er fortsatt presentert  
25 nedenfor.

### **Eksempel nr. 85 4-(3-metyl-1-[4-(2-piperidin-1-yletoksy)-benzyl]-1H-indol)HCl**

Smp = 134 - 137°C;  $^1H$  NMR (DMSO= 10,33 (s, 1 H), 7,56 – 7,38 (m, 6 H), 7,32 (d, 1 H, J = 8,1 Hz), 7,14 – 7,0 (m, 2 H), 6,80 (s, 4 H), 5,24 (s, 2 H), 4,28 (t, 2 H, J = 5,0 Hz), 3,50 – 340 (m, 4 H), 3,0 – 2,95 (m, 2 H), 2,10 (s, 3 H), 1,80 – 1,60 (m, 5 H), 1,40 – 135 (m, 1 H); IR 3400, 2900, 1510, 1250  $cm^{-1}$ ; MS (+) FAB m/z 425 [ $M+H]^+$ ; CHN beregnet for  $C_{29}H_{32}N_2O + 1,0 HCl + 1,0 H_2O$ .

**Eksempel nr. 86 4-{3-metyl-1-[4-(2-piperidin-1-yletoksy)-benzyl]-1H-indol-2-yl}-fenol hydroklorid (HCl)**

Smp = 192 - 94°C;  $^1\text{H}$  NMR (DMSO) 10,28 (s, 1 H), 9,75 (s, 1 H), 7,51 – 7,49 (m, 1 H), 7,27 (dd, 1 H, J = 7,0 Hz, 0,7 Hz), 7,18 (d, 2 H, J = 7,6 Hz), 7,09 – 7,02 (m, 2 H), 6,86 (d, 2 H, J = 8,6 Hz), 6,80 (s, 4 H), 5,20 (s, 2 H), 4,28 (t, 2 H, J = 4,9 Hz), 3,50 – 3,35 (m, 4 H), 3,0 – 2,85 (m, 2 H), 2,20 (s, 3 H), 1,80 – 1,60 (m, 5 H), 1,40 – 1,30 (m, 1 H); IR 3400, 3100, 2600, 1500, 1225  $\text{cm}^{-1}$ ; MS el m/z 440 (M+); CHN beregnet for  $\text{C}_{29}\text{H}_{32}\text{N}_2\text{O}_3 + \text{HCl}$ .

10

**Eksempel nr. 87 3-metyl-2-fenyl-1-[4-(2-piperidin-1-yletoksy)-benzyl]-1H-indol-5-ol (HCl)**

Smp = 228 – 230°C;  $^1\text{H}$  NMR 10,1 (brs, 1 H), 8,76 (s, 1 H), 7,55 – 7,45 (m, 5 H), 7,10 (d, 1 H, J = 8,8 Hz), 6,85 – 6,80 (m, 5 H), 6,61 (d, 1 H, J = 8,8 Hz), 5,15 (s, 2 H), 4,25 (t, 2 H, J = 4,8 Hz), 3,47 – 3,35 (m, 4 H), 2,96 – 2,87 (m, 2 H), 2,12 (s, 3 H), 1,75 – 1,65 (m, 5 H), 1,31 – 1,28 (m, 1 H); MS el m/z 440 CHN beregnet for  $\text{C}_{29}\text{H}_{32}\text{N}_2\text{O}_2 + 1 \text{HCl} + .33 \text{H}_2\text{O}$ ; IR (KBr) 3200, 2500, 1450, 1200  $\text{cm}^{-1}$ .

20

**Eksempel nr. 88 4-{5-metyoksy-3-metyl-1-[4-[2-(piperidin-1-yl)-etoksy]-benzyl}-1H-indol-2-yl}-fenol**

Smp = 87 - 90°C;  $^1\text{H}$  NMR (DMSO) 9,67 (s, 1 H), 7,16 (d, 2 H, J = 8,6 Hz), 7,16 (1 H dekket), 6,98 (d, 1 H, J ? 2,4 Hz), 6,85 (d, 2 H, J = 8,6 Hz), 6,73 (s, 4 H), 6,69 (dd, 1 H, J = 8,8, 2,4 Hz), 5-13 (s, 2 H), 3,94 (t, 2 H, J = 5,7 Hz), 3,76 (s, 3 H), 2,63 – 2,50 (m, 2 H), 2,43 – 2,31 (m, 4 H), 2,15 (s, 3 H), 1,49 – 1,40 (m, 4 H), 1,39 – 1,25 (m, 2 H); IR (KBr) 3400 (br), 2920, 1610, 1520  $\text{cm}^{-1}$ ; MS el m/z 470; CHN beregnet for  $\text{C}_{30}\text{H}_{34}\text{N}_2\text{O}_3 + 0,1 \text{H}_2\text{O}$ .

30

**Eksempel nr. 89 2-(4-metoksyfenyl)-3-metyl-1-[4-[2-(piperidin-1-yl)-etoksy]-benzyl]-1H-indol-5-ol**

Smp = 188 - 189°C;  $^1\text{H}$  NMR (DMSO) 8,70 (s, 1 H), 7,27 (d, 2 H, J = 8,6 Hz), 7,06 (d, 1 H, J = 8,6 Hz), 7,02 (d, 2 H, J ? 8,8 Hz), 6,81 (d, 1 H, J = 2,2 Hz), 6,73 (s, 4

H), 6,58 (dd, 1 H, J = 8,8 Hz, 2,4 Hz), 5,10 (s, 2 H), 3,93 (t, 2 H, J = 5,9 Hz), 3,79 (s, 3 H), 2,56 (t, 2 H, J = 5,9 Hz), 2,41 – 2,32 (m, 4 H), 2,10 (s, 3 H), 1,46 – 1,41 (m, 4 H), 1,34 – 1,31 (m, 2 H); MS el m/z 470; CHN beregnet for C<sub>20</sub>H<sub>34</sub>N<sub>2</sub>O<sub>3</sub> + 0,1 H<sub>2</sub>O.

5

**Eksempel 90      5-metoksy-2-(4-metoksypenyl)-3-metyl-1-[4-(2-piperidin-1-yletoksy)-benzyl]-1H-indol (HCl)**

Smp = 188 - 191°C; <sup>1</sup>H NMR (DMSO) 10,35 (brs, 1 H), 7,27 (d, 2 H, J = 8,8 Hz), 7,17 (d, 1 H, J = 8,8 Hz), 7,03 (d, 2 H, J = 8,6 Hz), 6,99 (d, 1 H, J = 2,5 Hz), 6,82 – 6,78 (m, 4 H), 6,71 (dd, 1 H, J = 8,8 Hz, J = 2,5 Hz), 5,17 (s, 2 H), 4,31 – 4,22 (m, 2 H), 3,79 (s, 3 H), 3,76 (s, 3 H), 3,43 – 3,36 (m, 4 H), 2,97 – 2,83 (m, 2 H), 2,16 (s, 3 H), 1,80 – 1,59 (m, 5 H), 1,41 – 1,26 (m, 1 H); IR (KBr) 2920, 1450, 1250 cm<sup>-1</sup>; MS el m/z 484 (M+); CHN beregnet for C<sub>31</sub>H<sub>36</sub>N<sub>2</sub>O<sub>3</sub> + 1 HCl.

15    **Eksempel nr. 91    1-[4-(2-azepan-1-yletoksy)-benzyl]-5-metoksy-2-(4-metoksypenyl)-3-metyl-1H-indol (HCl)**

Smp = 161 - 163°C; <sup>1</sup>H NMR (DMSO) 10,65 (brs, 1 H), 7,27 (d, 2 H, J = 8,8 Hz), 7,17 (d, 1 H, J = 8,8 Hz), 7,03 (d, 2 H, J = 8,6 Hz), 6,99 (d, 1 H, J = 2,5 Hz), 6,82 – 6,77 (m, 4 H), 6,71 (dd, 1 H, J = 8,8 Hz, J = 2,5 Hz), 5,17 (s, 2 H), 4,27 (m, 2 H), 3,79 (s, 3 H), 3,76 (s, 3 H), 3,44 – 3,30 (m, 4 H), 3,17 (m, 2 H), 2,16 (s, 1 H), 1,82 – 1,77 (m, 4 H), 1,63 – 1,48 (m, 4 H); MS el m/z 499 (M+); CHN beregnet for C<sub>32</sub>H<sub>38</sub>N<sub>2</sub>O<sub>3</sub> + 1 HCl.

25    **Eksempel nr. 92    2-(4-etoksyfenyl)-3-metyl-1-[4-(2-piperidin-1-yletoksy)-benzyl]-1H-indol-5-ol**

Smp = 173 - 175°C; <sup>1</sup>H NMR (DMSO) 8,69 (s, 1 H), 7,25 (d, 2 H, J = 8,8 Hz), 7,04 (d, 1 H, J = 8,8 Hz), 6,99 (dd, 2 H, J = 6,8 Hz, J = 2,0 Hz), 6,80 (d, 1 H, J = 2,2 Hz), 6,73 (s, 4 H), 6,59 (dd, 1 H, J = 8,5, J = 2,2), 5,09 (s, 2 H), 4,05 (q, 2 H, J = 7,03 Hz), 3,93 (t, 2 H, J = 6,0 Hz), 2,62 – 2,56 (m, 2 H), 2,41 – 2,36 (m, 4 H), 2,09 (s, 3 H), 1,45 – 1,41 (m, 4 H), 1,38 – 1,30 (m, 5 H); MS el m/z (M+); CHN beregnet for C<sub>31</sub>H<sub>36</sub>N<sub>2</sub>O<sub>3</sub> + .25 H<sub>2</sub>O.

**Eksempel nr. 93 1-[4-(2-azepan-1-yletoksy)-benzyl]-2-(4-etoksyfenyl)-e-metyl-1H-indol-5-ol**

Smp = 133 - 135°C;  $^1\text{H}$  NMR (DMSO) 8,69 (s, 1 H), 7,25 (d, 2 H, J = 8,8 Hz), 7,04 (d, 1 H, J = 8,8 Hz), 6,99 (dd, 2 H, J = 6,8 Hz, J = 2,0 Hz), 6,80 (d, 1 H, J = 2,2 Hz), 6,73 (s, 4 H), 6,59 (dd, 1 H, J = 8,5 Hz, J = 2,2 Hz), 5,09 (s, 2 H), 4,05 (q, 2 H, J = 7,03 Hz), 3,90 (t, 2 H, J = 6,1 Hz), 2,75 (t, 2 H, J = 6,0 Hz), 2,62 – 2,58 (m, 4 H), 2,09 (s, 3 H), 1,58 – 1,44 (m, 8 H), 1,33 (t, 3 H, J = 7,0 Hz); IR (KBr) 2930, 1470, 1250  $\text{cm}^{-1}$ ; MS el m/z 498 (M+); CHN beregnet for  $\text{C}_{32}\text{H}_{38}\text{N}_2\text{O}_3$ .

**Eksempel nr. 94 4-{5-fluor-3-metyl-1-[4-(2-piperidin-1-yletoksy)-benzyl]-1H-indol-2-yl}-fenol (HCl)**

Smp = 223 - 225°C;  $^1\text{H}$  NMR (DMSO) 10,30 (br s, 1 H), 7,27 – 7,23 (m, 2 H), 7,17 (d, 2 H, J = 8,6 Hz), 6,88 – 6,79 (m, 7 H), 5,20 (s, 2 H), 4,28 (t, 2 H, J = 5,0 Hz), 3,42 – 3,35 (m, 4 H), 3,00 – 2,85 (m, 2 H), 2,14 (s, 3 H), 1,78 – 1,70 (m, 4 H), 1,67 – 1,59 (m, 1 H), 1,40 – 1,26 (m, 1 H); MS el m/z 458 (M+).

**Eksempel nr. 95 1-[5-(2-azepan-1-yletoksy)-benzyl]-3-metyl-2-fenyl-1H-indol-5-ol (HCl)**

Smp = 203 - 204°C;  $^1\text{H}$  NMR (DMSO) 10,50 (brs, 1 H), 8,80 (s, 1 H), 7,50 – 7,38 (m, 5 H), 7,10 (d, 1 H, J = 8,8 Hz), 6,83 – 6,77 (m, 5 H), 6,60 (d, 1 H, J = 6,6 Hz), 5,15 (s, 2 H), 4,26 (t, 2 H, J = 5,2 Hz), 3,45 – 3,35 (m, 4 H), 3,21 – 3,10 (m, 2 H), 2,12 (s, 3 H), 1,85 – 1,75 (m, 4 H), 1,70 – 1,51 (m, 4 H); MS cl m/z 454 (M+); CHN beregnet for  $\text{C}_{30}\text{H}_{34}\text{N}_2\text{O}_3 + 1 \text{ HCl}$ .

**Eksempel nr. 96 2-(4-hydroksyfenyl)-3-metyl-1-[4-(2-pyrollidin-1-yletoksy)-benzyl]-1H-indol-5-ol**

Smp = 105 - 110°C; CHN beregnet for  $\text{C}_{28}\text{H}_{30}\text{N}_2\text{O}_3 + 0,4 \text{ H}_2\text{O}$ ;  $^1\text{H}$  NMR (DMSO) 9,65 (s, 1 H), 8,67 (s, 1 H), 7,15 (d, 2 H, J = 8,6 Hz), 7,05 (d, 1 H, J = 8,6 Hz), 6,84 (d, 2 H), 6,79 (d, 1 H, J = 2,4 Hz), 6,56 (dd, 1 H, J = 8,6, 2,2 Hz), 6,74 (s, 4 H), 5,09 (s, 2 H), 3,95 (t, 2 H, J = 5,7 Hz), 3,39 – 3,23 (m, 4 H), 2,80 – 2,75 (m, 2 H), 2,09 (s, 3 H), 1,67 – 1,64 (m, 4 H); IR (KBr) 3410 (br), 1620, 1510  $\text{cm}^{-1}$ ; MS (El) m/z 442.

**Eksempel nr. 97 1-[4-(2-azepan-1-yletoksy)-benzyl]-2-(4-hydrokfenyl)-3-metyl-1H-indol-5-ol (CHI)**

Smp = 168 - 171°C;  $^1\text{H}$  NMR (DMSO) 10,11 (br s, 1 H), 9,70 (s, 1 H), 8,71 (s, 1 H), 7,15 (d, 2 H, J = 8,6 Hz), 7,05 (d, 1 H, J = 8,8 Hz), 6,85 (d, 2 H, J = 8,8 Hz),  
 5 6,80 – 6,77 (m, 5 H), 6,56 (dd, 1 H, J = 8,8 Hz, 2,2 Hz), 5,11 (s, 2 H), 4,26 (t, 2 H, J = 4,6 Hz), 3,48 – 3,30 (m, 4 H), 3,22 – 3,08 (m, 2 H), 2,09 (s, 3 H), 1,83 – 1m76  
 (m, 4 H), 1,67 – 1,48 (m, 4 H); IR (KBr) 3500 br, 3250 br, 2900, 1610; MS FAB m/z 471 (M+H+); CHN beregnet for  $\text{C}_{30}\text{H}_{34}\text{N}_2\text{O}_3 + 2,5 \text{ H}_2\text{O} + \text{HCl}$ .

**Eksempel nr. 98 Acetatsalt av eksempel nr. 97**

Dannet ved presipitering av nr. 97 fri base fra aceton og eddiksyre.

Smp = 174 - 178°C.

**Eksempel nr. 99 1-[4-(2-azokan -1-yletoksy)-benzyl]-2-(4-hydroksyfenyl)-3-metyl-1H-indol-5-ol**

Smp = 98 - 102°C;  $^1\text{H}$  NMR (DMSO) 9,63 (s, 1 H), 8,68 (s, 1 H), 7,15 – 7,13 (m, 2 H), 7,05 (d, 1 H, J = 8,5 Hz), 6,83 (dd, 2 H, J = 2,0 Hz, 6,6 Hz), 6,79 (d, 1 H, J = 2,2 Hz), 6,73 (s, 4 H), 6,55 (dd, 1 H, J = 2,2 Hz, 8,6 Hz), 5,08 (s, 2 H), 3,89 (t, 2 H, J = 5,7 Hz), 2,74 (t, 2 H, J = 5,4 Hz), 2,55 (bs, 4 H), 2,08 (s, 3 H), 1,55 (s, 2 H), 1,46  
 20 (s, 8 H); IR 3400, 2900, 1250  $\text{cm}^{-1}$ ; MS el m/z 484 (M+); CHN beregnet for  $\text{C}_{31}\text{H}_{36}\text{N}_2\text{O}_3 + .30 \text{ H}_2\text{O}$ .

**Eksempel nr. 100 2-(4-hydroksyfenyl)-3-metyl-1-[4-(2-dimetyl-1-yletoksy)-benzyl]-1H-indol-5-ol**

Smp = 95 - 105°C; IR (KBr) 3400 br, 2900, 1610  $\text{cm}^{-1}$ ; MS el m/z 416 (M+); CHN beregnet for  $\text{C}_{26}\text{H}_{28}\text{N}_2\text{O}_3 + 0,5 \text{ H}_2\text{O}$ .

**Eksempel nr. 101 2-(4-hydroksyfenyl)-3-metyl-1-[4-(2-dietyl-1-yletoksy)-benzyl]-1H-indol-5-ol**

Smp = 100 - 107°C; CHN beregnet for  $\text{C}_{28}\text{H}_{32}\text{N}_2\text{O}_3 + 0,25 \text{ H}_2\text{O}$ ;  $^1\text{H}$  NMR (DMSO)  
 30 9,64 (s, 1 H), 8,67 (s, 1 H), 7,14 (d, 2 H, J = 8,6 Hz), 7,05 (d, 1 H, J = 8,8 Hz), 6,84  
 (d, 2 H, J = 8,6 Hz), 6,79 (d, 1 H, 2,2 Hz), 6,74 (s, 4 H), 6,56 (dd, 1 H, J = 8,8, 2,4  
 Hz), 5,09 (s, 2 H), 3,95-3,85 (m, 2 H), 2,80 – 2,60 (m, 2 H), 2,58 – 2,40 (m, 4 H),

2,09 (s, 3 H), 0,93 (t, 6 H, J = 7,09 Hz); IR (KBr) 3410 (br), 2950, 1610, 1510 cm<sup>-1</sup>; MS FAB 445 (M+H+).

**Eksempel nr. 102 1-[4-(2-dipropylaminoetoksy)-benzyl]-2-(4-hydroksyfenyl)-3-**

5      methyl-1H-indol-5-ol

Smp = 83 - 86°C; <sup>1</sup>H NMR (DMSO) 9,64 (s, 1 H), 8,67 (s, 1 H), 7,14 (d, 2 H, J = 8,6), 7,04 (d, 1 H, J = 8,6 Hz), 6,83 (d, 2 H, J = 8,6 Hz), 6,78 (d, 1 H, J = 2,2 Hz), 6,72 (m, 4 H), 6,55 (dd, 1 H, J = 2,4 Hz, 8,2 Hz), 5,08 (s, 2 H), 3,88 (t, 2 H, J = 6,90 Hz), 2,80 – 2,63 (m, 2 H), 2,59 – 2,45 (m, 4 H), 2,10 (s, 3 H), 1,41 – 1,30 (m, 4 H), 0,79 (t, 6 H, J = 7,3 Hz); IR 4300, 2900, 1250; MS FAB m/z 473 [M+H+]; CHN beregnet for C<sub>30</sub>H<sub>46</sub>N<sub>2</sub>O<sub>3</sub> + .20 H<sub>2</sub>O.

**Eksempel nr. 103 1-[4-(2-dibutylaminoetyoksy)-benzyl]-2-(4-hydroksyfenyl)-3-**  
methyl-1H-indol-5-ol

15 Skum; <sup>1</sup>H NMR (DMDSO) 9,63 (s, 1 H), 8,66 (s, 1 H), 7,15 (d, 2 H, J = 8,6 Hz), 7,05 (d, 1 H, J = 8,8 Hz), 6,83 (d, 2 H, J = 8,6 Hz), 6,79 (d, 1 H, J = 4,2 Hz), 6,78 – 6,71 (m, 4 H), 6,55 (dd, 1 H, J = 8,6 Hz, J = 2,4 Hz), 5,10 (s, 2 H), 3,88 (t, 2 H, J = 5,5 Hz), 2,68 – 2,62 (m, 2 H), 2,42 – 2,34 (m, 4 H), 2,08 (s, 3 H), 1,38 – 1,19 (m, 8 H), 0,82 (t, 6 H, J = 7,2 Hz); IR (KBr) 3400, 1450 cm<sup>-1</sup>; MS el m/z 501 (M+).

20

**Eksempel nr. 104 1-[4-(2-diisopropylaminoetoksy)-benzyl]-2-(4-**  
**hydroksyfenyl)-3-metyl-1H-indol-5-ol**

Smp = 96 - 102°C; <sup>1</sup>H NMR (DMSO) 9,64 (s, 1 H), 8,67 (s, 1 H), 7,14 (d, 2 H, J = 8,6 Hz), 7,04 (d, 1 H, J = 8,6 Hz), 6,83 (d, 2 H, J = 8,6 Hz), 6,79 (d, 1 H, J = 2,4 Hz), 6,77 – 6,69 (m, 4 H), 6,56 (dd, 1 H, J = 8,6 Hz, 2,2 Hz), 5,08 (s, 2 H), 3,75 (t, 2 H, J = 7,0 Hz), 3,01 – 2,92 (m, 2 H), 2,67 (t, 2 H, J = 7,0 Hz), 2,09 (s, 3 H), 0,93 (d, 12 H, 6,6 Hz); IR (KBr) 3400 br, 2940, 1620 cm<sup>-1</sup>; MS FAB m/z 473 (M+H+); CHN beregnete for C<sub>30</sub>H<sub>54</sub>N<sub>2</sub>O<sub>3</sub> + 0,5 H<sub>2</sub>O.

30

**Eksempel nr. 105 1-[4-[2-(butylmetylamino)-etoksy]-benzyl]-2-(4-**  
**hydroksyfenyl)-3-metyl-1H-indol-5-ol**

Smp = 102 - 107°C; <sup>1</sup>H NMR (DMSO) 9,60 (s, 1 H), 8,67 (s, 1 H), 7,14 (d, 2 H, J = 8,4 Hz), 7,04 (d, 1 H, J = 8,6 Hz), 6,82 (d, 2 H, J = 8,8 Hz), 6,78 (d, 1 H, J = 2,3

Hz), 6,73 (s, 4 H), 6,55 (dd, 1 H, J = 8,8 Hz, J = 2,4 Hz), 5,08 (s, 2 H), 3,92 (t, 2 H, J = 6,0 Hz), 2,64 – 2,59 (m, 2 H), 2,38 – 2,29 (mk 2 H), 2,20 (br s, 3 H), 2,08 (s, 3 H), 1,40-1,31 (m, 2 H), 1,25-1,19 (m, 2 H), 0,83 (t, 3 H, 7,2 Hz); IR (KBr) 340, 1460, 1230 m<sup>-1</sup>; MS el m/z 638 (M+).

5

**Eksempel nr. 108 2-(4-hydroksyfenyl)-3-metyl-1-{4-[2-(2-metylpiriperidin-1-yl)-etoksy]-benzyl}-1H-indol-5-ol**

Smp = 121 - 123°C; <sup>1</sup>H NMR (DMSO) 9,65 (s, 1 H), 8,68 (s, 1 H), 7,14 (d, 2 H, J = 8,6 Hz), 7,04 (d, 1 H, J = 8,8 Hz), 6,84 (d, 2 H, J = 8,6 Hz), 6,79 (d, 1 H, J = 2,0 Hz), 6,74 (s, 4 H), 6,56 (dd, 1 H, J = 8,8 Hz), 2,4 Hz), 5,09 (s, 2 H), 3,97 – 3,86 (m, 2 H), 2,95 – 2,73 (m, 2 H), 2,62 – 2,53 (m, 1 H), 2,36 – 2,14 (m, 2 H), 2,09 (s, 3 H), 1,61 – 1,30 (m, 4 H), 1,28 – 1,09 (m, 2 H), 0,98 (d, 3 H, J = 5,1 Hz); IR (KBr) 3400, 2920, 2850, 1610 cm<sup>-1</sup>; CHN beregnet for C<sub>30</sub>H<sub>34</sub>N<sub>2</sub>O<sub>3</sub> + 0,25 H<sub>2</sub>O.

15 **Eksempel nr. 109 2-(4-hydroksyfenyl)-3-metyl-1-{4-[2-(3-metylpiriperidin-1-yl)-etoksy]-benzyl}-1H-indol-5-ol**

Smp = 121 - 123°C; <sup>1</sup>H NMR (DMSO) 9,64 (s, 1 H), 8,67 (s, 1 H), 7,14 (dd, 2 H, J = 8,3 Hz, 1,4 Hz), 7,04 (dd, 1 H, J = 8,6 Hz, 1,2 Hz), 6,84 (dd, 2 H, J = 8,6 Hz, 1,7 Hz), 6,79 (s, 1 H), 6,79 (s, 4 H), 6,56 (d, 1 H, J = 8,6 Hz), 5,08 (s, 2 H), 3,94 (t, 2 H, J = 5,0), 2,86 – 2,71 (m, 2 H), 2,63 – 2,50 (m, 2 H), 2,48 (s, 3 H), 1,92 – 1,79 (m, 2 H), 1,63 – 1,35 (m, 5 H), 0,79 (d, 3 H, J = 5,2 Hz); IR (KBr) 3400, 2910, 1625 cm<sup>-1</sup>; CHN beregnet for C<sub>30</sub>H<sub>34</sub>N<sub>2</sub>O<sub>3</sub> + 0,25 H<sub>2</sub>O.

25 **Eksempel nr. 110 2-(4-hydroksyfenyl)-3-metyl-1-{4-[2-(4-metylpiriperidin-1-yl)-etoksy]-benzyl}-1H-indol-5-ol (HCl)**

Smp = 154 - 162°C; <sup>1</sup>H NMR (DMSO) 10,00 (brs, 1 H), 9,71 (s, 1 H), 8,71 (s, 1 H), 7,15 (d, 2 H, J = 8,6 Hz), 7,05 (d, 1 H, J = 8,6 Hz), 6,85 (d, 2 H, J = 8,6 Hz), 6,83 – 6,77 (m, 4 H), 6,57 (dd, 1 H, J = 8,6 Hz) 2,2 Hz), 5,11 (s, 2 H), 4,27 (5, 2H, J = 4,8 Hz), 3,51 – 3,35 (m, 4 H), 3,01 – 2,87 (m, 2 H), 2,09 (s, 3 H), 1,74 (d, 2 H, J = 13,4 Hz), 1,61 – 1,37 (m, 4 H), 0,88 (d, 3 H, J = 6,4 Hz); IR (KBr) 3410, 2910, 1620 cm<sup>-1</sup>; MS el m/z 470 (M+H+); CHN beregnet for C<sub>30</sub>H<sub>34</sub>N<sub>2</sub>O<sub>3</sub> + HCl + 2 H<sub>2</sub>O.

**Eksempel nr. 111 1-[4-[2-(3,3-dimetylpiridin-1-yl)-etoksy]-benzyl]-2-(4-hydroksyfenyl)-3-metyl-1H-indol-5-ol**

Smp = 100°C;  $^1\text{H}$  NMR (DMSO) 9,65 (s, 1 H), 8,67 (s, 1 H), 7,15 (d, 2 H, J = 8,6 Hz), 7,05 (d, 1 H, J = 8,8 Hz), 6,84 (d, 2 H, J = 8,6 Hz), 6,79 (d, 1 H, J = 2,4 Hz), 6,74 (s, 4 H), 6,56 (dd, 1 H, J = 8,8, 2,4 Hz), 5,09 (s, 2 H), 3,93 (t, 2 H, J = 5,7 Hz), 2,60 – 2,50 (m, 2 H), 2,37 – 2,25 (m, 2 H), 2,09 (s, 3 H), 2,10 – 1,99 (m, 2 H), 1,46 (t, 2 H, J = 5,9 Hz), 1,13 (t, 2 H, J = 6,4 Hz), 0,97 (s, 6 H); MS el m/z 484.

**Eksempel nr. 112 1-[4-[2-((cis)-2,6-dimetylpiridin-1-yl)-etoksy]-benzyl]-2-(4-hydroksyfenyl)-3-metyl-1H-indol-5-ol**

Smp = 114 - 121°C;  $^1\text{H}$  NMR (DMSO) 9,62 (s, 1 H), 8,64 (s, 1 H), 7,11 (d, 2 H, J = 8,6 Hz), 7,01 (d, 1 H, J = 8,6 Hz), 6,81 (d, 2 H, J = 8,8 Hz), 6,76 (d, 1 H, J = 2,2 Hz), 6,72 – 6,66 (m, 4 H), 6,53 (dd, 1 H, J = 8,6 Hz, 2,2 Hz), 5,06 (s, 2 H), 3,86 – 3,72 (m, 2 H), 2,86 – 2,76 (m, 2 H), 2,43 – 2,35 (m, 2 H), 2,06 (s, 3 H), 1,78 – 1,59 (m, 3 H), 1,29 – 1m17 (m, 1 H), 1,12 – 0,92 (m, 8 H); IR (KBr) 3400 br, 2920, 1630  $\text{cm}^{-1}$ ; MS FAB m/z 485 (M+H $^+$ ); CHN beregnet for C<sub>31</sub>H<sub>36</sub>N<sub>2</sub>O<sub>3</sub> + 0,1 aceton + 0,75 H<sub>2</sub>O.

**Eksempel nr. 113 2-(4-hydroksyfenyl)-1-[4-[2-(4-hydroksypiperidin-1-yl)-etoksy]-benzyl]-3-metyl-1H-indol-5-ol**

Smp = 80 - 90°C;  $^1\text{H}$  NMR (DMSO) 9,66 (s, 1 H), 8,68 (s, 1 H), 7,15 (d, 2 H, J ? 7,6 Hz), 7,04 (d, 1 H, J = 8,8 Hz), 6,84 (dd, 2 H, J = 2,0 Hz, 6,6 Hz), 6,78 (d, 1 H, 2,2 Hz), 6,73 (s, 4 H), 6,55 (dd, 1 H, J = 2,2 Hz, 8,6 Hz), 5,09 (s, 2 H), 4,50 (d, 1 H, J = 4,2 Hz), 3,92 (5, 2 H, J = 5,8 Hz), 3,40 (m, 2 H), 2,72 (m, 2 H), 2,60 (m, 2 H), 2,10 (s, 3 H), 2,15 – 2,05 (m, 1 H), 1,75 – 1,63 (m, 2 H), 1,42 – 1,28 (m, 2 H); IR (KBr) 3400, 2900, 1250  $\text{cm}^{-1}$ ; MS el m/z 472 (M $^+$ ); CHN beregnet for C<sub>29</sub>H<sub>32</sub>N<sub>3</sub>O<sub>4</sub> + .11 CH<sub>2</sub>Cl<sub>2</sub>.

**Eksempel nr. 114 (1S,4R)-1-[4-[2-(2-azabicyklo[2,2,1]hept-2-yl)-etoksy]-benzyl]-2-(4-hydroksyfenyl)-3-metyl-1H-indol-5-ol**

SMP = 125 - 130°C;  $^1\text{H}$  NMR (DMSO) 9,65 (s, 1 H), 8,67 (s, 1 H), 7,13 (d, 2 H, J = 8,6 Hz), 7,04 (d, 1 H, J = 85, Hz), 6,83 (dd, 2 H, J = 2,0 Hz, 6,6 Hz), 6,78 (d, 1 H, J = 2,2 Hz), 6,73 (s, 4 H), 6,55 (dd, 1 H, J = 2,2 Hz, 8,6 Hz), 5,08 (s, 2 H), 3,95 –

3,8 (m, 2 H), 2,90 – 2,70 (3 H), 2,30 – 2,20 (m, 2 H), 2,10 (s, 3 H), 1,70 – 1,60 (m, 1 H), 1,60 – 1,30 (m, 4 H), 1,25 – 1,15 (m, 2 H); IR (KBr) 3400, 2950, 1500; MS (+) FAB m/z 469 [M+H]<sup>+</sup>; CHN beregnet for C<sub>30</sub>H<sub>32</sub>N<sub>2</sub>O<sub>3</sub> + .34 EtOAc.

5 **Eksempel nr. 115 2-(4-hydroksyfenyl)-3-metyl-1-[4-(1,2,3-trimetyl-6-azabicyklo[3.2.1]okt-6-yl)-etoksy]-benzyl]-1H-indol-5-ol**

Smp = 98 - 100°C; <sup>1</sup>H NMR (DMSO) 9,64 (2, 1 H), 8,67 (s, 1 H), 7,14 (d, 2 H, J = 8,6 Hz), 7,05 (d, 1 H, J = 8,6 Hz), 6,84 (d, 2 H, J = 8,6 Hz), 6,79 (d, 1 H, J = 2,4 Hz), 6,75 – 6,69 (m, 4 H), 6,56 (dd, 1 H, J = 8,6 Hz, 2,4 Hz), 5,08 (s, 2 H), 3,83 (t, 2 H, J = 5,9 Hz), 3,12 – 3,07 (m, 1 H), 2,97 – 2,87 (m, 1 H), 2,85 (d, 1 H, J = 9,2 Hz), 2,78 – 2,70 (m, 1 H), 2,17 (d, 1 H, J = 9,2 Hz), 2,09 (s, 3 H), 1,55 – 1,42 (m, 2 H), 1,29(q, 2 H, J = 13,6 Hz), 1,14 (s, 3 H), 1,11 – 1,02 (m, 2 H), 0,96 (s, 3 H), 0,82 (s, 3 H); IR (KBr) 3400 br, 2940, 2900, 1630 cm<sup>-1</sup>; MS ESI m/z 525 (M+H<sup>+</sup>); CHN beregnet for C<sub>34</sub>H<sub>40</sub>N<sub>2</sub>O<sub>3</sub> + 0,5 H<sub>2</sub>O.

15 **Eksempel nr. 116 2-(4-fluorfenyl)-3-metyl-1-[4-(2-piperidin-1-yletoksy)-benzyl]-1H-indol-5-ol (HCl)**

Smp = 201 – 203°C; <sup>1</sup>H NMR (DMSO) 10,22 (s, 1 H), 8,78 (s, 1 H), 7,45 – 7,35 (m, 2 H), 7,34 – 7,25 (m, 2 H), 7,11 (d, 1 H, J = 8,6 Hz), 6,90 – 6,70 (m, 5 H), 6,61 (dd, 1 H, J = 2,4 Hz, 8,8 Hz), 5,15 (s, 2 H), 4,27 (t, 2 H, 4,8 Hz), 3,50 – 3,34 (m, 4 H), 3,0 – 2,85 (m, 2 H); 2,10 (s, 3 H), 1,80 (m, 5 H), 1,40 – 1,25 (m, 1 H); MS eI m/z 458 (M<sup>+</sup>); CHN beregnet for C<sub>29</sub>H<sub>31</sub>N<sub>2</sub>O<sub>2</sub> + 1 HCl.

25 **Eksempel nr. 117 1-[4-(2-azepan-1-yletoksy)-benzyl]-2-(4-fluorfenyl)-3-metyl-1H-indol-5-ol**

Smp = 181 - 184°C; <sup>1</sup>H NMR (DMSO) 10,68 (s, 1 H), 8,80 (s, 1 H), 7,50 – 7,36 (m, 2 H), 7,34 – 7,26 (m, 2 H), 7,12 (d, 1 H, J = 8,8 Hz), 6,86 – 6,73 (m, 5 H), 6,63 (dd, 1 H, J = 2,2 Hz, 8,5 Hz), 5,13 (s, 2 H), 4,29 (t, 2 H, J = 5,2 Hz), 3,50 – 3,30 (m, 4 H), 3,20 – 3,08 (m, 2 H), 2,11 (s, 3 H), 1,90 – 1,70 (m, 4 H), 1,68 – 1,45 (m, 4 H); IR (KBr) 3500, 3100, 2910, 1450, 1250 cm<sup>-1</sup>; MS eI m/z 472 (M<sup>+</sup>); CHN beregnet for C<sub>30</sub>H<sub>33</sub>FN<sub>2</sub>O<sub>2</sub> + 1 HCl.

**Eksempel nr. 118 2-(3-metoksy-4-hydrokfenyl)-3-metyl 1-[4-(2-piperidin-1-yletoksy)-benzyl]-1H-indol-5-ol (HCl)**

Smp = 161 - 163°C;  $^1\text{H}$  NMR (DMSO) 1012, (brs, 1 H), 9,25 (s, 1 H), 8,71 (s, 1 H), 7,05 (d, 1 H, J = 8,5 Hz), 6,85 – 6,79 (m, 1 H), 6,57 (dd, 1 H, J = 8,5 Hz, J = 2,2 Hz), 5,13 (s, 2 H), 4,27 (t, 2 H, J = 5,0 Hz), 3,64 (s, 3 H), 3,44 – 3,37 (m, 4 H), 2,93 – 2,85 (m, 2 H), 2,11 (s, 3 H), 1,80 – 1,60 (m, 5 H), 1,40 – 1,25 (m, 1 H); MS el m/z 486 (M+); CHN beregnet for  $\text{C}_{30}\text{H}_{34}\text{N}_2\text{O}_4 + 1 \text{ HCl} + 1 \text{ H}_2\text{O}$ ; (IR (KBr) 3190, 1470, 1230  $\text{cm}^{-1}$ .

**Eksempel nr. 119 2-benzo[1,3]dioksol-5-yl-3-metyl-1-[4-(2-piperidin-1-yletoksy)-benzyl]-1H-indol-5-ol (HCl)**

Smp = 122 - 125°C;  $^1\text{H}$  NMR (DMSO=) 9,80 (brs, 1 H), 8,73 (s, 1 H), 7,07 (d, 1 H, J = 8,7 Hz), 7,02 (d, 1 H, J = 8,0 Hz), 6,89 (d, 1 H, J = 1,7 Hz), 6,80 – 6,75 (m, 6 H), 6,58 (dd, 1 H, J = 6,4 Hz, J = 2,2 Hz), 6,06 (s, 2 H), 5,13 (s, 2 H), 4,30 – 4,19 (m, 2 H), 3,51 – 3,30 (m, m 4 H), 2,99 – 2,85 (m, 2 H), 2,10 (s, 3 H), 1,81 – 1,59 (m, 5 H), 1,41 – 1,26 (m, 1 H); MS el m/z 484 (M+=); CHN beregnet for  $\text{C}_{30}\text{H}_{32}\text{N}_2\text{O}_4 + \text{HCl} + .26 \text{ H}_2\text{O}$ .

**Eksempel nr. 120 2-(4-isopropoksyfenyl)-3-metyl-1-[4-(2-piperidin-1-yletoksy)-benzyl]-1H-indol-5-ol (Cl)**

Smp = 120 - 125°C;  $^1\text{H}$  NMR (DMSO) 10,18 (s, 1 H), 8,73 (s, 1 H), 7,25 (d, 2 H, J = 8,6 Hz), 7,04 (d, 1 H, J = 8,8 Hz), 6,99 (d, 2 H, J = 8,8 Hz), 6,82 – 6,80 (m, 5 H), 6,59 (dd, 1 H, J = 2,2 Hz, 8,6 Hz), 5,12 (s, 2 H), 4,67 – 4,51 (m, 1 H), 4,27 (t, 2 H, J = 4,8 Hz), 3,50 – 3,35 (m, 4 H), 3,0 – 2,85 (m, 2 H), 2,10 (s, 3 H), 1,80 – 1,60 (m, 5 H), 1,40 – 1,25 (m, 7 H); IR (KBr) 3400, 3000, 1500, 1250; MS el m/z 498 (M+); CHN beregnet for  $\text{C}_{32}\text{H}_{38}\text{N}_2\text{O}_3 + 1,0 \text{ HCl} + .70 \text{ H}_2\text{O}$ .

**Eksempel nr. 121 1-[4-(2-azepan-1-yletoksy)-benzyl]-2-(4-isopropoksyfenyl)-3-metyl-1H-indol-5-ol (CHI)**

Smp = 120 - 125°C;  $^1\text{H}$  NMR (DMSO) 10,36 (s, 1 H), 8,73 (s, 1 H), 7,26 – 7,23 (m, 2 H), 7,05 (d, 1 H, J = 8,8 Hz), 7,01 – 6,98 (m, 2 H), 6,85 – 6,75 (m, 5 H), 6,57 (dd, 1 H, J = 2,2 Hz, 8,6 Hz), 5,12 (s, 2 H), 4,67 – 4,61 (m, 1 H), 4,27 (t, 2 H, J = 4,8 Hz), 3,50 – 3,30 (m, 4 H), 3,20 – 3,10 (m, 2 H), 2,10 (s, 3 H), 1,85 – 1,75 (m, 4 H),

1,65 – 1,50 (m, 4 H), 1,27 (d, 6 H, J = 6,1 Hz); IR (KBr) 3400, 1500, 1250; MS el m/z 512 (M+); CHN beregnet for C<sub>33</sub>H<sub>40</sub>N<sub>2</sub>O<sub>3</sub> + 1,0 HCl + .5 H<sub>2</sub>O.

**Eksempel nr. 122 2-(cyklopenyloksyfenyl)-3-metyl-1-[4-(2-piperidin-1-yletoksy)-benzyl]-1H-indol-5-ol**

Smp = 121 - 135°C; <sup>1</sup>H NMR (DMSO) 9,80 (br s, 1 H), 8,72 (2, 1 H), 7,24 (d, 2 H, J = 8,8 Hz), 7,05 (d, 1 H, J = 8,8 Hz), 6,98 (d, 2 H, J = 8,8 Hz), 6,83 – 6,78 (m, 5 H), 6,57 (dd, 1 H, J = 8,8 Hz, 2,4 Hz), 5,13 (s, 2 H), 4,86 – 4,82 (m, 1 H), 4,25 (t, 2 H, J = 4,8 Hz), 3,50 – 3,38 (m, 4 H), 2,92 (1, 2 H, J = 8,8 Hz), 2,11 (s, 3 H), 1,98 – 1,85 (m, 2 H), 1,81 – 1,56 (m, 11 H), 1,41 – 1,29 (m, 1 H); IR (KBr) 3400, 2920, 1720 cm<sup>-1</sup>; MS el m/z 524 (M+); CHN beregnet for C<sub>34</sub>H<sub>40</sub>N<sub>2</sub>O<sub>3</sub> + 0,5 H<sub>2</sub>O.

**Eksempel nr. 123 3-metyl-1-[4-(2-piperidin-1-yletoksy)-benzyl]-2-(4-triuormetylfenyl)-1H-indol-5-ol**

Smp = 174°C; <sup>1</sup>H NMR (DMSO) 8,8 (s, 1 H), 7,82 (d, 2 H, J = 8,1 Hz), 7,59 (d, 2 H, J = 7,9 Hz), 7,17 (d, 1 H, J = 8,6 Hz), 6,86 (d, 1 H, J = 2,4 Hz), 6,75 – 6,68 (m, 4 H), 6,65 (dd, 1 H, J = 8,8 Hz, 2,4 Hz), 5,16 (s, 2 H), 3,93 (t, 2 H, J = 5,7 Hz), 2,62 – 2,56 (m, 2 H), 2,42 – 2,32 (m, 4 H), 2,15 (s, 3 H), 1,48 – 1,40 (m, 4 H), 1,39 – 1,29 (m, 2 H); IR (KBr) 3410, 2910, 2850, 1620 cm<sup>-1</sup>; MS el m/z 508 (M+); CHN beregnet for C<sub>30</sub>H<sub>31</sub>F<sub>3</sub>N<sub>2</sub>O<sub>2</sub> + 0,25 H<sub>2</sub>O.

**Eksempel nr. 124 3-metyl-1-[4-(2-piperidin-1-yletoksy)-benzyl]-2-p-tolyl-1H-indol-5-ol**

Smp = 162 - 164°C; <sup>1</sup>H NMR (DMSO) 8,70 (s, 1 H), 7,38 – 7,24 (m, 4 H), 7,07 (d, 1 H, J = 8,4 Hz), 6,81 (d, 1 H, J = 2,2 Hz), 6,73 (s, 4 H), 6,58 (dd, 1 H, J = 2,4 Hz, 8,8 Hz), 5,11 (s, 2 H), 3,92 (t, 2 H, J = 5,9 Hz), 2,55 (t, 2 H, J = 5,9 Hz), 2,45 – 2,30 (m, 7 H), 2,10 (s, 3 H), 1,50 – 1,40 (m, 4 H), 1,48 – 1,35 (m, 2 H); IR (KBr) 3400, 2900, 1200; MS el m/z 454 (M+); CHN beregnet for C<sub>30</sub>H<sub>34</sub>N<sub>2</sub>O<sub>2</sub>.

**Eksempel nr. 125 2-(4-klorfenyl)-3-metyl-1-[4-(2-piperidin-1-yletoksy)-benzyl]-1H-indol-5-ol (HCl)**

Smp = 161 – 164°C; <sup>1</sup>H NMR (DMSO) 10,12 (brs, 1 H), 8,80 (s, 1 H), 7,53 (d, 2 H, J = 8,3 Hz), 7,36 (d, 2 H, J = 8,8 Hz), 7,12 (d, 1 H, J = 8,8 Hz), 6,85 – 6,75 (m, 5

H), 6,63 (dd, 1 H, J = 8,8 Hz, J = 2,4 Hz), 5,14 (s, 2 H), 4,29 – 4,22 (m, 2 H), 3,45 – 3,36 (m, 4H), 2,97 – 2,84 (m, 2 H), 2,11 (s, 3 H), 1,83 – 1,61 (m, 5 H), 1,37 – 1,25 (m, 1 H); MS el m/z 475 (M+); CHN beregnet for C<sub>29</sub>H<sub>31</sub>ClN<sub>2</sub>O<sub>2</sub> + HCl + .25 H<sub>2</sub>O.

5

**Eksempel nr. 126 2-(2,4-dimetoksyfenyl)-3-metyl-1-[4-(2-piperidin-1-yletoksy)-benzyl]-1H-indol-5-ol**

Smp = 85 - 92°C; <sup>1</sup>H NMR (DMSO) 8,62 (s, 1 H), 7,10 (d, 1 H, J = 8,4 Hz), 7,01 (d, 1 H, J = 8,6 Hz), 6,80 – 6,70 )m, 5 H), 6,69 (d, 1 H, 2,2 Hz), 6,59 (dd, 1 H, J = 2,4 Hz, 8,5 Hz), 6,52 (dd, 1 H, J = 2,4 Hz, 8,8 Hz), 5,02 (d, 1 H, J = 6,5 Hz), 4,83 (d, 1 H, J = 6,3 Hz), 4,0 – 3,90 (m, 2 H), 3,80 (s, 3 H), 3,67 (s, 3 H), 2,65 – 2,50 (m, 2 H), 2,45 – 2,30 (m, 4 H), 2,0 (s, 3 H), 1,55 – 1,40 (m, 4 H), 1,39 – 1,30 (m, 2 H); IR (KBr) 3400, 2900, 1520, 1250; MS el m/z 500 (M+); CHN beregnet for C<sub>31</sub>H<sub>36</sub>N<sub>2</sub>O<sub>4</sub> + .05 CH<sub>2</sub>Cl<sub>2</sub>.

10

**Eksempel nr. 127 2-(3-hydroksyfenyl)-3-metyl-1-[4-(2-piperidin-1-yletoksy)-benzyl]-1H-indol-5-ol**

Smp = 115 - 118°C; <sup>1</sup>H NMR (DMSO) 9,57 (s, 1 H), 8,71 (s, 1 H), 7,27 – 7,23 (t, 1 H, J = 8,1 Hz), 7,06 – 7,04 (d, 1 H, J = 8,8 Hz), 6,81 – 6,74 (m, 8 H), 6,59 – 6,56 (dd, 1 H, J = 2,3 Hz, J = 6,3 Hz), 5,12 (s, 2 H), 3,94 – 3,91 (t, 2 H, J = 5,9 Hz), 2,57 – 2,54 (t, 2 H, J = 5,8 Hz), 2,36 (s, 4 H), 2,11 (s, 3 H), 1,45 – 1,41 (m, 4 H), 1,34 – 1,33 (m, 2 H); IR (KBr) 3400, 2900 cm<sup>-1</sup>; MS el m/z 456 (M+); CHN beregnet for C<sub>29</sub>H<sub>32</sub>N<sub>2</sub>O<sub>3</sub> + 1,0 H<sub>2</sub>O.

25

**Eksempel nr. 128 1-[4-(2-azepan-1-yletoksy)-benzyl]-2-(3-hydroksyfenyl)-3-metyl-1H-indol-5-ol**

Smp = 94 - 97°C; <sup>1</sup>H NMR (DMSO) 9,58 (s, 1 H), 8,71 (s, 1 H), 7,27 – 7,23 (t, 1 H, J = 7,9 Hz), 7,07 – 7,04 (d, 1 H, J = 8,7 Hz), 6,81 – 6,74 (m, 8 H), 6,59 – 6,56 (dd, 1 H, J = 2,4 Hz, J = 6,3 Hz), 5,12 (s, 2 H), 3,9 (m, 2 H), 2,80 (s, 2 H), 2,65 (s, 4 H), 2,11 (s, 3 H), 1,54 – 1,50 (m, 8 H); IR 3400, 2900 cm<sup>-1</sup>; MS el m/z 470 (M+); CHN beregnet for C<sub>30</sub>H<sub>34</sub>N<sub>2</sub>O<sub>3</sub> + 0,23 etylacetat.

**Eksempel nr. 129 2-(3-fluor-4-hydroksyfenyl)-3-metyl-1-[4-(2-piperidin-1-yletoksy)-benzy]-1H-indol-5-ol**

Smp = 117 - 119°C;  $^1\text{H}$  NMR (DMSO) 10,1 (s, 1 H), 8,71 (s, 1 H), 7,10 – 6,95 (m,

4 H), 6,80 (d, 1 H, J = 2,2 Hz), 6,74 (s, 4 H), 6,59 (dd, 1 H, J = 2,2 Hz, 8,5 Hz), 5,1

5 (s, 2 H), 3,93 (t, 2 H, J = 5,9 Hz), 2,56 (t, 2 H, J = 5,8 Hz), 2,44 – 2,30 (m, 4 H),

2,10 (s, 3 H), 1,45 – 1,40 (m, 4 H), 1,36 – 1,32 (m, 2 H); MS el m/Z 475 (M+);

CHN beregnet for  $\text{C}_{29}\text{H}_{31}\text{FN}_2\text{O}_3$ .

**Eksempel nr. 130 2-(3-fluor-4-hydroksyfenyl)-3-metyl-1-[4-azepan-1-yletoksy)-benzy]-1H-indol-5-ol**

Smp = 88 - 91°C;  $^1\text{H}$  NMR (DMSO) 10,10 (s, 1 H), 8,71 (s, 1 H), 7,12 – 6,94 (m, 4

H), 6,80 (d, 1 H, J = 2,2 Hz), 6,74 (s, 4 H), 6,58 (dd, 1 H, J = 2,2 Hz, 8,5 Hz), 5,10

(s, 2 H), 3,91 (t, 2 H, J = 5,9 Hz), 2,76 (t, 2 H, J = 5,9 ) 2,72 – 2,60 (m, 4 H), 2,10

(s, 3 H), 1,70 – 1,40 (m, 8 H); MS el m/Z 488 (M+); CHN beregnet for  $\text{C}_{30}\text{H}_{33}\text{FN}_2\text{O}_3$ .

15

**Eksempel nr. 131 2-(3-metoksyfenyl)-3-metyl-1-[4-(2-piperidin-1-yletoksy)-benzy]-1H-indol-5-ol**

Smp = 120 - 123°C;  $^1\text{H}$  NMR (DMSO) 8,76 (s, 1 H), 7,42 – 7,46 (5, 1 H, J = 7,9

Hz), 7,12 – 7,09 (d, 1 H, J = 8,7 Hz), 6,99 – 6,92 (m, 2 H), 6,86 – 6,83 (m, 2 H),

20 6,76 (s, 4 H), 6,63 – 6,60 (dd, 1 H, J = 2,1 Hz, J = 6,5 Hz), 5,14 (s, 2 H), 3,96 –

3,92 (t, 2 H, J = 5,9 Hz), 3,70 (s, 3 H), 2,59 – 2,55 (t, 2 H), J = 5,9 Hz), 2,37 (s, 4

H), 2,14 (s, 3 H), 1,49 – 1,44 (m, 4 H), 1,35 – 1,34 (m, 2 H); IR 3400, 2950, 1600

$\text{cm}^{-1}$ ; MS el m/z 471 (M+); CHN beregnet for  $\text{C}_{30}\text{H}_{34}\text{N}_2\text{O}_3$ .

25

**Eksempel nr. 132 3-metyl-1-[4-(2-piperidin-1-yletoksy)-benzy]-2-(4-trifluormetoksyfenyl)-1H-indol-5-ol**

Smp = 122 - 125°C;  $^1\text{H}$  NMR (DMSO) 8,80 (s, 1 H), 7,51 – 7,45 (m, 4 H), 7,17 –

7,14 (d, 1 H, J = 8,7 Hz), 6,85 – 6,84 (d, 1 H, J = 2,0 Hz), 6,75 – 6,69 (m, 4 H),

6,66 – 6,62 (m, 1 H), 5,14 (s, 2 H), 3,95 – 3,92 (t, 2 H, J = 5,8 Hz), 2,59 – 2,55 (t, 2

30 H, J = 5,6 Hz), 2,49 – 2,38 (m, 4 H), 2,13 (s, 3 H), 1,46 – 1,44 (m, 4 H), 1,36 –

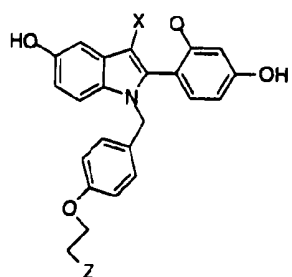
1,34 (d, 2 H, J = 4,8 Hz); IR 3400, 2900, 1600  $\text{cm}^{-1}$ ; MS el m/z 525 (M+); CHN

beregnet for  $\text{C}_{30}\text{H}_{31}\text{F}_3\text{N}_2\text{O}_3 + 0,25 \text{ H}_2\text{O}$ .

**Synteseprosedyrer og fysiske data for forbindelser substituert med klor, etyl  
eller cyanogrupper i 3-posisjonen til indolet**

5

10



**Tabell 8**

	X	Q	Z
Nr. 133	Cl	H	
Nr. 134	Cl	H	
Nr. 135	Cl	H	
Nr. 136	Cl	CH <sub>3</sub>	
Nr. 137	Et	H	
Nr. 138	CN	H	
Nr. 139	CN	H	

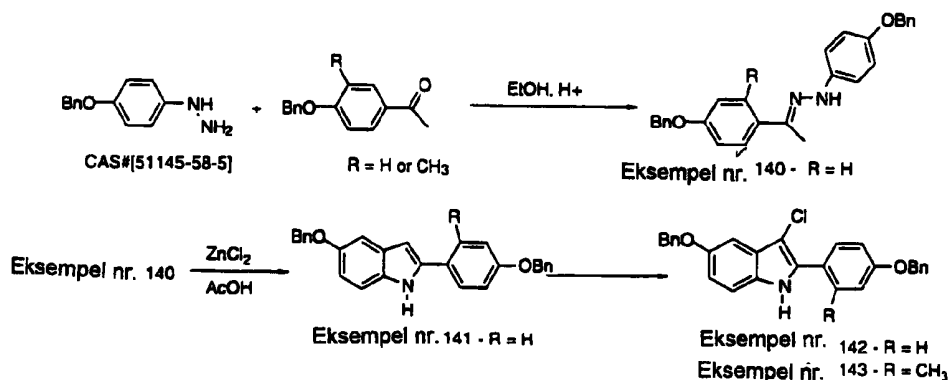
### Syntese av 3-kloranaloger nr. 113 – nr. 136

**Skjema 14**

**Syntese av 3-klorindol**

5

10



15

**Eksempel nr. 140                      Dannelse av hydrazon**

4-benzyloksyfenylhydrazin CAS nr. [51145-58-5] (50,0 g, 233,4 mmol) ble blandet med 4-benzyloksyacetofenon CAS nr. [54696-05-8] (63,0 g, 2,80,0 mmol) i ren etanol (800 ml). En katalytisk mengde eddiksyre (5 dråper) ble tilsatt. Reaksjonen ble oppvarmet til tilbakeløp i 2,5 timer. I løpet av tilbakstrømingen stivnet det kondenserte produktet ut av den varme løsningen. Reaksjonen ble kjølt ned til romtemperatur. Det ønskete produktet ble samlet ved vakuumfiltrering som et lysegult faststoff (85 g, 86%). Smp = 165 - 174°C; <sup>1</sup>H NMR (DMSO) 8,91 (s, 1 H), 7,68 (d, 2 H, J = 8,8 Hz), 7,48 – 7,32 (m, 10 H), 7,12 (d, 2 H, J = 9 Hz) 7,00 (d, 2 H, J = 8,8 Hz), 6,88 (d, 2 H, J = 9,0 Hz), 5,11 (s, 2 H), 5,01 (s, 2 H), 2,17 (s, 3 H); MS ei m/z 422 (M<sup>+</sup>).

**Eksempel nr. 141    Dannelse av indol fra hydrazon: 5-benzyloksy-2-(4-benzyloksyfenyl)-1H-indol**

En flaske ble tilført N-(4-benzyloksyfenyl)-N'-(1-(4-benzyloksyfenyl)-etyliden)-hydrazin (nr. 140) 10,0 g, 23,7 mmol), ZnCl<sub>2</sub> (8,06 g, 59,17 mmol), eddiksyre (70ml). Reaksjonsflasken ble oppvarmet til 105°C i ikke mer enn 20 min. I løpet av oppvarmingsperioden ble reaksjonen forsiktig registrert ved TLC for fjerning av

utgangsmaterialet. Progresjon av reaksjonen kunne bli vist når produktet stivnet ut av løsningen ved oppvarming. Reaksjonen ble deretter avkjølt til rt, og ytterligere produkt som stivnet, ble observert. Reaksjonsinnholdet ble helt inn i en skilletrakt inneholdende eter (100 ml) og H<sub>2</sub>O (200 ml), som ble omfattende omrørt. Den

- 5 uoppløselige resten som ønsket produkt forble i eterlaget som ble samlet ved vakuumfiltrering. Produktet ble ytterligere renset ved triturering i eter for å tilveiebringe et lysegrått faststoff (4,4 g, 46%).

Smp = 202 - 204°C: <sup>1</sup>H NMR (DMSO) 11,24 (s, 1 H), 7,73 (d, 2 H), J = 8,8 Hz), 7,48 – 7,41 (m, (4 H), 7,45 – 7,27 (m, 6 H), 7,25 (d, 1 H, J = 8,6 Hz), 7,12 – 7,04 (m, 3 H), 6,77 (dd, 1 H, J = 2,4 Hz, 8,6 Hz), 6,65 (d, 1 H, J = 1,5 Hz), 5,14 (s, 2 H), 5,08 (s, 2 H); IR 3420, 3000, 1625 cm<sup>-1</sup>; MS el m/z 405 (M<sup>+</sup>); CHN beregnet for C<sub>29</sub>H<sub>23</sub>NO<sub>2</sub> + 0,40 H<sub>2</sub>O.

#### **Eksempel nr. 142 Klorinering av indol for tilveiebringning av 5-benzyloksy-3-klor-2-(4-benzyloksyfenyl)-1H-indol**

15 En flaske ble tilført 5-benzyloksy-2-(4-benzyloksyfenyl)-1H-indol nr. 141 (8,0 g, 20,0 mmol) og CH<sub>2</sub>Cl<sub>2</sub> (50 ml). Reaksjonen ble avkjølt til 0°C, og n-klorsuksinimid (2,9 g, 22 mmol) ble tilsatt. Reaksjonen ble omrørt ved 0°C i 20 min. Reaksjonen ble deretter vasket med 10% natriumsulfittløsning, tørket over MgSO<sub>4</sub> og konsentrert. Til 20 det resulterende brune faststoffet ble det tilsatt MeOH, og blandingen ble omrørt i 15 min. Faststoffet ble filtrert for å tilveiebringe 6,8 g av et brunt faststoff (78%).

Smp = 157 - 160°C; <sup>1</sup>H NMR (DMSO) 11,5 (s, 1 H), 7,80 (d, 2 H, J = 7,0 Hz), 7,42 – 7,28 (m, 1 H), 7,17 (d, 2 H, J = 8,7 Hz), 7,01 (d, 1 H, J = 2,2 Hz), 6,88 (d, 1 H, J = 8,8 Hz, J = 2,4 Hz), 5,17 (s, 2 H), 5,13 (s, 2 H); MS el m/z 439 (M<sup>+</sup>).

25

#### **Eksempel nr. 143 5-benzyloksy-3-klor-2-(2-metyl-4-benzyloksyfenyl)-1H-indol**

Dette indolet syntetisert analogt med indol nr. 142 rett etter; Smp = <sup>1</sup>H NMR (DMSO) 11,34 (s, 1 H), 7,48 – 7,44 (m, 4 H), 7,42 – 7,24 (m, 8 H), 7,02 (dd, 2 H, J = 9,3 Hz, J = 2,4 Hz), 6,95 (dd, 1 H, J = 8,4 Hz, J = 2,6 Hz), 6,88 (dd, 1 H, J = 8,8 Hz, J = 2,4 Hz), 5,16 (s, 2 H), 5,14 (s, 2 H), 2,23 (s, 3 H); MS el m/z 453 (M<sup>+</sup>).

**Eksempel nr. 144 alkylering av indol for å tilveiebringe {4-[5-benzyloksy-2-(4-benzyloksyfenyl)-3-klorindol-1-ylmetyl]-fenoksy}-eddiksyreetylester**

Denne prosedyren ble utført analogt som beskrevet for syntese av 3-metylindoleddiksyreetylestere beskrevet i metode 3.

- 5 Smp = 90 – 94°C;  $^1\text{H}$  NMR (DMSO) 7,45 (d, 4 H, J = 7,8 Hz), 7,41 – 7,26 (m, 9 H), 7,14 (d, 2 H, J = 8,7 Hz), 7,04 (d, 1 H, J = 2,4 Hz), 6,91 (dd, 1 H, J = 9,0 Hz, J = 2,5 Hz), 6,80 – 6,74 (m, 4 H), 5,24 (s, 2 H), 5,15 (s, 2 H), 5,14 (s, 2 H), 4,66 (s, 2 H), 4,12 (q, 2 H, J = 7,2 Hz), 1,16 (t, 3 H, J = 7,5 Hz); MS el m/z 631 (M+).

10 **Eksempel nr. 145 reduksjon av nr. 144 for å gi nr. 145 2-{4-[5-benzyloksy-2-(4-benzyloksyfenyl)-3-klorindol-1-ylmetyl]-fenoksy}-etanol**

Denne reaksjonen ble utført analogt som beskrevet for syntese av 3-metylindoler beskrevet i metode 4. Forbindelsen var ikke renset eller karakterisert, men anvendt som oppnådd i neste trinn.

15 **Eksempel nr. 146 brominering av nr. 145 for å tilveiebringe benzyloksy-2-(4-benzyloksyfenyl)-1-[4-(2-brometoksy)-benzyl]-3-klor-1H-indol**

- Denne reaksjonen ble utført analogt som beskrevet for syntese av 3-metylindoler beskrevet i metode 5. Smp = 155 - 158°C;  $^1\text{H}$  NMR (DMSO) 7,45 (d, 4 H, J = 7,8 Hz), 7,41 – 7,25 (m, 9 H), 7,14 (d, 2 H, J = 8,7 Hz), 7,04 (d, 1 H, J = 2,4 Hz), 6,91 (dd, 1 H, J = 9,9 Hz, J = 2,5 Hz), 6,74 (s, 4 H), 5,24 (s, 2 H), 5,15 (s, 2 H), 5,14 (s, 2 H), 4,20 (t, 2 H, J = 5,3 Hz), 3,74 (t, 2 H, J = 5,3 Hz); MS el m/z 651 (M+).

25 **Eksempel nr. 147 substitusjon av nr. 146 med piperidin for å tilveiebringe 5-benzyloksy-2-(4-benzyloksyfenyl)-3-klor-1-[4-(2-piperidin-1-yletoksy)-benzyl]-1H-indol**

- Denne reaksjonen ble utført analogt med det som er beskrevet for syntese av 3-metylindoler beskrevet i metode 6 ved anvendelse av piperidin for å substituere bromid.

Smp = 96 - 98°C;  $^1\text{H}$  NMR (DMSO) 7,45 (d, 4 H, J = 7,8 Hz), 7,40 – 7,30 (m, 9 H), 7,14 (d, 2 H, J = 8,7 Hz), 7,04 (d, 1 H, J = 2,4 Hz), 6,91 (dd, 1 H, J = 9,0 Hz, J = 2,5 Hz), 6,74 (s, 4 H), 5,24 (s, 2 H), 5,15 (s, 2 H), 5,14 (s, 2 H), 3,93 (t, 2 H, J = 6,0

Hz), 2,56 (t, 2 H, J = 6,0 Hz), 2,41 – 2,32 (m, 4 H), 1,48 – 1,39 (m, 4 H), 1,38 – 1,31 (m, 2H).

**Eksempel nr. 148 5-benzyloksy-2-(4-benzyloksyfenyl)-3-klor-1-[4-(2-azepan-1-yletoksy)-benzyl]-1H-indol**

Reaksjonen ble utført på samme måte som ovenfor med unntakelse av substituerende amin som ble anvendt var heksametylenamin.

Smp = 94 - 97°C;  $^1\text{H}$  NMR (DMSO) 7,45 (d, 4 H, J = 7,8 Hz), 7,42 – 7,30 (m, 9 H), 7,14 (d, 2 H, j = 8,7 Hz), 7,04 (d, 1 H, J = 2,4 Hz), 6,91 (dd, 1 H, J = 9,0 Hz, J = 2,5 Hz), 6,74 (s, 4 H), 5,24 (s, 2 H), 5,15 (s, 2 H), 5,14 (s, 2 H), 3,93 (t, 2 H, J = 6,9 Hz), 6,74 (s, 4 H), 5,24 (s, 2 H), 5,15 (s, 2 H), 5,14 (s, 2 H), 3,93 (t, 2 H, J = 6,0 Hz), 2,75 (t, 2 H, J = 6,0 Hz), 2,63 – 2,59 (m, 4 H), 1,58 – 1,44 (m, 4 H); MS el m/z 671 (M+).

**Eksempel nr. 149 5-benzyloksy-2-(2-metyl-4-benzyloksyfenyl)-3-klor-1-[4-(2-piperidin-1-yletoksy)-benzyl]-1H-indol**

Reaksjoner for å danne denne forbindelsen var analoge med de som ble anvendt for å danne nr. 147.

Olje;  $^1\text{H}$  NMR (DMSO) 7,50 – 7,29 (m, 11 H), 7,17 (d, 1 H, J = 8,4 Hz), 7,05 (d, 1 H, J = 2,4 Hz), 7,02 (d, 1 H, J = 2,4 Hz), 6,93 – 6,85 (m, 2 H), 6,74 – 6,65 (m, 4 H, J = 5,9 Hz), 2,42 – 2,29 (m, 4 H), 1,94 (s, 3 H), 1,44 – 1,40 (m, 4 H), 1,38 – 1,34 (m, 2 H).

**Eksempel nr. 133 3-klor-2-(4-hydroksyfenyl)-1-[4-(2-pyrrolidin-1-yletoksy)-benzyl]-1H-indol-5-ol (HCl)**

Syntetisert som beskrevet for eksempel nr. 134.

Smp = 233 - 235°C;  $^1\text{H}$  NMR (DMSO) 10,50 (s, 1 H), 9,88 (s, 1 H), 9,01 (s, 1 H), 7,30 – 7,20 (m, 3 H), 6,90 – 6,80 (m, 7 H), 6,68 (dd, 1 H, J = 2,4 Hz, 8,8 Hz), 5,20 (s, 2 H), 4,22 (t, 2 H, J = 4,8 Hz), 3,47 (t, 2 H, J = 4,8 Hz), 3,10 (bm, 4 H), 1,90 (s, 4 H); IR (KBr) 3400, 1625, 1475, 825  $\text{cm}^{-1}$ ; MS el m/z 462 (M+); CHN beregnet for  $\text{C}_{27}\text{H}_{27}\text{ClN}_2\text{O}_3 + 1 \text{HCl} + .75 \text{ H}_2\text{O}$ .

**Eksempel nr. 134 fjerning av benzyletere for å tilveiebringe 3-klor-2-(4-hydroksyfenyl)-1-[4-(2-piperidin-1-yletoksy)-benzyl]-1H-indol-5-ol (HCl)**

Benzyletere ble fjernet analogt med prosedyren beskrevet for 3-metylindoler beskrevet i metode 7. Denne forbindelsen ble deretter omdannet til hydrokloridsaltet

5 som tidligere beskrevet i metode 8; Smp = 207 - 209°C; <sup>1</sup>H NMR (DMSO) 10,10 (bs, 1 H); 9,86 (s, 1 H), 9,07 (s, 1 H), 7,26 (d, 2 H, J = 8,6 Hz), 7,22 (d, 1 H, J = 8,8 Hz), 6,87 (d, 2 H, J = 8,6 Hz), 6,81 – 6,78 (m, 5 H), 6,65 (dd, 1 H, J = 8,8 Hz, J = 2,2 Hz), 5,20 (s, 2 H), 4,27 (t, w H, J = 5,9 Hz), 3,44 – 3,37 (m, 4 H), 3,00 – 2,85 (m, 2 H), 1,81 – 1,60 (m, 5 H), 1,41 – 1,26 (m, 1 H); IR (KBr) 3350, 1470, 1250 cm<sup>-1</sup>; MS el m/z 476 (M+); CHN beregnet for C<sub>28</sub>H<sub>29</sub>ClN<sub>2</sub>O<sub>3</sub> + HCl + 1,5 H<sub>2</sub>O.

10

**Eksempel nr. 135 3-klor-2-(4-hydroksyfenyl)-1-[4-(2-azepan-1-yletoksy)-benzyl]-1H-indol-5-ol (HCl)**

Syntetisert som beskrevet for nr. 134.

15 Smp = 196 - 198°C; <sup>1</sup>H NMR (DMSO) 10,10 (brs, 1 H), 9,86 (s, 1 H), 9,07 (s, 1 H), 7,26 (d, 2 H, J = 8,8 Hz), 7,22 (d, 1 H, J = 9,0 Hz), 6,87 (d, 2 H, J = 8,6 Hz), 6,84 – 6,78 (m, 5 H), 6,65 (dd, 1 H, J = 8,8 Hz, J = 2,2 Hz), 5,209 (s, 2 H), 4,27 (t, 2 H, J = 5,0 Hz), 3,45 – 330 (m, 4 H), 3,21 – 3,10 (m, 2 H), 1,82 – 1,76 (m, 4 H), 1,65 – 1,46 (m, 4 H); MS el m/z 491 (M+).

20 CHN beregnet for C<sub>29</sub>H<sub>31</sub>ClN<sub>2</sub>O<sub>3</sub> + 1 HCl + .37 H<sub>2</sub>O; IR (KBr) 3400, 3200, 1450, 1125.

**Eksempel nr. 136 3-klor-2-(4-hydroksy-2-metylfenyl)-1-[4-(2-piperidin-1-yletoksy)-benzyl]-1H-indol-5-ol**

25 Syntetisert som beskrevet for nr. 134 med unntakelse av at forbindelsen ikke ble omdannet til et salt.

Skum; <sup>1</sup>H NMR (DMSO) 9,64 (s, 1 H), 9,01 (s, 1 H), 7,25 (d, 1 H, J = 8,8 Hz), 7,03 (d, 1 H, J = 8,1 Hz), 6,79 (d, 1 H, J = 2,4 Hz), 6,78 – 6,65 /m, 7 H), 5,06 – 4,92 (m, 2 H), 3,94 (t, 2 H, J = 5,9 Hz), 2,62 – 2,57 (m, 2 H), 2,42 – 2,32 (m, 4 H), 1,90 (s, 3 H), 1,48 – 1,49 (m, 4 H), 1,40 – 1,32 (m, 2 H); MS el m/z 490 (M+); IR (KBr) 3430, 2900, 1450 cm<sup>-1</sup>; CHN beregnet for C<sub>29</sub>N<sub>31</sub>ClN<sub>2</sub>O<sub>3</sub> + 1,0 H<sub>2</sub>O.

### Syntese av 3-etylindol analog nr. 137

Denne forbindelsen ble syntetisert analogt med eksempelet gitt for 3-metylindoler, ovenfor, ved anvendelse av metodene 1 og 2-8. Den eneste forskjellen er at utgangsmaterialet som ble anvendt, er 4'-(benzyløksy)-butyrofenon CAS nr.

- 5 [26945-71-1] istedenfor 4'-(benzyløksy)-propiofenon. Data for mellomproduktene er som følger.

### Eksempel nr. 150 5-benzyløksy-2-(4-benzyløksyfenyl)-3-etyl-1H-indol

Smp = 101 - 198°C; MS el m/z 433 (M+).

10

### Eksempel nr. 151 {4-[5-benzyløksy-2-(4-benzyløksyfenyl)-3-etylindol-1-ylmetyl]-fenoksy}-eddiksyreetylester

Smp = 72 - 75°C; MS el m/z 625 (M+).

15

### Eksempel nr. 152 2-{4-[5-benzyløksy-2-(4-benzyløksyfenyl)-3-etylindol-1-ylmetyl]-fenoksy}-etanol

Smp = 105 - 113°C; MS el m/z 583 (M+).

20

### Eksempel nr. 153 benzyløksy-2-(4-benzyløksyfenyl)-1-[4-(2-brometoksy)-benzyl]-3-etyl-1H-indol

Smp = 140°C; (decomp.); MS el m/z 647, 645 (M+, Br til stede).

25

### Eksempel nr. 154 5-benzyløksy-2-(4-benzyløksyfenyl)-3-etyl-1-[4-(2-piperidin-1-yletoksy)-benzyl]-1H-indol

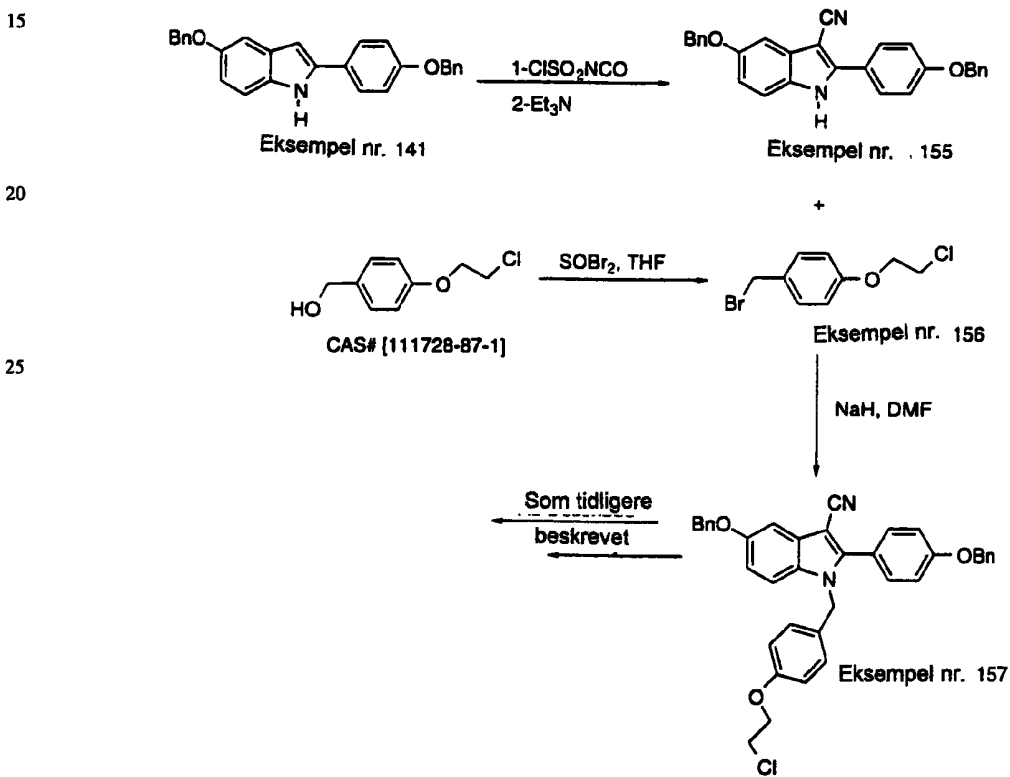
- Smp = 92 - 96°C;  $^1\text{H}$  NMR (DMSO) 7,47 (d, 4 H, J = 7,2 Hz), 7,42 – 7,39 (m, 4 H), 7,36 – 7,30 (m, 2 H), 7,27 (d, 2 H, J = 8,6 Hz), 7,18 (d, 1 H, J = 8,8 Hz), 7,14 (d, 1 H, J = 2,4 Hz), 7,10 (d, 2 H, J = 8,8 Hz), 6,79 (dd, 1 H, J = 8,8 Hz, 2,2 Hz), 6,73 (s, 4 H), 5,13 (s, 2 H), 5,11 (s, 4 H), 3,93 (t, 2 H, J = 5,9 Hz), 2,62 – 2,53 (m, 4 H), 2,40 – 2,33 (m, 4 H), 1,49 – 1,42 (m, 4 H), 1,37 – 1,39 (m, 2 H), 1,10 (t, 3 H, J = 7,2); MS el m/z 650 (M+H+).

**Eksempel nr. 137 2-(4-hydroksyfenyl)-3-etyl-1-[4-(2-piperidin-1-yletoksy)-benzyl]-1H-indol-5-ol (HCl)**

Smp = 160 - 164°C;  $^1\text{H}$  NMR (DMSO) 9,78 (br s, 1 H), 9,69 (s, 1 H), 8,60 (s, 1 H), 7,14 (d, 2 H, J = 8,6 Hz), 7,05 (d, 1 H, J = 8,6 Hz), 6,87 – 6,78 (m, 7 H), 6,56 (dd, 1 H, J = 8,8 Hz, 2,4 Hz), 5,08 (s, 2 H), 4,25 (t, 2 H, J = 4,4 Hz), 3,45 – 3,38 (m, 5 H), 3,00 – 2,86 (m, 2 H), 2,57 – 2,50 (m, 2 H), 1,83 – 1,59 (m, 5 H), 1,41 – 1,28 (m, 1 H), 1,19 (t, 2 H, J = 7,5 Hz); IR (KBr) 3400 br, 3200 br, 2920, 1610  $\text{cm}^{-1}$ ; MS el m/z 470 (M?); CHN beregnet for  $\text{C}_{30}\text{H}_{34}\text{N}_2\text{O}_3 + \text{HCl} + 1,5 \text{ H}_2\text{O}$ .

10 **Skjema 15**

**Syntese av 3-cyanoindol analoger**



**Eksempel nr. 155 5-benzyloksy-3-cyano-2-(4-benzyloksyfenyl)-1H-indol**

I en reaksjonsflaske ble 5-benzyloksy-2-(4-benzyloksyfenyl)-1H-indol nr. 141 (5,90 g, 14,6 mmol) blandet med CH<sub>2</sub>Cl<sub>2</sub> (90 ml) og nedkjølt til 0°C (utgangsmaterialet ble ikke fullstendig oppløst i CH<sub>2</sub>Cl<sub>2</sub>). Ven omfattende omrøring

5 ble en løsning av klorsulfonylisocyanat (2,26 g, 16,0 mmol) i CH<sub>2</sub>Cl<sub>2</sub> (25 ml) tilsatt dråpevis over en periode på 45 min. Reaksjonen ble kjørt ved 0°C i 2 t. mens detektering med TLC for dannelsen av uoppløselig N-klorsulfonylamid mellomprodukt. Etter denne perioden ble Et<sub>3</sub>N (1,47 g, 14,6 ml) i CH<sub>2</sub>Cl<sub>2</sub> (25 ml) dråpevis tilsatt over 45 min. ved 0°C. Den uoppløselige resten ble oppløselig i

10 reaksjonsoppløsningsmiddel i det Et<sub>3</sub>N tilsetningen nærmest var fullført. Reaksjonen ble fortsatt i ytterligere i 1 t. ved 0°C og 2 t. ved rt. Progresjon av reaksjonen kunne bli observert ved dannelse av uoppløselig faststoff av produktet når reaksjonstiden forløp. Løsningsmidlet ble stripet ned, og faststoffresten ble renset ved triturering med metanol for å tilveiebringe (4,0 g, 63,8%). Smp = 238 - 242°C; <sup>1</sup>H NMR (DMSO) 12,31 (s, 1 H), 7,88 (d, 2 H, J = 8,8 Hz), 7,48 (d, 4 H, J = 7,25 Hz), 7,55 – 7,30 (m, 7 H), 7,23 (d, 2 H, J = 8,8 Hz), 7,14 (d, 1 H, J = 2,4 Hz), 6,97 (dd, 1 H, J = 2,2 Hz, 8,8 Hz), 5,20 (s, 2 H), 5,17 (s, 2 H); MS el m/z 430 (M+).

20 **Eksempel nr. 156 4-(2-kloretoksy)benzylbromid**

Til 4-(2-kloretoksy)benzylalkohol CAS nr. [111728-87-1] (6,4 g, 34,31 mmol) i doksan (100 ml) ved 0°C ble det sakte tilsatt tionylbromid (7,13 g, 34,31 mmol). Reaksjonen ble kjørt ved 0°C etter 5 min. Reaksjonsblandingen ble fortynnet med eter (200 ml) og vasket med H<sub>2</sub>O (1,30 ml) og deretter NaHCO<sub>3</sub> (2 x 25 ml) og saltvann (30 ml). Det organiske ekstraktet ble tørket over MgSO<sub>4</sub> og konsentrert. Råproduktet ble renset ved silika gel kromatografi (15% EtOAc/heks) for å tilveiebringe 5,0 g (58%) av ønsket produkt. Smø = 64-66°C; <sup>1</sup>H NMR (DMSO) 7,37 (d, 2 H, J = 8,8 Hz), 6,93 (d, 2 H, J = 8,8 Hz), 4,68 (s, 2 H), 4,24 (t, 2 H, J = 5,05 Hz), 3,93 (t, 2 H, J = 5,27 Hz); MS el m/z 248 (M+).

**Eksempel nr. 157 benzyløksy-2-(4-benzyløksyfenyl)-1-[4-(2-kloretoksy)-benzyl]-3-cyano-1H-indol**

I en reaksjonsflaske ble 3-cyanoindol utgangsmateriale nr. 155 (2,86 g, 6,64 mmol) løst opp i DMF (25 ml) ved 0°C, og det ble sakte tilsatt NaH (191,2 mg, 8 mmol). Reaksjonen ble omrørt ved 0°C i 20 min. I en separat reaksjonsflaske inneholdende 4-(2-kloretoksy)benzylbromid nr. 156 (1,81 g, 7,28 mmol) i DMF (15 ml) ved 0°C ble ovennevnte indolanionløsning tatt opp med sprøyte, sakte tilsatt. Reaksjonen ble omrørt ved 0°C i 20 min. og fremmet til rt i 1 t. Reaksjonen ble stoppet med noen få dråper H<sub>2</sub>O. Reaksjonsblandingne ble fordelt mellom EtOAc (2 x 100 ml) og H<sub>2</sub>O (80 ml). Det organiske ekstraktet ble vasket med saltvann (80 ml), tørket over MgSO<sub>4</sub> og konsentrert. Råproduktet ble renset ved triturering med eter for å tilveiebringe produktet som et hvitt faststoff (2,80 g. 70,4%). Smp = 160-162°C; <sup>1</sup>H NMR (DMSO) 7,53 – 7,28 (m, 13 H), 7,23 (m, 3 H), 6,97 (dd, 1 H, J = 2,4 Hz, 9,0 Hz), 6,86 – 6,78 (m, 4 H), 5,37 (s, 2 H), 5,18 (s, 4 H), 4,15 (t, 2 H, J = 4,8 Hz), 3,87 (t, 2 H, J = 5,3 Hz); MS el m/z 598 (M+).

**Eksempel nr. 158 og 159**

Substitusjon av klorgruppen med piperidin og heksametylenamin ble utført analogt med prosedyren beskrevet i metode 6 ved anvendelse av nr. 157 som et utgangsmateriale.

**Eksempel nr. 158 5-benzyløksy-2-(4-benzyløksyfenyl)-3-cyano-1-[4-(2-piperidin-1-yl-etoxy)-benzyl]-1H-indol**

Smp = 148 - 150°C; <sup>1</sup>H NMR (MSO) 7,54 – 7,30 (m, 13 H), 7,25 – 7,18 (m, 3 H), 6.98 (dd, 1 H, J = 2,4 Hz, 9,0 Hz), 6,84 – 6,74 (m, 4 H), 5,35 (s, 2 H), 5,17 (s, 4 H), 3,94 (t, 2 H, 5,9 Hz), 2,55 (t, 2 H, 5,7 Hz), 2,35 (bs, 4 H), 1,50 – 1,40 (m, 4 H), 1,38 – 1,25 (m, 2 H); IR 3400, 2910 2250, 1250 cm<sup>-1</sup>; MS FAB 648 [M+H]<sup>+</sup>.

**Eksempel nr. 159 5-benzyløksy-2-(4-benzyløksyfenyl)-3-cyano-1-[4-(2-azepan-1-yletoksy)-benzyl]-1H-indol**

<sup>1</sup>H NMR (DMSO) 8,60 (br s, 1 H), 7,80 – 7,28 (m, 12 H), 7,25 – 7,16 (m, 3 H), 6,97 (dd, 1 H, J = 2,4 Hz, 9,0 Hz), 6,88 – 6,75 (m, 4 H), 5,35 (s, 2 H), 5,17 (s, 4 H), 3,92

(t, 2 H, J = 6,2 Hz), 3,08 – 3,00 (m, 2 H), 2,77 (t, 2 H, J = 5,9 Hz), 2,63 (t, 4 H, J = 4,8 Hz), 1,78 – 1,68 (m, 2 H), 1,60 – 1,40 (m, 4 H); MS el m/z (M+).

### **Eksemplene nr. 138 og nr. 139**

Benzyletere ble fjernet ved hydrogenoverføring ved anvendelse av 1,4-cyklohekadien og 10% Pd/C som beskrevet i metode 7. Forbindelser ble omdannet til deres respektive hydrokloridsalter som beskrevet i metode 8.

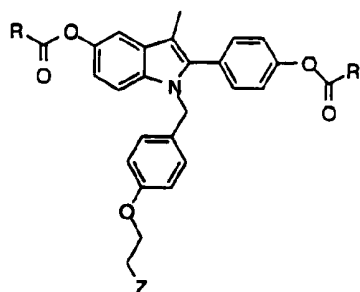
#### **Eksempel nr. 138 5-hydroksy-2-(4-hydroksyfenyl)-1-[4-(2-piperidin-1-yletoksy)-benzyl]-1H-indol-3-karbonitril (HCl)**

Smp = 173 – 175°C;  $^1\text{H}$  NMR (DMSO) 10,40 (s, 1 H), 0,12 (s, 1 H), 9,40 (s, 1 H), 7,38 (m, 2 H), 7,30 (d, 1 H, J = 8,8 Hz), 7,02 – 6,90 (m, 3 H), 6,88 (s, 4 H), 6,75 (dd, 1 H, J = 2,4 Hz, 9 Hz), 5,33 (s, 2 H), 4,30 (t, 2 H, J = 4,8 Hz), 3,51 – 3,38 (m, 4 H), 2,92 (m, 2 H), 1,85 – 1,73 (m, 4 H), 1,68 – 1,59 (m, 1 H), 1,26 – 1,21 (m, 1 H); IR 3400, 2200, 1250  $\text{cm}^{-1}$ ; MS el m/z 467 (M+); CHN beregnet for  $\text{C}_{29}\text{H}_{29}\text{N}_3\text{O}_3 + 1,0 \text{ HCl} + 1,0 \text{ H}_2\text{O}$ .

#### **Eksempel nr. 139 1-[4-(2-azepan-1-yl-etoksy)-benzyl]-5-hydroksy-2-(4-hydroksyfenyl)-1H-indol-3-karbonitril (HCl)**

Smp = 160 - 163°C;  $^1\text{H}$  NMR (DMSO) 10,22 (s, 1 H), 10,08 (s, 1 H), 9,35 (s, 1 H), 7,40 – 7,37 (m, 2 H), 7,30 (d, 1 H, 8,8 Hz), 7,0 – 6,90 (m, 3 H), 6,87 (s, 4 H), 6,74 (dd, 1 H, J = 2,41 Hz, 9 Hz), 5,33 (s, 2 H), 4,27 (t, 2 H, J = 5,0 Hz), 3,50 – 3,30 (m, 4 H), 3,20 (m, 2 H), 1,85 – 1,70 (m, 4 H), 1,65 – 1,50 (m, 4 H); IR 3300, 2200, 1250  $\text{cm}^{-1}$ ; MS el m/z 481 (M+); CHN beregnet for  $\text{C}_{30}\text{H}_{31}\text{N}_3\text{O}_3 + 1 \text{ HCl} + 1 \text{ H}_2\text{O}$ .

**Estere av indol nr. 97 og 98**



10 **Tabell 9**

Eksempel nr.	R	Z
Nr. 160	Et	
Nr. 161	t-Bu	
Nr. 162	t-Bu	

15 **Metode 9**

20 **Eksempel nr. 162 di-pivalatester av 2-(4-hydroksyfenyl)-3-metyl-1-[4-2-piperidin-1-yletoksy)-benzyl]-1H-indol-5-ol**

Eksempel nr. 97 fri base ble anvendt som utgangsmateriale i denne syntesen.

Nr. 97 (1,0 g, 2,5 mmol) i 20 ml CH<sub>2</sub>Cl<sub>2</sub> ble behandlet med diisopropyletylamin (0,7 g, 6,3 mmol) og katalytisk DMAP. Reaksjonen ble avkjølt til 0°C og behandlet med

25 pivaloylklorid (0,7 ml, 5,6 mmol) og latt komme til rt og omrørt over natt. Reaksjonen ble opparbeidet ved fortynning med CH<sub>2</sub>Cl<sub>2</sub> og vasket med vann og saltvann. Etter tørking over MgSO<sub>4</sub> ble løsningen konsentrert og kromatografert på silika gel

(MeOH/CH<sub>2</sub>Cl<sub>2</sub>, 1:19) for å tilveiebringe det ønskete materialet som et oransjefarvet skum (1,08 g). Dette materialet ble deretter tatt opp i 15 ml etylacetat og behandlet

30 med 2,5 ml av en 1 M HCl/Et<sub>2</sub>O løsning. Heksan ble tilstatt helt til løsningen ble sløret. Produktet presipiterte ut som HCl saltet. Dette materialet ble omkristallisert fra etylacetat/heksan for tilveiebringning av 0,42 g ren nr. 162; Smp = 182 - 185°C; CHN beregnet for C<sub>39</sub>H<sub>48</sub>N<sub>2</sub>O<sub>5</sub> + HCl + 0,25 H<sub>2</sub>O.

**Eksempel nr. 160 di-propionat av 1-[4-(2-azepan-1-yletoksy)-benzyl]-2-(4-hydroksyfenyl)-3-metyl-1H-indol-5-ol HCl**

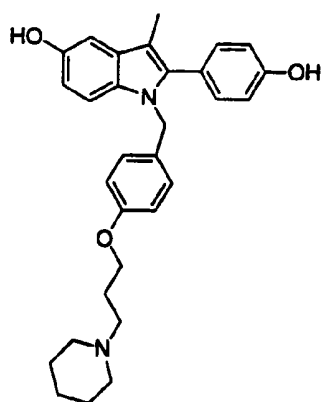
Forbindelsen ble analogt fremstilt som eksempel nr. 162 med unntakelse av at anvendt utgangsmateriale var eksempel nr. 98 og acyleringsmidlet som ble anvendt, 5 var prionylklorid. Smp = 170,5 - 172°C CHN beregnet for C<sub>36</sub>H<sub>42</sub>N<sub>2</sub>O<sub>5</sub> + HCl + 0,75 H<sub>2</sub>O; MS FAB 605 (M+Na)+.

**Eksempel nr. 161 di-pivalat av 1-[4-(2-azepan-1-yletoksy)-benzyl]-2-(4-hydroksyfenyl)-3-metyl-1H-indol-5-ol (HCl)**

10 Forbindelsen ble fremstilt analogt med eksempel nr. 162 med unntakelse av at utgangsmaterialet som ble anvendt, var eksempel nr. 98: Smp = 143 - 151°C; CHN beregnet for C<sub>40</sub>H<sub>50</sub>N<sub>2</sub>O<sub>5</sub> + HCl + 0,75 H<sub>2</sub>O.

**Eksperimentelt for eksempel nr. 166**

15

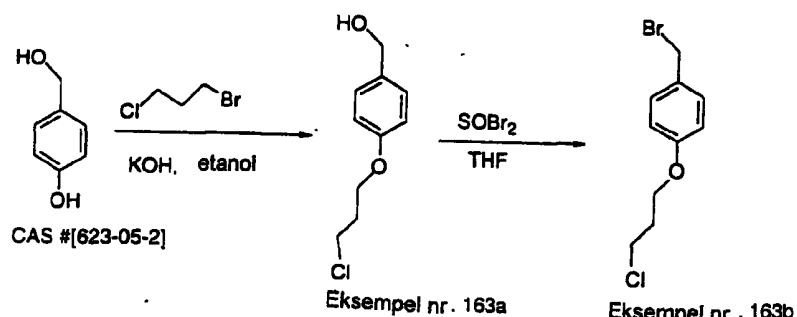


25

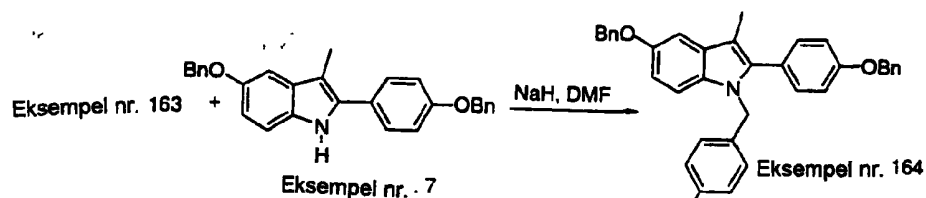
30

**Skjema 16****Syntese av nr. 166**

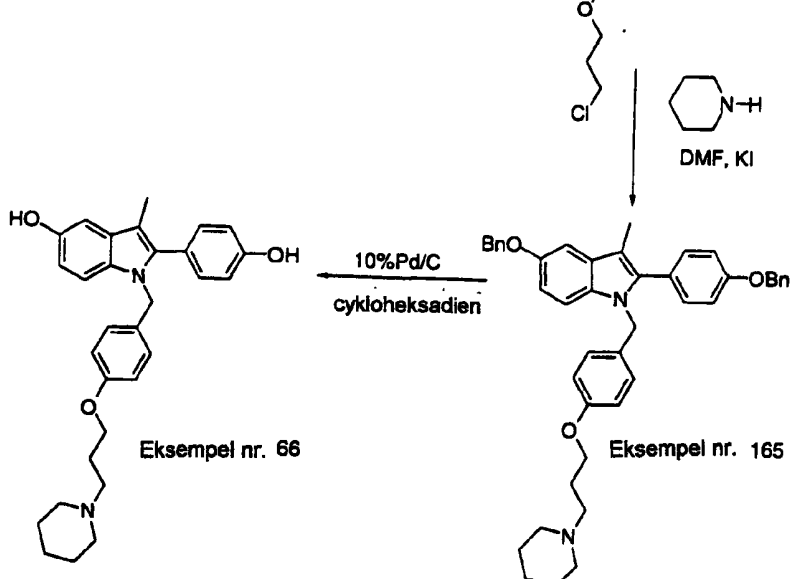
5



15



25



35

**EKSEMPEL Nr. 166****2-(4-hydroksyfenyl)-3-metyl-1-[4-[3-(piperidin-1-yl)-propoksy]-benzyl]-1H-indol-5-ol**

Tittelforbindelsen ble fremstilt ifølge skjema 16 og trinnene angitt nedenfor:

5

**Metode 11****Eksempel nr. 163a 4-(3-klorpropoksy)-benzylalkohol**

En løsning av 4-hydroksybenzylalkohol CAS nr. [623-05-2] (10 g, 80,5 mmol) i etanol (70 ml) ble behandlet med 1,3 bromklorpropan (16,0 g, 100 mmol) og

- 10 kaliumhydroksid (5,0 g, 89 mmol) ble tilbakestrømmet i 2 timer. Løsningen ble avkjølt og filtrert, og deretter ble filtratet konsentrert. Konsentratet ble tatt opp i eter og vasket med vann, saltvann og tørket over magnesiumsulfat. Materialet ble kromatografert på silika gel ved anvendelse av etylacetat/heksaner (3:7) for å tilveiebringe 11,6 g av produktet som et hvitt faststoff; Smp = 65°C.  $^1\text{H}$  NMR (DMSO) 7,21 (d, 2 H, J = 8,8 Hz), 6,88 (d, 2 H, J = 8,8 Hz), 5,03 (t, 1 H, J = 5,7 Hz), 4,40 (d, 2 H, J = 5,5 Hz), 4,05 (t, 2 H, J = 6,1 Hz), 3,77 (t, 2 H, J = 6,4 Hz); MS el m/z 200.
- 15

**Metode 12****Eksempel nr. 163b 4-(3-klorpropoksy)-benzylbromid**

- 20 En løsning bestående av 4-(3-klorpropoksy)-benzylalkohol nr. 162 (10,6 g, 52,8 mmol) i dioksan (0,125 l) ble avkjølt til 0°C og behandlet ved dråpevis tilsetning av tionylbromid (12,0 g, 58,9 mmol). Etter 10 minutter var reaksjonen fullført. Dioksan ble fortynnet med etyleter og vasket med vann, saltvann og deretter tørket over  $\text{MgSO}_4$ . Materialet ble konsentrert ned for å tilveiebringe 15 g av en olje:  $^1\text{H}$  NMR (DMSO) 7,36 (d, 2 H, J = 8,8 Hz), 6,92 (d, 2 H, J = 8,6 Hz), 4,68 (s, 2 H), 4,08 (t, 2 H, J = 5,9 Hz), 3,77 (t, 2 H, J = 6,4 Hz); MS (FAB) 266 ( $\text{M}+\text{H}^+$ ).
- 25

**Metode 13****Eksempel nr. 164 5-benzyløksy-2-(4-benzyløksyfenyl)-1-[4-(3-klorpropoksy)-benzyl]-3-metyl-1H-Indol**

En løsning bestående av 5-benzyløksy-2-(4-benzyløksyfenyl)-3-metyl-1H-indol nr. 7 (6,5 g, 15,5 mmol) i DMF (60 ml) ble avkjølt til 0°C og behandlet ved tilsetning

av natriumhydrid (0,68 g, 17,0 mmol) og omrørt i 20 minutter. En løsning av 4-(3-klorpropoksy)-benzylbromid nr. 163 i DMF (10ml) ble deretter sakte tilsatt.

Reaksjonen ble brakt til rt og omrørt i 2 timer. Reaksjonen ble helt i vann og

ekstrahert med etylacetat. Etylacetat ble vasket med vann, saltvann og tørket over

- 5 magnsisumsulfat og konsentrert. Konsentratet ble behandlet med metanol, og 5 g av ønsket produkt presipiterte som et hvitt faststoff med et smeltepunkt på 130-132°C.

### **Metode 14**

#### **Eksempel nr. 165 5-benzyloksy-2-(4-benzyloksyfenyl)-1-[4-(3-piperidin-1-**

- 10 **ylpropoksy)-benzyl]-3-metyl-1H-indol]**

En løsning av 5-benzyloksy-2-(4-benzyloksyfenyl)-1-[4-(3-klorpropoksy)-benzyl]-3-metyl-1H-indol nr. 164 (3 g, 5,1 mmol), kaliumjodid (2,5 g, 15,3 mmol) og piperidin (3,0 ml, 30,6 mmol) ble oppvarmet i DMF (30 ml) ved 100°C i 18 timer.

Reaksjonen ble opparbeidet ved å helle den i vann og ekstrahert med etylacetat. Det

- 15 organiske laget ble vasket med vann, saltvann og tørket over magnesiiumsulfat.

Lønsingen ble konsentrert til en olje, og produktet ble presipitert ut ved tilsetning av metanol. Produktet ble oppnådd som et hvitt faststoff: Smp = 104-106°C. <sup>1</sup>H NMR

(DMSO) 7,47 (d, 4 H, J = 7,5 Hz), 7,38 (1, 4 H, J = 7,9 Hz), 7,36 – 7,30 (m, 1 H),

7,28 (d, 2 H, J = 8,3 Hz), 7,19 (d, 1 H, J = 8,8 Hz), 7,12 – 7,10 (m, 4 H), 6,80 (dd, 1

- 20 H, J = 8,8, 2,0 Hz), 6,72 (s, 4 H), 5,14 (m, 6 H), 2,14 (s, 3 H), 1,78 – 1,75 (m, 2 H), 1,47 – 1,42 (m, 4 H), 1,40 – 1,31 (m, 2 H); MS el m/z 650.

### **Metode 15**

#### **Eksempel nr. 166 2-(4-hydroksyfenyl)-3-metyl-1-[4-[3-(piperidin-1-yl)-**

- 25 **propoksy)-benzyl]-1H-indol-5-ol]**

En løsning av 5-benzyloksy-2-(4-benzyloksyfenyl)-1-[4-(3-piperidin-1-

ylpropoksy)-benzyl]-3-metyl-1H-indol nr. 165 (2,35 g) i tetrahydrofuran (25 ml) og

etanol (25 ml) ble tilsatt til 2,3 g 10% palladium på karbon. Cykoheksadien (10 ml)

ble tilsatt, og reaksjonen omrørt ved romtemperatur i 18 timer. Katalysatoren ble

- 30 filtrert gjennom celitt, og reaksjonsblandingen ble konsentrert og kromatografert på

silika gel ved anvendelse av diklormetan/metanol (4:1) for å eluere produktet (0,8 g)

som et hvitt skum; Smp = 125 - 130°C; <sup>1</sup>H NMR (DMSO) 9,68 (s, 1 H), 8,70 (s, 1

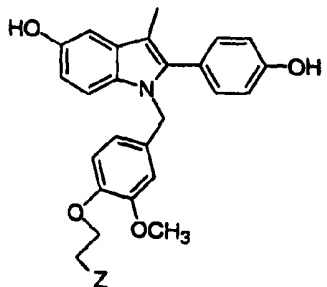
H), 7,15 (d, 2 H, J = 8,6 Hz), 7,05 (d, 1 H, J = 8,8 Hz), 6,85 (d, 2 H, J = 8,6 Hz),

6,80 (d, 1 H, J = 2,4 Hz), 6,74 (d, 4 H, J = 2,6 Hz), 6,57 (dd, 1 H, J = 8,6, 2,2 Hz),  
 5,09 (s, 2 H), 3,88 (t, 2 H, J = 6,4 Hz), 3,60 – 3,15 (m, 2 H), 2,62 – 2,38 (m, 4 H),  
 2,09 (s, 3 H), 1,92 – 1,78 (m, 2 H), 1,55 – 1,43 (m, 4 H), 1,42 – 1,30 (m, 2 H); IR  
 (KBr) 3400 (br), 2900, 1620, 1515 cm<sup>-1</sup>; MS el m/z 470.

5

### Syntese av nr. 167 og nr. 168

10



15

**Tabell 10**

20

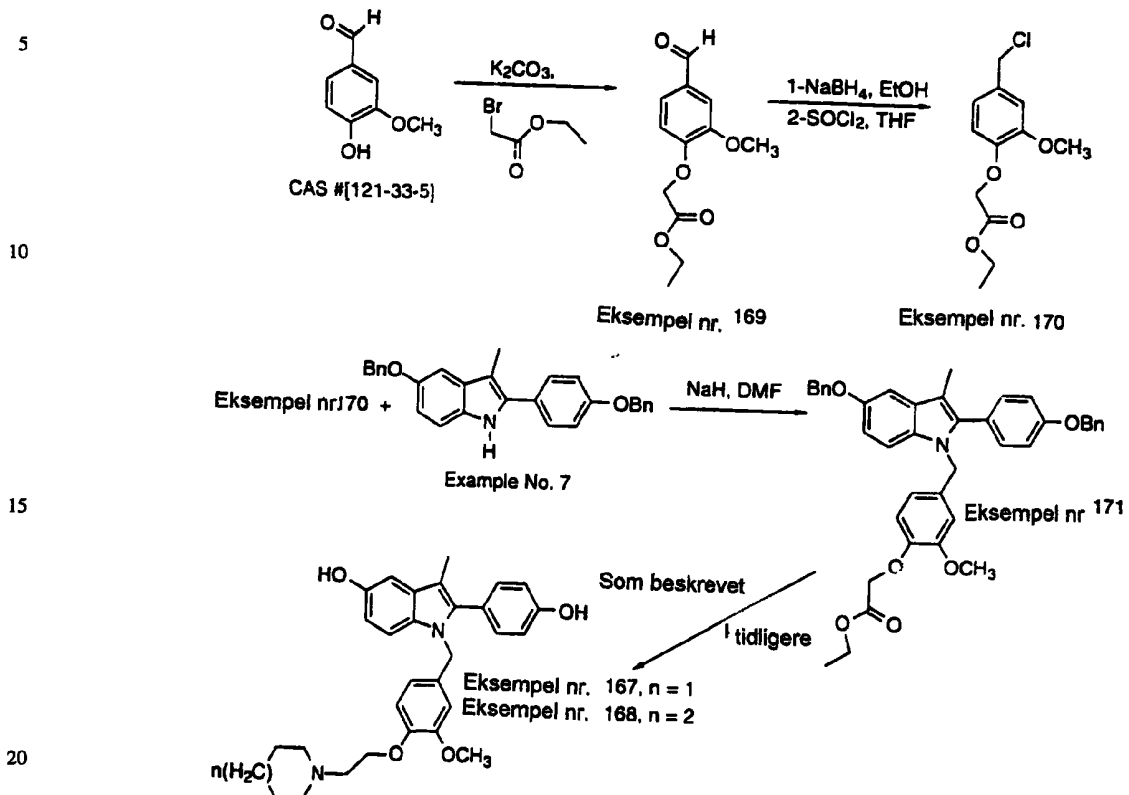
Eksempel nr.	Z
Nr. 167	N
Nr. 168	N

25

30

## **Skjema 17**

## Synteseskjema for eksemplene nr. 167 og nr. 168



## Syntese av eksempel nr. 167

**2-(4-hydrokfenyl)-1-[3-metoksy-4-(2-piperidin-1-yletoksy)-benzyl]-3-metyl-1H-indol-5-ol**

### Eksempel nr. 169 (4-formyl-2-metoksyfenoksy)eddiksyreetylester

En flaske inneholdende vanilin (20 g, 0,13 mol), etylbromacetat (28,4 g, 0,17 mol) og kaliumkarbonat (32,7 g, 0,24 mol) og aceton 200 ble oppvarmet til tilbakeløp i 3 timer. Reaksjonen ble brakt til rt. Acetonen ble stripet ut og resten fordelt mellom vann og etylacetat. Etylacetatet ble vasket med saltvann og tørket

over magnesiumsulfat. Det organiske laget ble konsentrert og faststoffet trituret med heksaner for tilveiebringning av 28,4 gram av eksempel nr. 169.

Smp = 56 - 59°C;  $^1\text{H}$  NMR (DMSO) 9,83 (s, 1 H), 7,50 (dd, 1 H, J = 2,9 Hz, 8,3 Hz),

7,42 (d, 1 H, J = 1,7 Hz), 7,07 (d, 1 H, J = 8,4 Hz), 4,91 (s, 2 H), 4,16 (q, 2 H, J =

5 7,2 Hz), 3,84 (s, 3 H), 1,20 (5, e H, J = 7,1 Hz); MS el m/z 238 (M+); CHN beregnet for  $\text{C}_{12}\text{H}_{14}\text{O}_5$ .

#### **Eksempel nr. 170**

#### (4-klormetyl-2-metoksyfenoksy-eddiksyreestylester

En løsning av eksempel nr. 169 (28,8 g, 0,119 mol) i 600 ml EtOH/HF (1:1)

10 ble behandlet med natriumborhydrid (2,25 g, 0,06 mol) ved 0°C og omrørt i 45 minutter. Løsningsmidlene ble avdampet, og reaksjonsblandingene ble fortynnet med etylacetat og vasket med 1 N HCl løsning. Produktet oppnådd på denne måten (14,2 g, 0,059 mol) som en olje ble løst opp i 140 ml THF og avkjølt til 0°C. Denne løsningen ble deretter behandlet ved dråpevis tilsetning av tionylklorid (7,38 g, 0,062 mol) ved 0°C. Etter 1 time ble reaksjonen helt i 400 ml vann og ekstrahert med eter. Eterlaget ble vasket med en natriumbikarbonatløsning og tørket over magnesiumsulfat. Dette ble konsentrert og kromatografert ved silika gel kromatografi ved anvendelse av acetat/heksaner (1:9). Produktet ble oppnådd som 10,5 g av et hvitt faststoff. Smp = 64 - 66°C.  $^1\text{H}$  NMR (DMSO) 7,06 (d, 1 H, J = 2,0 GHz), 6,91 (dd, 1 H, J = 2,0 Hz, 2,2 Hz), 6,83 (d, 1 H, J = 2,1 Hz), 4,75 (s, 2 H), 4,70 (s, 2 H), 4,13 (1, 2 H, J = 7,2 Hz), 3,77 (s, 3 H), 1,19 (t, 3 H, J = 7,1 Hz); MS el m/z 258 (M+); CHN beregnet for  $\text{C}_{12}\text{H}_{15}\text{ClO}_4$ .

#### **Eksempel nr. 171 {2-metoksy-4-[5-benzyloksy-2-(4-benzyloksyfenyl)-3-**

#### metylindol-1-ylmetyl]-fenoksy}-eddiksyreestylester

Alkylering av indol nr. 7 ble utført øsomm tidligere beskrevet i metode nr. 3 ved anvendelse av eksempel nr. 170 som elektrofil.

Smp = 120 - 123°C;  $^1\text{H}$  NMR (DMSO) 7,48 – 7,20 (m, 13 H), 7,18 – 7,10 (m, 3 H),

5,80 (dd, 1 H, J = 2,5 Hz, 8,8 Hz), 6,64 (d, 1 H, J = 8,4 Hz), 6,52 (d, 1 H, J = 2,9

30 Hz), 6,24 (dd, 1 H, J = 1,9 Hz, 8,1 Hz), 5,13 (s, 4 H), 5,10 (s, 2 H), 4,61 (s, 2 H), 4,10 (q, 2 H, J = 7,0 Hz), 3,59 (s, 3 H), 2,15 (s, 3 H), 1,15 (t, 3 H, J = 7,0 Hz); MS el m/z 641 (M+).

**Eksempel nr. 172 3-{2-metoksy-4-[5-bensyloksy-2-(4-benzyløksyfenyl)-3-metylindol-1-ylmetyl]-fenoksy}-etanol**

Reduksjon av ester nr. 171 ble utført som tidligere beskrevet i metode 4.

Smp = 86 - 90°C;  $^1\text{H}$  NMR (DMSO) 7,48 – 7,20 (m, 13 H), 7,18 – 7,10 (m, 3 H),  
 6,80 (dd, 1 H, J = 2,5 Hz, 8,8 Hz), 6,64 (d, 1 H, J = 8,4 Hz), 6,52 (d, 1 H, J = 2,0  
 Hz), 6,24 (dd, 1 H, J = 5,5 Hz), 3,83 (t, 2 H, J = 5,1 Hz), 3,63 (q, 2 H, J = 5,3 Hz),  
 3,56 (s, 3 H), 2,15 (s, 3H); MS el m/z 599 (M+).

**Eksempel nr. 173 5-benzyløksy-2-(4-benzyløksyfenyl)-1-[3-metoksy-4-(2-brometoksy)-benzyl]-3-metyl-1H-indol**

Omdanning av alkoholen i eksempel nr. 172 til bromid ble utført analogt som beskrevet i metode 5.

Smp = 150 - 152°C;  $^1\text{H}$  NMR (DMSO) 7,48 – 7,20 (m, 13 H), 7,18 – 7,10 (m, 3 H),  
 6,80 (dd, 1 H, J = 2,5 Hz, 8,8 Hz), 6,64 (d, 1 H, J = 8,4 Hz), 6,52 (d, 1 H, J = 2,0  
 Hz), 6,24 (dd, 1 H, J = 1,9 Hz, 8,1 Hz), 5,13 (s, 4 H), 5,10 (s, 2 H), 4,15 (t, 2 H, J =  
 5,3 Hz), 3,70 (t, 2 H, J = 5,7 Hz), 3,58 (s, 3 H), 2,15 (s, 3 H); MS el m/z 661 (M+).

**Eksempel nr. 174 5-benzyløksy-2-(4-benzyløksyfenyl)-3-metyl-1-[3-metoksy-4-(2-piperidin-1-yletoksy)-benzyl]-1H-indol**

Substitusjon av bromidet med piperidin ble utført som tidligere beskrevet i metode 6.

$^1\text{H}$  NMR (DMSO) 7,48 – 7,20 (m, 13 H), 7,18 – 7,10 (m, 3 H), 6,80 (dd, 1 H, J =  
 2,5 Hz, 8,8 Hz), 6,64 (d, 1 H, J = 8,4 Hz), 6,52 (d, 1 H, J = 2,0 Hz), 6,24 (dd, 1 H, J  
 = 1,9 Hz, 8,1 Hz), 5,13 (s, 4 H), 5,10 (s, 2 H), 3,90 (t, 2 H, J = 5,7 Hz), 3,55 (s, 3  
 H), 2,62 – 2,50 (bs, 2 H), 2,45 – 2,30 (bs, 4 H), 2,15 (s, 3 H), 1,50 – 1,40 (m, 4 H),  
 1,40 – 1,35 (m, 2 H); MS FAB m/z 667 (M+H+).

**Eksempel nr. 175 5-benzyløksy-2-(4-benzyløksyfenyl)-3-metyl-1-[2-metoksy-4-(2-azepan-1-yletoksy)-benzyl]-1H-indol**

Reaksjonen ble utført nøyaktig som for nr. 174 med unntakelse av at heksametylenamin ble anvendt for å erstatte bromid med piperidin.

Skum;  $^1\text{H}$  NMR (DMSO) 7,48 – 7,20 (m, 13 H), 7,18 – 7,10 (m, 3 H), 6,80 (dd, 1 H,  
 J = 2,5 Hz, 8,8 Hz), 6,64 (d, 1 H, J = 8,4 Hz), 6,52 (d, 1 H, J = 2,0 Hz), 6,24 (dd, 1

H, J = 1,9 Hz, 8,1 Hz), 5,13 (s, 4 H), 5,10 (s, 2 H), 3,90 (t, 2 H, J = 5,7 Hz), 3,55 (s, 3 H), 2,85 – 2,70 (bs, 2 H), 2,70 – 2,55 (s, 4 H), 2,10 (s, 3 H), 1,60 – 1,15 (m, 8 H); MS FAB m/z 681 (M+H<sup>+</sup>).

5 **Eksempel nr. 167 2-(4-hydroksyfenyl)-1-[3-metoksy-4-(2-piperidin-1-yletoksy)-benzyl]-3-metyl-1H-indol-5-ol**

Forbindelsen nr. 173 ble hydrogenert ved overføringshydrogenering som tidligere beskrevet i metode 7. Forbindelsen ble isolert som hydrokloridsaltet ved oppløsning i eter og behandling med 1,2 ekvivalenter 1 N eter/HCl løsning (dette er 10 en variasjon av metode 8).

Smp = 123 - 127°C; <sup>1</sup>H NMR (DMSO) 10,20 (bs, 1 H), 9,72 (s, 1 H), 8,71 (s, 1 H), 7,17 (d, 2 H, J = 8,6 Hz), 7,11 (d, 1 H, J ? 8,8 Hz), 6,87 (d, 2 H, J = 8,6 Hz), 6,79 (m, 2 H), 6,57 (dd, 1 H, J ? 2,4 Hz, 8,8 Hz), 6,55 (d, 1 H, J = 1,7 Hz), 6,33 (dd, 1 H, J = 1,7 Hz, 8,1 Hz), 5,11 (s, 2 H), 4,23 (t, 2 H, J = 4,8 Hz), 3,60 (s, 3 H), 3,45 (m, 2 H), 3,35 (m, 2 H), 2,95 (m, 2 H), 2,10 (s, 3 H), 1,70 (m, 5 H), 1,35 (m, 1 H); IR 15 3500, 1500, 1275 cm<sup>-1</sup>; MS (+) FAB m/z 487 (M+H)<sup>+</sup>; CHN beregnet for C<sub>30</sub>H<sub>34</sub>N<sub>2</sub>O<sub>4</sub> + 1 HCl + 1,0 H<sub>2</sub>O.

20 **Eksempel nr. 168 2-(4-hydroksyfenyl)-1-[3-metoksy-4-(2-azepan-1-yletoksy)-benzyl]-3-metyl-1H-indol-5-ol**

Fremstilt på samme måte som beskrevet i eksempel nr. 167.

Smp = 142 - 146°C; <sup>1</sup>H NMR (DMSO) 10,36 (s, 1 H), 9,72 (s, 1 H), 8,71 (s, 1 H), 7,18 (d, 2 H, J = 8,3 Hz), 7,11 (d, 1 H, J = 8,6 Hz), 6,87 (d, 2 H, J = 8,3 Hz), 6,82 (d, 1 H, J = 8,1 Hz), 6,79 (d, 1 H, J = 2,3 Hz), 6,57 (dd, 1 H, J = 2,2 Hz, 8,6 Hz), 25 6,55 (d, 1 H, J = 1,8 Hz), 6,33 (dd, 1 H, J = 1,5 Hz, 8,1 Hz), 5,11 (s, 2 H), 4,24 (t, 2 H, J = 4,6 Hz), 3,60 (s, 3 H), 3,40 (m, 4 H), 3,20 (m, 2 H), 2,10 (s, 3 H), 1,75 (m, 4 H), 1,55 (m, 4 H); IR (KBr) 3300, 1500, 1270, 1200 cm<sup>-1</sup>; MS (+) FAB m/z 501 (M+H)<sup>+</sup>; CHN beregnet for C<sub>31</sub>H<sub>30</sub>N<sub>2</sub>O<sub>4</sub> + 1,0 HCl + 0,12 CH<sub>3</sub>OH.

## **Biologiske data**

### **Metode 16**

#### ***In vitro østrogenreseptorbindingsanalyse***

5    **Reseptorpreparerings**

CHO celler som overtrykker østrogenreseptoren, ble dyrket i 150 mm<sup>2</sup> skåler i DMEM + 10% dekstran belagt trekull, sttrippet fetalt bovint serum. Platene ble vasket to ganger med PBS og en gang med 10 mM Tris-HCl, pH 7,4, 1 mM EDTA. Cellene ble høstet ved skraping av overflaten og deretter ble cellesuspensjonen plassert på is. Cellene ble brutt opp med en håndholdt motorisert vevsmaler ved anvendelse av to, 10-sekunder lange utbrudd. Råpreparatet ble centrifugert ved 12.000 g i 20 minutter etterfulgt av en 60 minutter lang spinning ved 100.000 g for å danne en ribosomfrei cytosol. Cytosolen ble deretter frosset og lagret ved -80°C.

Proteinkonsentrasjonen av cytosolen ble vurdert ved anvendelse av BCA analyse med referansestandardprotein.

15    **Betingelser for bindingsanalyse**

Konkurreringsanalyse ble utført i en 96-brønn plate (polystyren\*) som binder<2,0% av totalt tilført [<sup>3</sup>H]-17 $\beta$ -østradiol og hvert datapunkt ble samlet i triplikat.

20    100  $\mu$ g/100  $\mu$ l av reseptorpreparatet ble alikvotet pr. brønn. En metningsdose på 2,5 nM [<sup>3</sup>H]17 $\beta$ -østradiol + kompetitor (eller buffer) i et  $\mu$ l volum ble tilsatt i preliminær konkurrans når 100x og 500x konkurrent ble vurdert, og bare 0,8 nM [<sup>3</sup>H] 17 $\beta$ -østradiol ble anvendt. Skålen ble inkbuert ved romtemperatur i 2,5 t. Etter endt inkubasjonsperiode ble 150  $\mu$ l is-kald dekstranbelagt trekull (5% aktivert trekull belagt med 0,05% 69K dekstran) tilsatt til hver brønn, og platen ble øyeblikkelig centrifugert ved 99 g i 5 minutter ved 4°C. 200  $\mu$ l av supernatantløsningen ble deretter fjernet for scintillasjonstilling. Prøvene ble oppfelt til 2% eller 10 minutter, avhengig hva som skjedde først. På grunn av at polystyren absorberer en liten mengde av [<sup>3</sup>H] 17 $\beta$ -østradiol, ble brønner inneholdende radioaktivitet og cytosol, men ikke bearbeidet med trekull innbefattet til kvantitative mengder tilgjengelig isotop. Videre ble celler inneholdende radioaktivitet, men ikke cytosol, bearbeidet med trekull for å vurdere ikke-fjernbar DPM av [<sup>3</sup>H] 17 $\beta$ -østradiol. Corning nr. 25880-96, 96-brønn plater ble anvendt på grunn av at de har vist at de binder den minste mengden østradiol.

### **Analyse av resultatene**

Tellinger pr. minutt (CMP) av radioaktiviteten ble automatisk omdannet til desintegrert pr. minutt (DMP) av Beckman LS 7500 Scintillation Counter ved anvendelse av et sett stopperte standarder for å generere et H nr. for hver prøve. For å beregne % østradiolbinding i nærvær av 100 eller 500 ganger konkurrent, ble følgende formel anvendt:

$$\left( \frac{(\text{DPM prøve}-\text{DPM ikke fjernet av trekull})}{(\text{DPM østradiol}-\text{DPM ikke fjernet av trekull})} \right) \times 100\% = \% \text{ av østradiobinding.}$$

10

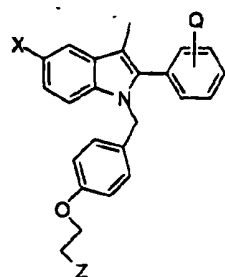
For dannelsen av IC50 kurver, er % binding plottet vs forbindelse. IC50 ble dannet for forbindelser som viser >30% konkurranse ved 500x konsentrasjon av konkurrent. For en beskrivelse av disse metodene, se Hulme, E.C. utg. 1992.

15

Respetor-Ligand Interactions; A practical Approach. IRL Press, New York (se spesielt kapitel 8).

**Tabell 11****Østrogenreceptorbinding**

5



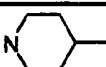
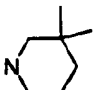
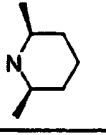
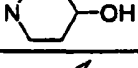
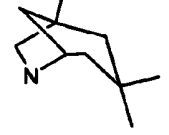
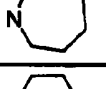
15

	Eksempel nr.	X	Q	Z	Reseptorbinding IC50's uM
20	Nr. 85	H	H	N(cyclohexyl)	0.45
	Nr. 86	H	4'-OH	N(cyclohexyl)	0.12
	Nr. 87	OH	H	N(cyclohexyl)	0.030
25	Nr. 88	OMe	4'-OH	N(cyclohexyl)	0.35
	Nr. 89	OH	4'-OMe	N(cyclohexyl)	0.30
	Nr. 90	OMe	4'-OMe	N(cyclohexyl)	0.60
30	Nr. 91	OMe	4'-OMe	N(cyclohexyl)	0.52
	Nr. 92	OH	4'-OEt	N(cyclohexyl)	0.062

Tabell 11 (fortsettelse)

	Eksempel nr.	X	Q	Z	Reseptorbinding	
					IC50's uM	
5	Nr. 93	OH	4'-OEt		0.090	
10	Nr. 94	F	4'-OH		0.20	
15	Nr. 97	OH	4'-OH		0.060	
20	Nr. 98	OH	4'-OH		0.050	
25	Nr. 99	OH	4'-OH		0.03	
30	Nr. 100	OH	4'-OH		0.06	
	Nr. 101	OH	4'-OH		0.04	
	Nr. 102	OH	4'-OH		0.08	
	Nr. 103	OH	4'-OH		0.2	
	Nr. 104	OH	4'-OH		0.1	
	Nr. 105	OH	4'-OH		0.028	
	Nr. 106	OH	4'-OH		0.1	
	Nr. 107	OH	4'-OH		0.06	

Tabell 11 (fortsettelse)

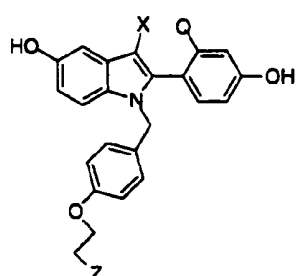
	Eksempel nr.	X	Q	Z	Reseptorbinding IC50's uM
5	Nr. 108	OH	4'-OH		0.02
	Nr. 109	OH	4'-OH		0.17
10	Nr. 110	OH	4'-OH		0.037
	Nr. 111	OH	4'-OH		0.15
15	Nr. 112	OH	4'-OH		0.07
	Nr. 113	OH	4'-OH		0.047
20	Nr. 114	OH	4'-OH		0.001
	Nr. 115	OH	4'-OH		0.15
25	Nr. 116	OH	4'-Fl		0.04
	Nr. 117	OH	4'-Fl		0.10
30	Nr. 118	OH	3'-OMe,4'-OH		N/A
	Nr. 119	OH	3',4'-OCH <sub>2</sub> O-		0.070

**Tabell 11 (fortsettelse)**

	Eksempel nr.	X	Q	Z	<u>Reseptorbinding IC50's uM</u>
5	Nr. 120	OH	4'-O-iPr		0.10
10	Nr. 121	OH	4'-O-iPr		0.080
15	Nr. 122	OH	4'-O-Cp		0.080
20	Nr. 123	OH	4'-CF <sub>3</sub>		0.17
25	Nr. 124	OH	4'-CH <sub>3</sub>		0.11
30	Nr. 125	OH	4'-Cl		0.11
	Nr. 126	OH	2',4',Dimetoksy		N/A
	Nr. 127	OH	3'-OH		0.019
	Nr. 128	OH	3'-OH		0.009
	Nr. 129	OH	4'-OH,3'-Fl		0.0055
	Nr. 130	OH	4'-OH, 3'-Fl		0.013
	Nr. 131	OH	3'-OMe		0.12
	Nr. 132	OH	4'-OCF <sub>3</sub>		0.05

**Tabell 12****Østrogenreceptorbinding**

5

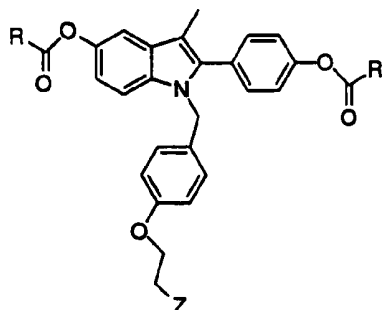


10

	Eksempel nr.	X	Q	Z	Reseptorbinding IC50's nM
15	Nr. 133	Cl	H	Nc1ccccc1	0.004
	Nr. 134	Cl	H	Nc2ccccc2	0.024
20	Nr. 135	Cl	H	Nc3ccccc3	0.029
	Nr. 136	Cl	CH <sub>3</sub>	Nc4ccccc4	0.013
25	Nr. 137	Et	H	Nc5ccccc5	0.15
	Nr. 138	CN	H	Nc6ccccc6	0.011
	Nr. 139	CN	H	Nc7ccccc7	0.023

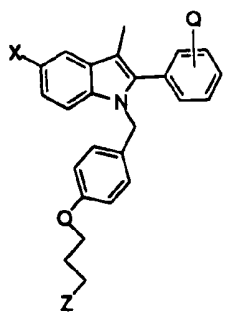
30

35

**Tabell 12****Østrogenreseptorbinding**

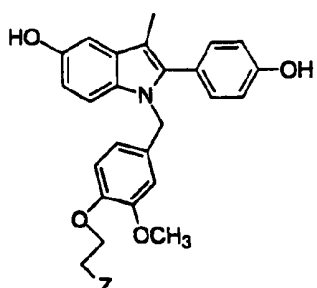
Eksempel nr.	R	Z	Reseptorbinding IC50's uM
Nr. 160	Et	N	N/A
Nr. 161	t-Bu	N	N/A
Nr. 162	t-Bu	N	Does not Bind

20

**Tabell 14****Østrogenreseptorbinding**

30

Eksempel nr.	X	Q	Z	Reseptorbinding IC50's uM
Nr. 166	OH	4'-OH	N	0.099

**Tabell 15****Østrogenreseptorbinding**

10

15

Eksempel nr.	Z	Reseptorbinding IC50's uM
Nr. 167		0.08
Nr. 168		0.057

**Metode 7****Ishikawa cellealaklisk fosfataseanalyse****Celleopprettholdelse og behandling**

Ishikawacellene ble opprettholdt i DMEM/F12 (50%:50%) inneholdende fenolrød + 10% fetalt bovint serum, og mediet ble supplementert med 2 mM Glutamax, 1% Pen/Strap og 1 mM natriumpyruvat. Fem dager før begynnelsen av hvert eksperiment (behandling av cellene) ble mediet skiftet til fenolrødt-fritt DMEM/F12 + 10% dekstran belagt trekullstrippet serum. Dagen før behandlingen ble cellene høstet ved anvendelse av 0,5% trypsin EDTA, og sådd ut i en tetthet på 5 X 10<sup>4</sup> celler/brønn i 96-brønn ved skulpturplater. Testforbindelsene ble dosert med 10<sup>-6</sup>, 10<sup>-7</sup> og 10<sup>-8</sup> M i tillegg til 10<sup>-6</sup> M (forbindelse) + 10<sup>-9</sup> M 17 β-østradiol for å vurdere evnen som forbindelsene har til å virke som antiøstrogener. Cellene ble behandlet i 48 t. før analysering. Hver 96-brønn skål inneholdt en 17 β-østradiolkontroll. Prøvepopulasjonen for hver dose var n=8.

**Alkalisk fosfataseanalyse:**

Etter 48 t. ble mediet sugd ut, og cellene ble vasket tre ganger med fosfatbufret saltvann (PBS). 50 µl lyseringssbuffer (0,1 M Tris-HCl, pH 9,8, 0,2% Triton X-100) ble tilstatt til hver brønn. Skålene ble plassert ved -80°C i minst 15 minutter. Skålene blir tint ved 37°C etterfulgt av tilsetning av 150 µl 0,1 M Tris-HCl, pH 9,8, inneholdende 4 mM para-nitrofenylfosfat (pNPP) til hver brønn (sluttkonsentrasjon, 3 mM pNPP).

Absorbanse og vurderinger av stigning ble utført ved anvendelse av KienticCale Application program (Bio-Tek Instruments, Inc., Winooski, VT). Resultatene blir uttrykt som gjennomsnitt +/- S.D. av raten av enzymreaksjon (stigning) som det ble tatt et gjennomsnitt av over den lienære delen av kinetisk reaksjonskurve (avlesninger av optisk tetthet hvert 5. minutt for 30 minutter lang abosrbanseavlesning). Resultater for forbindelsene er oppsummerte som prosent av respons relatert til 1 nM 17 β-østradiol.

Forskjellige forbindelser ble analysert for østrogenaktivitet ifølge alkalisk fosfatasesmetode og tilsvarer ED<sub>50</sub> verdiene (95% C.I.). ble beregnet. De fire oppførte angitt nedenfor ble anvendt som referansestander:

20	17 β-østradiol	0,03 nM
	17 β-østradiol	1,42 nM
	østriol	0,13 nM
	østron	0,36 nM

25 En beskrivelse av disse metodene i angitt i Holinka, C.F., Hata, H., Kuramoto, H, og Gurgide, E. (1986). Effekter av steroidhormoner og antisteroider på alkalisk fosfataseaktivitet i humane endometriecancerceller (Ishikawa Line), Cancer Research, 46:2771-2774, og av Littlefield, B.A., Gurgide, E., Markiewicz, L., McKinley, B. og Hochberg, R.B. (1990). En enkel og sensitiv mikrotiterskål østrogen-bioanalyse basert på stimulering av alkalisk fosfatase i Ishikawaceller; Østrogen-virkningen av D5 adrenalsteroider. Endocrinology, 6:2757-2762.

### Ishikawa alkalisk fosfataseanalyse

<u>Forbindelse</u>	<u>% Aktivering</u>
17 β-østradiol	100% aktivitet
5 tamoksifen	0% aktivitet (45% med 1 nM 17 β-østradiol)
raloksifen	5% aktivitet (5% med 1 nM 17 β-østradiol)
eksempel nr. 98	1% aktivitet (1% med 1 nM 17 β-østradiol)

### **Metode nr. 18**

10

### 2X VIT ERE infeksjonsanalyse

#### Celleopprettholdelse og behandling

Kinesisk hamsterovarieceller (CHO) som var blitt stabilt transfektert med  
 15 human østrogenreseptør, ble opprettholdt i DMEM + 10% fetalt bovin serum (FBS).  
 48 t. før behandling ble vekstmediet erstattet med DMEM manglende fenolrød + 10%  
 dekstranbelagt trekkullstrippet FBS (behandlingsmedium). Cellene ble sådd ut i en  
 tetthet på 5000 celler/brønn i 96-brønn skåler inneholdende 200 µl medium/brønn.

20

#### Kalsiumfosfattransfeksjon

Reporter DNA (Promega plasmid pGL2 inneholdende to tandemkopier av  
 vitellogenin ERE foran minimal tymidinkinasepromoteren som driver luciferasegenet),  
 ble kombinert med B-galaktosidaseekspressjonsplasmid (pCHI10 (Pharmacia) og  
 bærer DNA (pTZ18U) i følgende forhold:

25

10 µg reporter DNA  
 5 µg pCHI10DNA  
 5 µg pTZ18U  
 20 µg DNA/1 ml av transfeksjonsløsning

30

DNA (20 µg) ble løst opp i 500 µl 250 mM sterilt CaCl<sub>2</sub> og dråpevis tilatt til 500  
 µl 2 X HeBS (0,28 M NaCl, 50 nM HEPES, 1,5 mM Na<sub>2</sub>HPO<sub>4</sub>, pH 7,05) og inkubert  
 ved romtemperatur i 20 minutter. 20 µl av denne blandingen ble tilsatt til hver brønn

av cellene og forble på cellene i 16 t. Etter denne inkubasjonen ble presipitatet fjernet, og cellene ble vasket med medium. Friskt behandlingsmedium ble erstattet, og cellene ble behandlet med enten bærer, 1 nM 17  $\beta$ -østradiol, 1  $\mu$ M forbindelse, 1  $\mu$ M forbindelse eller 1  $\mu$ M forbindelse + 1 nM 17  $\beta$ -østradiol (testet for østrogen-  
5 antagonisme). Hver behandlingsbetingelse ble utført på 8 børnner (n=8) som ble inkubert i 24 t. før luciferaseanalysen.

### Luciferaseanalyse

Etter 24 t. eksponering for forbindelser ble mediet fjernet, og hver brønn ble  
10 vasket 2 x med 125  $\mu$ l PBS manglende Mg<sup>++</sup> og Ca<sup>++</sup>. Etter fjerning av PBS ble 25  $\mu$ l Promega lyseringsbuffer tilskatt til hver brønn og latt stå ved romtemperatur i 15 min., etterfulgt av 15 min. ved -80°C og 15 min. ved 37°C. 20  $\mu$ av lysatet ble overført til en opaque 96-brønneskål for vurdering av luciferaseaktivitet og gjenværende lysat (5  $\mu$ l) ble anvendt for vurdering av B-galaktosidaseaktivitet (normalisere transfeksjon).  
15 Luciferansubstratet (Promega) ble tilskatt i 100  $\mu$ l alikvoter til hver brønn automatisk med et luminometer, og produsert lys (relative lysenheter) ble avlest 10 sekunder etter tilsetningen.

### Infeksjon luciferaseanalyse (standarder)

	<u>Forbindelse</u>	<u>% aktivering</u>
	17 $\beta$ -østradiol	100% aktivitet
	østriol	38% aktivitet
	tamoksifen	0% aktivitet (10% med 1 nM 17 $\beta$ -østradiol)
25	raloksifen	0% aktivitet (0% med 1 nM 17 $\beta$ -østradiol)

### B-galaktosidaseanalyse

Til gjenværende 5  $\mu$ l lysat ble 45  $\mu$ l PBS tilskatt. Deretter ble 50  $\mu$ l Promega B-galaktosidase 2X analysebuffer tilskatt, grundig blandet og inkubert ved 37°C i 1 time.  
30 En skål inneholdende en standardkurve (0,1 til 1,5 millioner i triplikat) ble satt opp for hver eksperimentelle kjøring. Skålene ble analysert på en molekylær innretning spektrofotometrisk plateavleser ved 410 nm. Optiske tettheter for den ukjente ble

omdannet til millienheter aktivitet ved matematisk ekstrapolasjon fra standard-kurven.

### **Analyse av resultater**

Luciferansedata ble dannet som relative lysenheter (RLU) akkumulert i løpet av 10 sekunder måling og automatisk overført til en JMP (SAS Inc) fil hvor bakgrunns RLU ble trukket fra. B-galaktosiadeverider ble automatisk importert i filen, og disse verdier ble delt inn i RLU for å normalisere dataene. Gjennomsnitt og standardavvik ble bestemt fra en n=8 for hver behandling. Aktiviteten til forbindelsene ble sammenlignet med 17 β-østradiol for hver plate. Prosentaktivitet ble sammenlignet med 17 β-østradiol og ble beregnet ved anvendelse av formelen %=((østriadiol-kontroll)/verdi av forbindelse) X 100. Disse teknikkene er beskrevet av Tzukerman, M.T., Esty, A., Santiso-Mere, D., Danielian, P., Parker, M.G. Stein, R.B., Pike, J.W. og McDonnel, D.P. (1994). Transaktiviteringskapasiteten til human østrogenreceptor ble bestemt av både cellulær og promotersammenheng og mediert av to funksjonelt bestemte intramolekulære regioner (se Molecular Endocrinology, 8:21-30).

**Tabell 16**

#### **Innfeksjon luciferaseaktivitet**

	Eksempel nr.	1 µM	1 µM + 17 β-østradiol
	Nr. 85	-2	43
	Nr. 86	-5	2
	Nr. 87	0	0
25	Nr. 88	4	44
	Nr. 89	16	18
	Nr. 90	3	58
	Nr. 91	-3	56
	Nr. 92	-4	-2
30	Nr. 93	-3	-2
	Nr. 94	-5	15
	Nr. 95	-4	-4
	Nr. 96	12	8
	Nr. 97	-4	-5
35	Nr. 98	5	5
	Nr. 99	5	6
	Nr. 100	9	10
	Nr. 101	14	9
	Nr. 102	9	10
40	Nr. 103	13	10
	Nr. 104	7	7
	Nr. 105	5	5
	Nr. 106	10	81

**Tabell 16 (fortsettelse)****Infeksjon luciferaseaktivitet**

	Eksempel nr.	1 µM	1 µM + 17 β-østradiol
5	Nr. 107	-1	54
	Nr. 108	11	10
	Nr. 109	6	5
	Nr. 110	8	10
10	Nr. 111	25	23
	Nr. 112	10	10
	Nr. 113	14	16
	Nr. 114	1	-1
	Nr. 115	11	10
15	Nr. 116	-1	1
	Nr. 117	0	1
	Nr. 118	N/A	N/A
	Nr. 119	-1	-1
	Nr. 120	-1	1
20	Nr. 121	0	1
	Nr. 122	1	5
	Nr. 123	-1	1
	Nr. 124	-2	-2
	Nr. 125	-3	-2
25	Nr. 126	-1	0
	Nr. 127	-3	-4
	Nr. 132	-5	-2
	Nr. 133	7	9
	Nr. 134	9	5
30	Nr. 135	7	3
	Nr. 136	16	10
	Nr. 137	6	8
	Nr. 138	-2	-1
	Nr. 139	-12	-13
35	Nr. 160	N/A	N/A
	Nr. 161	N/A	N/A
	Nr. 162	-14	-13
	Nr. 166	25	23
	Nr. 167	4	10
40	Nr. 168	3	7

**Metode nr. 19****Uterotrofisk/antiuterotrofisk bioanalyse i rotter**

Østrogene og antiøstrogene egenskaper til forbindelsene ble bestemt i en umoden rotte uterotrofisk analyse (4 dager) (som tidligere beskrevet av L.J. Black og R.L. Goode, Life Sciences, **26**, 1453 (1980)). Umodne Sprague-Dawley rotter (hunnkjønn, 18 dager gamle) ble testet i grupper på seks. Dydrene ble behandlet daglig ved ip injeksjon med 10 µg forbindelse, (100 µg forbindelse + 1 µg 17β-østradiol) for å undersøke antiøstrogenisitet, og 1 µg 17β-østradiol, med 50% DMSO/50% saltvann som injeksjonsbærer. På dag 4 ble dydrene ofret ved CO<sub>2</sub>

asfyksikasjon, og deres livmor ble fjernet og stripet for overskudd lipid, eventuelt væske ble fjernet og våtvekt ble bestemt. En liten del av et horn ble inngitt for histologi og gjenværende ble anvendt for å isolere total RNA for å vurdere komplementkomponent 3 gen ekspresjon.

5

**Tabell 17****3 dager umoden livmoranalyse i rotter**

Eksempel nr.	Livmorvekt mg	Livmorvekt mg	Livmorvekt mg	Livmorvekt mg
	100 µg kmpd	100 µg kmpd + 1 µg 17β-østradiol	1 µg 17β-østradiol	bærer
Tamoksifen	71,4 mg	N/A	98,2 mg	42,7 mg
Nr. 85	41,1 mg	92,4 mg	94,4 mg	26,6 mg
Nr. 94	28,1 mg	93,7 mg	85,5 mg	22,3 mg
Nr. 97	27,4 mg	24,3 mg	63,2 mg	30,7 mg
Nr. 98	29,4 mg	27,9 mg	94,1 mg	35,9 mg
Nr. 100	59,9 mg	68,7 mg	91,9 mg	23,4 mg
Nr. 101	65,1 mg	71,0 mg	113,7 mg	27,7 mg
Nr. 122	46,7 mg	38,7 mg	103,4 mg	30,3 mg
Nr. 123	39,2 mg	61,4 mg	94,4 mg	26,1 mg
Nr. 138	28,4 mg	37,9 mg	93,9 mg	24,6 mg
Nr. 139	30,4 mg	45,0 mg	82,1 mg	20,5 mg
Nr. 168	43,2 mg	81,7 mg	98,9 mg	25,5 mg

**Metode nr. 20****10 6-uker ovarieektromisert rottemodell**

Hunn Spargue Dawley CD rotter, ovx eller narre ovx, ble oppnådd 1 dag etter kirurgi fra Taconic Farm (vektområde 240 – 275 g). De ble huset 3 eller 4 rotter/bur i et rom i et 14/10 (lys/mørke) skjema og gitt mat (Purina 500 rottefôr) og vann ad libitum. Behandling i alle studier begynte en dag etter at dyrene ankom, og ble dosert

15 5 eller 7 dager pr. uke som indikert i 6 uker. En gruppe aldersparrede narreopererte rotter som ikke mottok behandling, virket som en intakt, østrogenetappet kontrollgruppe i hver studie. Alle behandlingene ble preparert i 1% tween 80 i normalt saltvann med reduserte konsentrasjoner slik at behandlingsvolumet var 0,1 ml/100 g kroppsvekt. 17-beta østradiol ble løst opp i maisolje (20 µg/ml) og levert subkutant, 20 0,1 ml/rotte. Alle doseringer ble justert i tre ukers intervaller ifølge gruppegenomsnittlig kroppsvektsmålinger.

Fem uker etter initiering av behandling og en uke før avsluttet studie ble hver rotte vurdert for benmineralitetthet (BMD). BMD til proksimal tibiae (PT) og fjerne lumbar vertabrae (L4) ble målt i behovde rotter ved anvendelse av et dobbelenergi røntgenabsorpsjonsmeter (Eclipse XR-26, Norland Corp. Ft. Atkins. WI). Dobbelt-

energi røntgen absorpsjonsmeter (DXA) målinger for hver rotte ble utført som følger:

Femten minutter før DXA målingene ble rotten bedøvd med en intraperitoneal injeksjon bestående av 100 mg/kg ketamin (Bristol Laboratories, Syracuse, NY) og 0,75 mg/kg acepromazin (Aveco, Ft. Dogde, IA). Rotten ble plassert på et acryl-bord

5 under DXA skanner vinkelrett på dets vei; lemmer ble dratt ug og sikret med papir-tape til bordoverflaten. Et premilinært skan ble utført ved en skanhastighet på 50 mm/sekund med en skanoppløsning på 1,5 mm X 1,5 mm for å bestemme regionen av interesse i PT og L4. "Small subject software" ble anvendt ved en skanhastighet på 10 mm/sekund med oppløsning 0,5 mm X 0,5 mm for endelige

10 BMD målinger. Programvaren muliggjør definering av 1,5 cm vidt område for å dekke totallengden til L4. BMD for respektive seter ble behandlet av programvaren som en funksjon av attenuering av dobbelstråle (46,8 KeV og 80 KeV) røntgenstråler dannet av kilden under individet og detektoren som beveger seg langs det definerte området over individet. Data for BMD verdier (uttrykt i g/cm<sup>2</sup>) og individuelle skanninger ble

15 lagret for statistiske analyser. En uke etter BMD vurdering blerottene ofret ved karbondioksidforgiftning, og blod ble samlet for bestemmelse av kolesterol. Livmoren ble fjernet og veid. Totalt kolesterol blir besømt ved anvendelse av en Boehringer Mannheim Hiachi 911 klinisk analysator ved anvendelse av kolesterol/HP sett.

Statistikk ble sammenlignet ved anvendelse av enveis analyse av variant med

20 Dunnet's test.

**Tabell 18****6-uker ovarieektomisert rottestudie ifølge eksempel nr. 98**

5

<b>Behandling</b>	<b>BMD (mg/cm<sup>2</sup>)<sup>a,b.</sup></b>		<b>Kroppsvekt (g)<sup>a,c</sup></b>	<b>Livmørkevt (mg)<sup>a,c</sup></b>	<b>Kolesterol (mg/dl)<sup>a,c</sup></b>
	<b>Proksimal Tibia</b>	<b>L<sub>4</sub></b>			
<b>Studie<sup>d</sup></b>					
<b>Narre (intakt)</b>	0,211" ±0,003	0,183' ±0,003	43,0' ±6,0	426,4" ±25,0	71,6" ±5,0
<b>Bærer (ovx)</b>	0,189 ±0,004	0,169 ±0,004	62,7 ±8,2	118,2 ±7,2	87,2 ±3,0
<b>Eksempel nr. 98</b>	0,210" ±0,003	0,173 ±0,003	46,8 ±6,6	149,3 ±4,4	59,0" ±2,2
<b>Raloksifen</b> <b>3 mg/kg, p.o.</b>	0,207" ±0,006	0,170 ±0,003	25,3" ±5,4	191,6" ±9,3	55,0" ±2,4
<b>Østradiol</b> <b>2 µg/rotte, s.c.</b>	0,224" ±0,004	0,169 ±0,004	33,1" ±4,9	426,0" ±18,4	95,5 ±3,9

<sup>a</sup> Gjennomsnitt ± SEM<sup>b</sup> Etter 5 ukers behandling<sup>c</sup> Etter 6 ukers behandling<sup>d</sup> Daglig behandling x7 dager/uke x6 uker

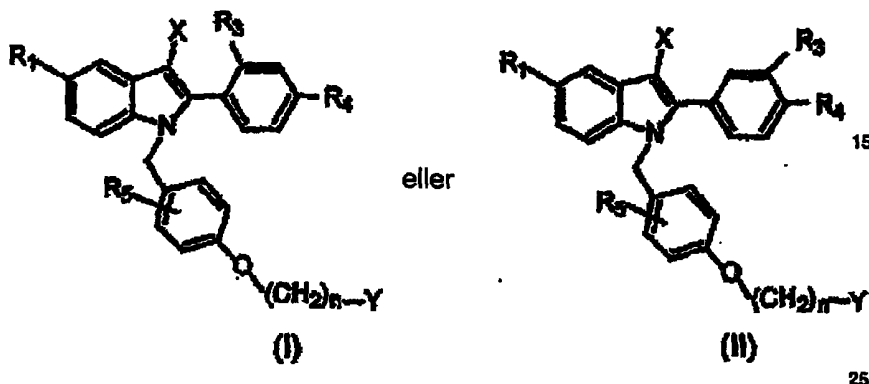
'p &lt;0,05 vs tilsvarende bærerverdi

"p &lt;0,01 vs tilsvarende bærerverdi

10

## Patentkrav

1. Farmasøytisk sammensetning, karakterisert ved at den omfatter en eller flere østrogener og en forbindelse med strukturen:



5

hvor;

R<sub>1</sub> er valgt fra H, OH eller C<sub>1</sub>-C<sub>12</sub> alkylesterer (lineære eller forgrenete) derav, halogen, fenyl- C<sub>1</sub>-C<sub>4</sub>alkoksy og C<sub>1</sub>-C<sub>6</sub>-alkoksy;

10 R<sub>3</sub> er valgt fra H, OH, fenyl-C<sub>1</sub>-C<sub>4</sub>-alkoksy, C<sub>1</sub>-C<sub>6</sub>-alkoksy, C<sub>1</sub>-C<sub>6</sub>-alkyl, C<sub>3</sub>-C<sub>7</sub>-cykloalkoksy, CF<sub>3</sub>, halogen og CF<sub>3</sub>O;

R<sub>4</sub> er valgt fra H, OH eller C<sub>1</sub>-C<sub>12</sub> alkylesterer derav, fenyl- C<sub>1</sub>-C<sub>4</sub>-alkoksy, C<sub>1</sub>-C<sub>6</sub>-alkoksy, C<sub>1</sub>-C<sub>6</sub>-alkyl, C<sub>3</sub>-C<sub>7</sub>-cykloalkoksy, CF<sub>3</sub>, halogen og CF<sub>3</sub>O; eller

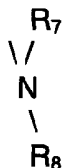
R<sub>3</sub> og R<sub>4</sub> danner sammen C<sub>1</sub>-C<sub>4</sub>-alkylenedioksy;

R<sub>5</sub> er H eller C<sub>1</sub>-C<sub>6</sub>-alkoksy;

15 X er valgt fra C<sub>1</sub>-C<sub>6</sub> alkykl, cyano og halogen;

n er 2 eller 3; og

Y er gruppen:



20

hvor R<sub>7</sub> og R<sub>8</sub> er uavhengig valgt fra H, C<sub>1</sub>-C<sub>6</sub> alkyl og C<sub>3</sub>-C<sub>7</sub>-cykloalkyl; eller

25 R<sub>7</sub> og R<sub>8</sub> danner sammen en nitrogen-inneholdende ring valgt fra piperidin, azepan, azabicyclo-C<sub>3</sub>-C<sub>10</sub>-alkan, piperazin, pyrrolidine og azocan, hvor nevnte ring er eventuelt substituert med en eller flere grupper valgt fra hydroksyl og C<sub>1</sub>-C<sub>4</sub>-alkyl eller

et farmasøytisk akseptabelt salt derav, og en farmasøytisk akseptabel bærer eller eksipient.

**2. Farmasøytisk sammensætning ifølge krav 1,**

**s karakterisert ved at:**

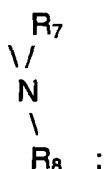
R<sub>1</sub> er valgt fra H, OH eller C<sub>1</sub>-C<sub>4</sub> alkylestere derav og halogen;

R<sub>3</sub> er valgt fra H, OH, halogen, C<sub>1</sub>-C<sub>6</sub> alkyl og CF<sub>3</sub>;

R<sub>4</sub> er valgt fra H, OH eller C<sub>1</sub>-C<sub>4</sub> alkylestere derav, halogen, C<sub>1</sub>-C<sub>6</sub> alkyl og CF<sub>3</sub>; og

X er valgt fra C<sub>1</sub>-C<sub>6</sub> alkyl, cyano og halogen;

Y er gruppe



15

hvor R<sub>7</sub> og R<sub>8</sub> er uavhengig valgt fra H og C<sub>1</sub>-C<sub>6</sub> alkyl eller R<sub>7</sub> og R<sub>8</sub> er koblet sammen som -(CH<sub>2</sub>)<sub>p</sub>-, hvori p er et tall fra 4 til 6, for å danne en ring, idet ringen er eventuelt substituert men en eller flere grupper valgt fra hydroksyl, og C<sub>1</sub>-C<sub>4</sub> alkyl; eller et farmasøytisk akseptabelt salt derav og en farmasøytisk akseptabel bærer eller eksipient.

**25 3. Farmasøytisk sammensætning ifølge krav 1,**

**karakterisert ved at:**

R<sub>1</sub> er OH;

R<sub>3</sub> er valgt fra H, OH, halogen, C<sub>1</sub>-C<sub>6</sub> alkyl og CF<sub>3</sub>;

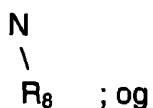
30 R<sub>4</sub> er valgt fra H, OH eller C<sub>1</sub>-C<sub>4</sub> alkylestere derav, halogen, C<sub>1</sub>-C<sub>6</sub> alkyl og CF<sub>3</sub>;

X er valgt fra gruppen Cl, CN, og CH<sub>3</sub>; og

Y er gruppen

35





5 hvor  $R_7$  og  $R_8$  er koblet sammen som  $-(CH_2)_r-$ , hvori  $r$  er et tall fra 4 til 6, for å  
danne en ring eventuelt substituert med en eller flere grupper valgt fra hydroksyl og  
 $C_1\text{-}C_4$  alkyl;,  
eller et farmasøytisk akseptabelt salt derav, og en farmasøytisk akseptabel bærer  
eller eksipient.

10 4. Farmasøytisk sammensetning ifølge krav 1,  
karakterisert ved at forbindelsen er 5-benzyloksy-2-(4-etoksyfenyl)-3-metyl-1-[4-(2-piperidin-1-yl-etoksy)benzyl]-1H-indol eller et farmasøytisk akseptabelt salt derav.

15 5. Farmasøytisk sammensetning ifølge krav 1,  
karakterisert ved at forbindelsen er 3-metyl-2-fenyl-1-(4-(2(piperidin-1-yl)etoksy)benzyl)-1H-indol eller et farmasøytisk akseptabelt salt derav.

20 6. Farmasøytisk sammensetning ifølge krav 1,  
karakterisert ved at forbindelsen er 4-{5-fluor-3-metyl-1-[4-(2-piperidin-1-yl-etoksy)-benzyl]-1H-indol-2-yl}-fenol eller et farmasøytisk akseptabelt salt derav.

25 7. Farmasøytisk sammensetning ifølge krav 1,  
karakterisert ved at forbindelsen er 1-[4-(2-azepan-1-yl-etoksy)-benzyl]-2-(4-hydroksy-fenyl)-3-metyl-1H-indol-5-ol eller et farmasøytisk akseptabelt salt derav.

30 8. Farmasøytisk sammensetning ifølge krav 1,  
karakterisert ved at forbindelsen er 2-(4-hydroksyfenyl)-3-metyl-1-[4-(2-dimetyl amino-1-yl-etoksy)benzyl]-1H-indol-5-ol eller et farmasøytisk akseptabelt salt derav.

9. Farmasøytisk sammensetning ifølge krav 1,

karakterisert ved at forbindelsen er 2-(4-hydroksyfenyl)-3-metyl-1-[4-(2-dietyl amino-1-yl-etoksy)benzyl]-1H-indol-5-ol eller et farmasøytisk akseptabelt salt derav.

5        10. Farmasøytisk sammensetning ifølge krav 1,  
karakterisert ved at forbindelsen er 2-(4-cyklopentyloksyfenyl)-3-metyl-1-[4-(2-piperidin-1-yl-etoksy)benzyl]-1H-indol-5-ol eller et farmasøytisk akseptabelt salt  
derav.

10      11. Farmasøytisk sammensetning ifølge krav 1,  
karakterisert ved at forbindelsen er 3-metyl-1-[4-(2-piperidin-1-yl-  
etoksy)benzyl]-2-(4-trifluormetylfenyl)-1H-indol-5-ol eller et farmasøytisk akseptabelt  
salt derav.

15      12. Farmasøytisk sammensetning ifølge krav 1,  
karakterisert ved at forbindelsen er 2-(4-hydroksyfenyl)-1-[3-metoksy-4-  
(2-piperidin-1-yl-etoksy)benzyl]-3-metyl-1H-indol-5-ol eller et farmasøytisk  
akseptabelt salt derav.

20      13. Farmasøytisk sammensetning ifølge krav 1,  
karakterisert ved at forbindelsen er 2-(4-hydroksyfenyl)-1-[3-metoksy-4-  
(2-azepan-1-yl-etoksy)benzyl]-3-metyl-1H-indol-5-ol eller et farmasøytisk akseptabelt  
salt derav.

25      14. Farmasøytisk sammensetning ifølge krav 1,  
karakterisert ved at den er for samtidig, separat eller sekvensiell  
administrering.

15. Farmasøytisk sammensetning ifølge et av kravene 1 til 14,  
30 karakterisert ved at en eller flere østrogener er valgt fra ekvilinenin,  
østradien, etinyløstradiol, 17 $\beta$ -østradiol, 17alfa-dihydroekvilinenin, 17 $\beta$ -  
dihydroekvilinenin, menstranol, konjugerte østrogener, østeron, 17alfa-østradiolsulfat,  
Delta8,9.dehydroøstron, ekvol og enterolakton eller et farmazsøytisk akseptabelt salt  
eller ester derav.

16. Farmasøytisk sammensetning ifølge krav 15,  
karakterisert ved at det farmasøytisk akseptable saltet av en eller flere  
østrogener er et natriumsalt.

5

17. Anvendelse av et østrogen og en forbindelse ifølge Formel I eller II,  
ifølge et hvilket som helst av kravene 1 til 14, eller et farmasøytisk akseptabelt salt  
derav, for fremstilling av et medikament for behandling eller forebygging av bentap i  
et pattedyr.

10

18. Anvendelse av et østrogen og en forbindelse ifølge Formel I eller II,  
ifølge et hvilket som helst av kravene 1 til 14, eller et farmasøytisk akseptabelt salt  
derav, for fremstilling av et medikament for behandling eller forebygging av  
menopausale eller postmenopausale lidelser i et pattedyr.

15

19. Anvendelse av et østrogen og en forbindelse ifølge Formel I eller II,  
ifølge et hvilket som helst av kravene 1 til 14, eller et farmasøytisk akseptabelt salt  
derav, for fremstilling av et medikament for behandling eller forebygging av  
kardiovaskulær sykdom i et pattedyr.

20

20. Anvendelse av et østrogen og en forbindelse ifølge Formel I eller II,  
ifølge et hvilket som helst av kravene 1 til 14, eller et farmasøytisk akseptabelt salt  
derav, for fremstilling av et medikament for behandling eller forebygging av sykdom i  
et pattedyr som et resultat av proliferasjon eller unormal utvikling, virkning eller vekst  
25 av endometrie eller endometrie-lignende vev.

21. Anvendelse ifølge krav 20, hvor sykdommen er endometriose.

22. Anvendelse ifølge et hvilket som helst av kravene 17 til 21 idet  
30 medikamentet er for samtidig, separat eller sekvensiell administrering.